

## บทที่ 5

### ผลการศึกษา

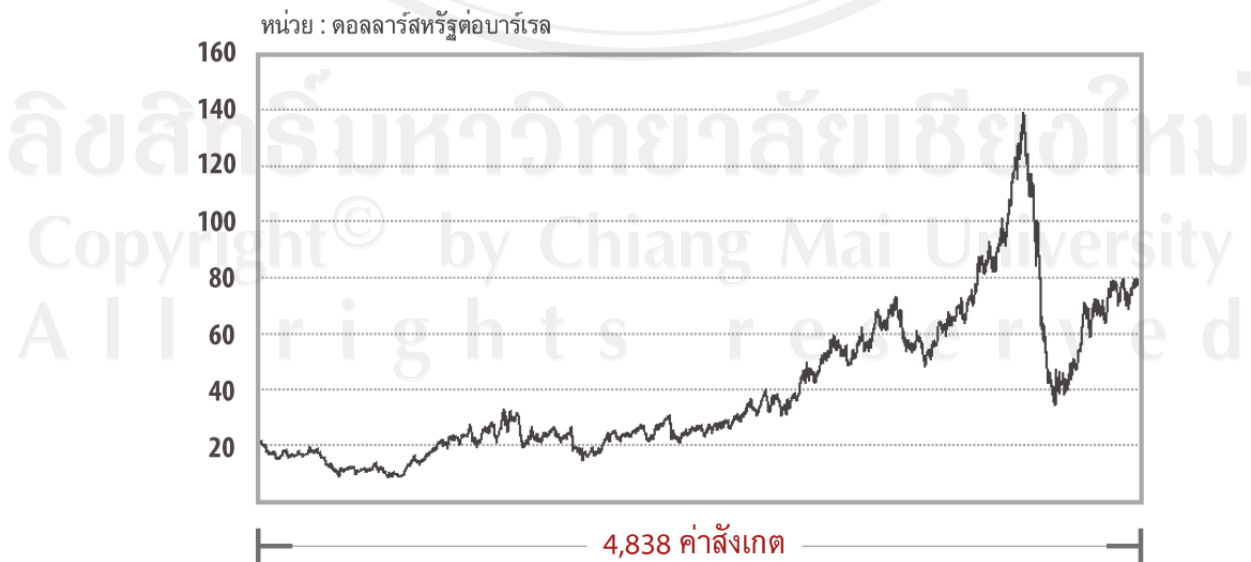
การศึกษาครั้งนี้มีวัตถุประสงค์เพื่อการสร้างระบบพยากรณ์ และเปรียบเทียบความแม่นยำในการพยากรณ์ราคาน้ำมันดิบดูไบ ระหว่างตัวแบบบีอ็อกซ์และเจนคินส์ (Box&Jenkins Model) ตัวแบบการช (GARCH Model) และตัวแบบโกรงข่ายใช้ประสาทประดิษฐ์ (ANNs Model) ซึ่งผลการพยากรณ์ของตัวแบบต่าง ๆ สามารถนำเสนอด้วยดังนี้

#### 5.1 การสร้างระบบพยากรณ์ด้วยตัวแบบบีอ็อกซ์และเจนคินส์

การพยากรณ์ด้วยตัวแบบบีอ็อกซ์และเจนคินส์ มีลำดับต่าง ๆ 5 ขั้นตอน คือ การเตรียมข้อมูล (Data Preparation) การเลือกตัวแบบ (Model Selection) การประมาณค่าพารามิเตอร์ (Parameter Estimation) การตรวจสอบความถูกต้อง (Model Checking) และการพยากรณ์ (Forecasting)

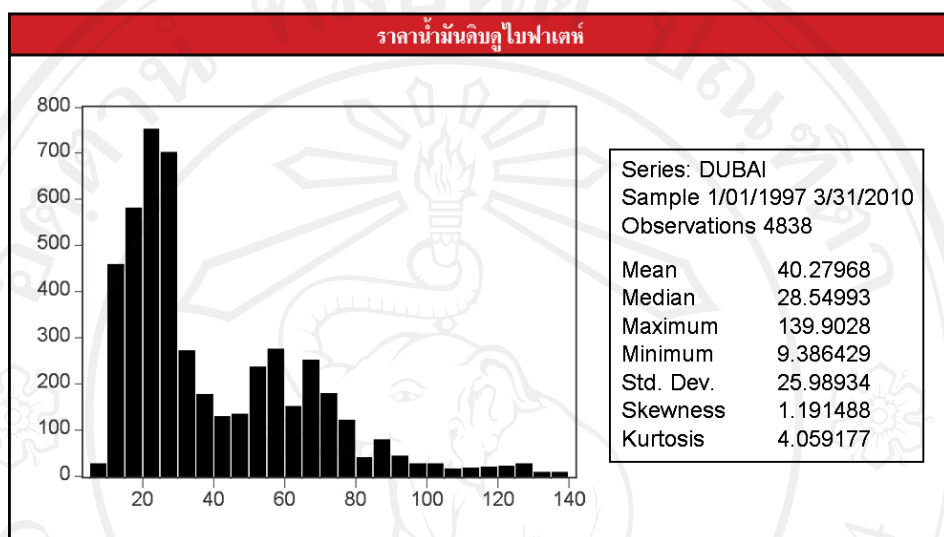
##### 5.1.1 การเตรียมข้อมูล (Data Preparation)

ข้อมูลที่ใช้สำหรับสร้างระบบพยากรณ์คือ ราคาปิด (Spot Price) รายวันของราคา  
น้ำมันดิบดูไบ ตั้งแต่วันที่ 1 มกราคม พ.ศ. 2540 ถึงวันที่ 31 มีนาคม พ.ศ. 2553 เป็นจำนวนทั้งสิ้น 4,838 วัน ดังภาพที่ 5-1



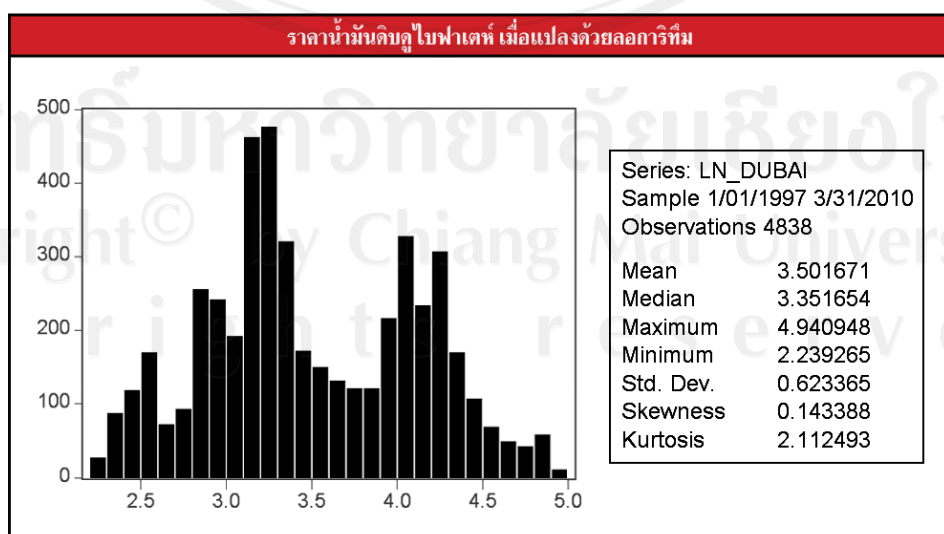
### 5.1.1.1 สถิติเชิงพรรณนา (Descriptive Statistic)

อนุกรมเวลาดังกล่าวมีค่าสูงสุดและค่าต่ำสุดเท่ากับ 139.903 และ 9.386 ตามลำดับ โดยมีค่าเฉลี่ย (Mean) เท่ากับ 40.279 และมีส่วนเบี่ยงเบนมาตรฐาน (Standard Deviation) คือ 25.989 โดยที่การกระจายของข้อมูลมีลักษณะเบี้ยว และค่อนข้างโถ่ดังภาพที่ 5-2



ภาพที่ 5-2 สถิติเชิงพรรณนาของราคาน้ำมันดิบดูไบ

จะเห็นได้ว่าข้อมูลมีการกระจายมาก ดังนั้นจึงใช้การแปลงข้อมูลด้วยลอการิทึม (Logarithm) พบว่าการกระจายของข้อมูลลดลง โดยมีค่าความเบี้ยว (Skewness) และค่าความโถ่ (Kurtosis) ใกล้เคียงกับการแจกแจงแบบปกติ (Normal Distribution) ดังภาพที่ 5-3



ภาพที่ 5-3 สถิติเชิงพรรณนาของราคาน้ำมันดิบดูไบเมื่อแปลงด้วยลอการิทึม

### 5.1.1.2 การตรวจสอบคุณสมบัติหยุดนิ่ง (Stationary)

การพยากรณ์ด้วยตัวแบบบีอ็อกซ์และเจนคินส์ มีข้อกำหนดที่สำคัญ คือ อนุกรมเวลาที่พิจารณาต้องมีคุณสมบัติหยุดนิ่ง (Stationary) โดยคุณสมบัติดังกล่าวสามารถตรวจสอบได้จากการทดสอบดิกกี-ฟูลเลอร์บนขบขาย (Augmented Dickey-Fuller : ADF Test)

ตารางที่ 5-1 การทดสอบเอดีเอฟ (ADF Test) ณ ระดับ

| ตัวแปร   | ณ ระดับ (At Level)                                      |                                             |                                |                                             |                                                                     |                                             |
|----------|---------------------------------------------------------|---------------------------------------------|--------------------------------|---------------------------------------------|---------------------------------------------------------------------|---------------------------------------------|
|          | มีค่าแนวโน้มและจุดตัดแกน<br>(Constant and Linear Trend) |                                             | มีเฉพาะจุดตัดแกน<br>(Constant) |                                             | ไม่มีทั้งค่าแนวโน้มและจุดตัดแกน<br>(None Constant and Linear Trend) |                                             |
|          | ค่าสถิติ<br>ADF                                         | ค่าวิกฤติ แมคคินนอน<br>(Mackinnon Critical) | ค่าสถิติ<br>ADF                | ค่าวิกฤติ แมคคินนอน<br>(Mackinnon Critical) | ค่าสถิติ<br>ADF                                                     | ค่าวิกฤติ แมคคินนอน<br>(Mackinnon Critical) |
| LN_dubai | -3.217328                                               | 0.01 : -3.959937                            | -0.816767                      | 0.01 : -3.431521                            | 0.736139                                                            | 0.01 : -2.565441                            |
|          |                                                         | 0.05 : -3.410734                            |                                | 0.05 : -2.861942                            |                                                                     | 0.05 : -1.940890                            |
|          |                                                         | 0.10 : -3.127156                            |                                | 0.10 : -2.567027                            |                                                                     | 0.10 : -1.616656                            |

ที่มา : คำนวณได้จากโปรแกรม EViews 7.1

การทดสอบเอดีเอฟ ณ ระดับ (At Level) จากตารางที่ 5-1 สรุปได้ว่าราคาน้ำมันดิบดูไบขาดคุณสมบัติหยุดนิ่ง (Non-Stationary) กล่าวคือการทดสอบตามลำดับ 3 แนวทาง ทั้งกรณีที่มีค่าแนวโน้มและจุดตัดแกน (Trend and Intercept) กรณีที่มีเฉพาะจุดตัดแกน (Intercept) และกรณีที่ไม่มีทั้งค่าแนวโน้มและจุดตัดแกน (None Trend and Intercept) พบว่าค่าสถิติเอดีเอฟ (ADF Statistic) ที่คำนวณได้มากกว่าค่าวิกฤติแมคคินนอน (Mackinnon Critical Value) เมื่อกำหนดระดับนัยสำคัญเท่ากับ 0.05 จึงยอมรับสมมติฐานว่าง (Null Hypothesis) ว่าอนุกรมเวลาที่พิจารณาไม่มียูนิตรูท (Unit Root) หรือขาดคุณสมบัติหยุดนิ่ง (Non-Stationary) ณ ระดับ (At Level)

เมื่อแปลงข้อมูล (Transformation) โดยการหาผลต่างครั้งที่ 1 (First Difference) แล้วทำการทดสอบเอดีเอฟ (ADF Test) เรียงตามลำดับทั้ง 3 แนวทาง พบว่าค่าสถิติเอดีเอฟ (ADF Statistic) ที่คำนวณได้ น้อยกว่าค่าวิกฤติแมคคินนอน (Mackinnon Critical Value) เมื่อกำหนดระดับนัยสำคัญเท่ากับ 0.05 ดังนี้จึงสรุปได้ว่าราคาน้ำมันดิบดูไบไม่มียูนิตรูท (Unit Root) หรือมีคุณสมบัติหยุดนิ่ง (Stationary) เมื่อได้รับการหาผลต่างครั้งที่ 1 (First Difference) ดังตารางที่ 5-2

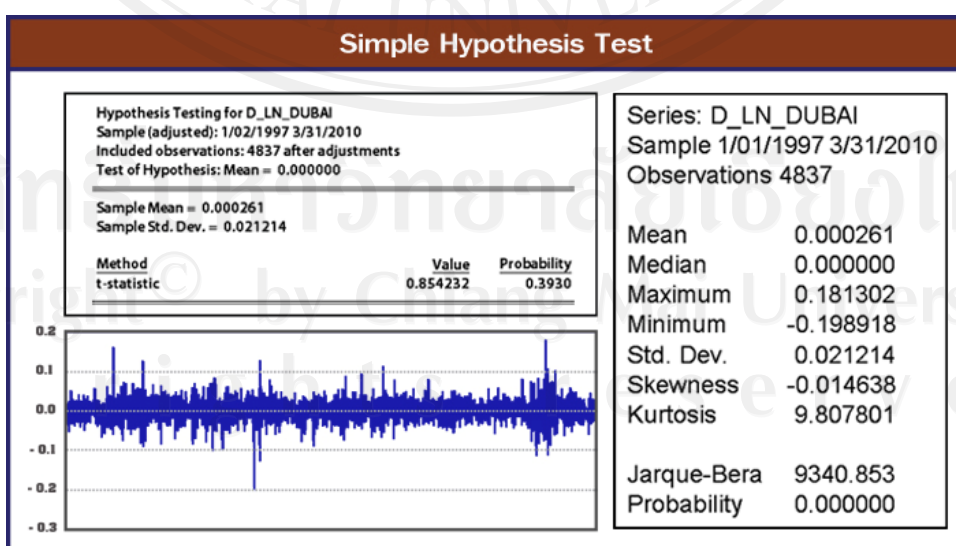
ตารางที่ 5-2 การทดสอบเอดีเอฟ (ADF Test) เมื่อหาผลต่างครั้งที่ 1

| ตัวแปร      | เมื่อหาผลต่างครั้งที่ 1 (First Differencing)            |                                             |                                |                                             |                                                                     |                                                   |
|-------------|---------------------------------------------------------|---------------------------------------------|--------------------------------|---------------------------------------------|---------------------------------------------------------------------|---------------------------------------------------|
|             | มีค่าแนวโน้มและจุดตัดแกน<br>(Constant and Linear Trend) |                                             | มีเฉพาะจุดตัดแกน<br>(Constant) |                                             | ไม่มีทั้งค่าแนวโน้มและจุดตัดแกน<br>(None Constant and Linear Trend) |                                                   |
|             | ค่าสถิติ<br>ADF                                         | ค่าวิกฤติ แมคคินนอน<br>(Mackinnon Critical) | ค่าสถิติ<br>ADF                | ค่าวิกฤติ แมคคินนอน<br>(Mackinnon Critical) | ค่าสถิติ ADF                                                        | ค่าวิกฤติ แมคคินนอน<br>(Mackinnon Critical Value) |
| D(LN_Dubai) | -31.92333                                               | 0.01 : -3.959937                            | -31.92012                      | 0.01 : -3.431521                            | -31.90832                                                           | 0.01 : -2.565441                                  |
|             |                                                         | 0.05 : -3.410734                            |                                | 0.05 : -2.861942                            |                                                                     | 0.05 : -1.940890                                  |
|             |                                                         | 0.10 : -3.127156                            |                                | 0.10 : -2.567027                            |                                                                     | 0.10 : -1.616656                                  |

ที่มา : คำานวณได้จากการโปรแกรม EViews 7.1

### 5.1.2 การเลือกตัวแบบ (Model Selection)

จากการทดสอบเอดีเอฟ (ADF Test) พบว่าราคาน้ำมันดิบดูไบ มีคุณสมบัติหยุดนิ่งเมื่อได้รับการหาผลต่างครั้งที่ 1 (First Difference) ขั้นตอนต่อไปคือการหากระบวนการอัตโนมัติอย (Autoregressive : AR) และกระบวนการค่าเฉลี่ยเคลื่อนที่ (Moving Average : MA) ที่เหมาะสมโดยพิจารณาจากแผนภาพสหสัมพันธ์ (Correlogram) ของฟังก์ชันอัตโนมัติสหสัมพันธ์ (Autocorrelation Function : ACF) และฟังก์ชันอัตโนมัติสหสัมพันธ์บางส่วน (Partial Autocorrelation Function : PACF) โดยยึดหลักของการมัชชีสต์ (Parsimonious) นั้นคือ ใช้จำนวนพารามิเตอร์ให้น้อยที่สุด ในการอธิบายการเคลื่อนไหวของอนุกรมเวลา



ภาพที่ 5-4 การทดสอบค่าเฉลี่ยของอนุกรมเวลาที่ผ่านการหาผลต่างครั้งที่หนึ่ง

อย่างไรก็ตามการสร้างระบบพยากรณ์ราคาน้ำมันดิบดูไปด้วยตัวแบบบีอกซ์และเจนคินส์ (Box&Jenkins Model) ไม่จำเป็นต้องใส่พจน์คงตัว (Constant Term) เนื่องจากเป็นอนุกรมเวลาที่มีคุณสมบัติหยุดนิ่ง (Stationary) เมื่อได้รับการหาผลต่างครั้งที่หนึ่ง (First Difference) โดยยอมรับสมมติฐานว่า (Null Hypothesis) ว่าค่าเฉลี่ย (Mean) ของอนุกรมเวลาไม่ค่าเท่ากับศูนย์ เมื่อกำหนดระดับนัยสำคัญ 0.05 ดังภาพที่ 5-4

ซึ่งการดำเนินการต่าง ๆ ในขั้นตอนนี้ จะได้ตัวแบบที่นำไปใช้สำหรับการพยากรณ์ทั้งสิ้น 10 ตัวแบบดังตารางที่ 5-3

ตารางที่ 5-3 ตัวแบบที่ได้จากการพิจารณาฟังก์ชันอัตโนมัติพัฒนาและฟังก์ชันอัตโนมัติพัฒนาบางส่วน

| ลำดับที่ | ตัวแบบบีอกซ์และเจนคินส์                                                                             | กระบวนการอัตโนมัติพัฒนาและกระบวนการเคลื่อนที่ |
|----------|-----------------------------------------------------------------------------------------------------|-----------------------------------------------|
| 1        |  ตัวแบบ $B_1$      | AR(1) MA(1)                                   |
| 2        |  ตัวแบบ $B_2$     | AR(3) MA(3)                                   |
| 3        |  ตัวแบบ $B_3$    | AR(4) MA(4)                                   |
| 4        |  ตัวแบบ $B_4$    | AR(1) MA(1) MA(3)                             |
| 5        |  ตัวแบบ $B_5$    | AR(2) AR(3) MA(3)                             |
| 6        |  ตัวแบบ $B_6$    | AR(3) MA(2) MA(3)                             |
| 7        |  ตัวแบบ $B_7$    | AR(1) AR(2) MA(1) MA(2)                       |
| 8        |  ตัวแบบ $B_8$    | AR(3) AR(4) MA(3) MA(4)                       |
| 9        |  ตัวแบบ $B_9$    | AR(1) AR(2) AR(3) MA(1) MA(3)                 |
| 10       |  ตัวแบบ $B_{10}$ | AR(2) AR(3) AR(4) MA(3) MA(4)                 |

### 5.1.3 การประมาณค่าพารามิเตอร์ (Parameter Estimation)

สำหรับการพยากรณ์ด้วยตัวแบบบีอกซ์และเจนคินส์ (Box&Jenkins Model) ครั้งนี้จะใช้วิธีกำลังสองน้อยที่สุดแบบธรรมดា (Ordinary Least Square : OLS) ในการประมาณค่าพารามิเตอร์ โดยอนุกรมเวลาที่ใช้ศึกษาในครั้งนี้มีคุณสมบัติหยุดนิ่ง (Stationary) เมื่อผ่านการหาผลต่างครั้งที่หนึ่ง (First Difference) ดังนั้นรูปแบบของกระบวนการอัตโนมัติพัฒนา (Autoregressive : AR) และกระบวนการเคลื่อนที่ (Moving Average : MA) สามารถเขียนเป็นสมการได้ดังนี้

$$\Delta_d Z_t = \mu + \phi_1 \Delta_d Z_{t-1} + \phi_2 \Delta_d Z_{t-2} + \dots + \phi_p \Delta_d Z_{t-p} + \varepsilon_t + \theta_1 \varepsilon_{t-1} + \theta_2 \varepsilon_{t-2} + \dots + \theta_q \varepsilon_{t-q}$$

โดยที่  $\Delta_d Z_t$  คือ ค่าสังเกต ณ เวลาปัจจุบันที่ผ่านการหาผลต่างมาแล้ว  $d$  ครั้ง

$\mu$  คือ พจน์คงตัว (Constant Term)

$\phi_p$  คือ พารามิเตอร์อัตโนมัติอย่างที่  $q$

$\theta_q$  คือ พารามิเตอร์เฉลี่ยเคลื่อนที่ตัวที่  $q$

$\Delta_d Z_{t-p}$  คือ ค่าสังเกตใน  $p$  ความเวลาที่ผ่านมาที่ผ่านการหาผลต่างมาแล้วหนึ่งครั้ง

$\varepsilon_{t-q}$  คือ ค่าคลาดเคลื่อนใน  $q$  ความเวลาที่ผ่านมา

$\varepsilon_t$  คือ ค่าคลาดเคลื่อน ณ เวลาปัจจุบัน

### 5.1.3.1 การประมาณค่าพารามิเตอร์ของตัวแบบ $B_1$

เมื่อพิจารณาจากค่าความน่าจะเป็น (P-Value) ของค่าสถิติที่ ( $t$ -Statistic) แต่ละค่า พบว่ามีค่าน้อยกว่าระดับนัยสำคัญ 0.05 จึงปฏิเสธสมมติฐานว่าง (Null Hypothesis) และยอมรับว่าสัมประสิทธิ์ที่ประมาณค่าได้ของพารามิเตอร์แต่ละตัวแตกต่างจากศูนย์อย่างมีนัยสำคัญ (Significant) โดยที่กระบวนการอัตโนมัติอยันดับที่หนึ่ง (AR(1)) และกระบวนการค่าเฉลี่ยเคลื่อนที่อยันดับที่หนึ่ง (MA(1)) มีค่าสัมประสิทธิ์ (Coefficient) เท่ากับ 0.667188 และ -0.685122 ตามลำดับ ดังตารางที่ 5-4

ตารางที่ 5-4 การประมาณค่าพารามิเตอร์ของตัวแบบ  $B_1$

| พารามิเตอร์ (Parameter) | ค่าสัมประสิทธิ์ (Coefficient) | ค่าสถิติที่ ( $t$ -Statistic) | ค่าความน่าจะเป็น (P-Value) |
|-------------------------|-------------------------------|-------------------------------|----------------------------|
| $\phi_1$                | 0.667188                      | 2.060781                      | 0.0394                     |
| $\theta_1$              | -0.685122                     | -2.163982                     | 0.0305                     |
| ค่าสถิติที่สำคัญ        |                               |                               |                            |
| Adjusted R-Square       | 0.000222                      | Akaike Info Criterion         | -4.867852                  |
| Log Likelihood          | 11,772.47                     | Schwarz Bayesian Criterion    | -4.865171                  |
| Durbin-Watson Statistic | 1.981469                      |                               |                            |

ที่มา : คำนวนได้จากโปรแกรม EViews 7.1

ซึ่งสามารถอธิบายผลของตัวแบบ  $B_1$  ได้ว่า ราคาน้ำมันดิบดูไบที่ผ่านการหาผลต่างครั้งที่หนึ่ง (First Difference) ใน captions ปัจจุบัน ขึ้นอยู่กับราคาน้ำมันดิบดูไบที่ผ่านการหาผลต่างครั้งที่หนึ่ง (First Difference) ในหนึ่ง captions เวลาที่ผ่านมา รวมทั้งพจน์ค่าดัดแปลง (Error Term) ใน captions ปัจจุบัน และพจน์ค่าดัดแปลง (Error Term) ในหนึ่ง captions เวลาที่ผ่านมา ซึ่งสามารถเขียนเป็นสมการได้ดังนี้

$$\Delta_1 Z_t = (0.667188) \Delta_1 Z_{t-1} + (-0.685122) \varepsilon_{t-1} + \varepsilon_t$$

โดยที่  $\Delta_1 Z_t$  คือ ผลต่างลำดับที่หนึ่งของราคาน้ำมันดิบดูไบ ณ เวลา  $t$

$\Delta_1 Z_{t-p}$  คือ ผลต่างลำดับที่หนึ่งของราคาน้ำมันดิบดูไบใน  $p$  captions เวลาที่ผ่านมา

$\varepsilon_t$  คือ พจน์ค่าดัดแปลง ณ เวลา  $t$

$\varepsilon_{t-q}$  คือ พจน์ค่าดัดแปลงใน  $q$  captions เวลาที่ผ่านมา

### 5.1.3.2 การประมาณค่าพารามิเตอร์ของตัวแบบ $B_2$

เมื่อพิจารณาจากค่าความน่าจะเป็น (P-Value) ของค่าสถิติที (t-Statistic) แต่ละค่าพบว่ามีค่าน้อยกว่าระดับนัยสำคัญ 0.05 จึงปฏิเสธสมมติฐานว่าง (Null Hypothesis) และยอมรับว่าสัมประสิทธิ์ที่ประมาณค่าได้ของพารามิเตอร์แต่ละตัวแตกต่างจากศูนย์อย่างมีนัยสำคัญ โดยที่กระบวนการการอัตโนมัติทดสอบอันดับที่สาม (AR(3)) และกระบวนการการค่าเฉลี่ยเคลื่อนที่อันดับที่สาม (MA(3)) มีค่าสัมประสิทธิ์ (Coefficient) เท่ากับ -0.954117 และ 0.961204 ตามลำดับ ดังตารางที่ 5-5

ตารางที่ 5-5 การประมาณค่าพารามิเตอร์ของตัวแบบ  $B_2$

| พารามิเตอร์ (Parameter) | ค่าสัมประสิทธิ์ (Coefficient) | ค่าสถิติที (t-Statistic)   | ค่าความน่าจะเป็น (P-Value) |
|-------------------------|-------------------------------|----------------------------|----------------------------|
| $\phi_3$                | -0.954117                     | -31.01510                  | 0.0000                     |
| $\theta_3$              | 0.961204                      | 33.84452                   | 0.0000                     |
| ค่าสถิติที่สำคัญ        |                               |                            |                            |
| Adjusted R-Square       | 0.000785                      | Akaike Info Criterion      | -4.868058                  |
| Log Likelihood          | 11,768.09                     | Schwarz Bayesian Criterion | -4.865375                  |
| Durbin-Watson Statistic | 2.015790                      |                            |                            |

ที่มา : คำนวนได้จากโปรแกรม EViews 7.1

ซึ่งสามารถอธิบายผลของตัวแบบ  $B_2$  ได้ว่า ราคาน้ำมันดิบดูไบที่ผ่านการหาผลต่างครั้งที่หนึ่ง (First Difference) ใน captions ปัจจุบัน ขึ้นอยู่กับราคาน้ำมันดิบดูไบที่ผ่านการหาผลต่างครั้งที่หนึ่ง (First Difference) ในสาม captions ที่ผ่านมา รวมทั้งพจน์ค่าดัดแปลง (Error Term) ใน captions ปัจจุบัน และพจน์ค่าดัดแปลง (Error Term) ในสาม captions ที่ผ่านมา ซึ่งสามารถเขียนเป็นสมการได้ดังนี้

$$\Delta_1 Z_t = (-0.954117) \Delta_1 Z_{t-3} + (0.961204) \varepsilon_{t-3} + \varepsilon_t$$

โดยที่  $\Delta_1 Z_t$  คือ ผลต่างลำดับที่หนึ่งของราคาน้ำมันดิบดูไบ ณ เวลา  $t$

$\Delta_1 Z_{t-p}$  คือ ผลต่างลำดับที่หนึ่งของราคาน้ำมันดิบดูไบใน  $p$  captions ที่ผ่านมา

$\varepsilon_t$  คือ พจน์ค่าดัดแปลง ณ เวลา  $t$

$\varepsilon_{t-q}$  คือ พจน์ค่าดัดแปลงใน  $q$  captions ที่ผ่านมา

### 5.1.3.3 การประมาณค่าพารามิเตอร์ของตัวแบบ $B_3$

เมื่อพิจารณาจากค่าความน่าจะเป็น (P-Value) ของค่าสถิติที่ ( $t$ -Statistic) แต่ละค่า พนวณว่ามีค่าน้อยกว่าระดับนัยสำคัญ 0.05 จึงปฏิเสธสมมติฐานว่าง (Null Hypothesis) และยอมรับว่าสัมประสิทธิ์ที่ประมาณค่าได้ของพารามิเตอร์แต่ละตัวแตกต่างจากศูนย์อย่างมีนัยสำคัญ โดยที่กระบวนการอัตโนมัติอย้อนดับที่สี่ (AR(4)) และกระบวนการค่าเฉลี่ยเคลื่อนที่อย้อนดับที่สี่ (MA(4)) มีค่าสัมประสิทธิ์ (Coefficient) เท่ากับ -0.713295 และ 0.723025 ตามลำดับ ดังตารางที่ 5-6

ตารางที่ 5-6 การประมาณค่าพารามิเตอร์ของตัวแบบ  $B_3$

| พารามิเตอร์ (Parameter) | ค่าสัมประสิทธิ์ (Coefficient) | ค่าสถิติที่ ( $t$ -Statistic) | ค่าความน่าจะเป็น (P-Value) |
|-------------------------|-------------------------------|-------------------------------|----------------------------|
| $\phi_4$                | -0.713295                     | -2.135787                     | 0.0327                     |
| $\theta_4$              | 0.723025                      | 2.195820                      | 0.0282                     |
| ค่าสถิติที่สำคัญ        |                               |                               |                            |
| Adjusted R-Square       | 0.000144                      | Akaike Info Criterion         | -4.867209                  |
| Log Likelihood          | 11,763.61                     | Schwarz Bayesian Criterion    | -4.864526                  |
| Durbin-Watson Statistic | 2.015417                      |                               |                            |

ซึ่งสามารถอธิบายผลของตัวแบบ  $B_3$  ได้ว่า ราคาน้ำมันดิบดูไบที่ผ่านการหาผลต่างครั้งที่หนึ่ง (First Difference) ใน interval เวลาปัจจุบัน ขึ้นอยู่กับราคาน้ำมันดิบดูไบที่ผ่านการหาผลต่างครั้งที่หนึ่ง (First Difference) ในสี่ interval เวลาที่ผ่านมา รวมทั้งพจน์ค่าคาดเคลื่อน (Error Term) ใน interval เวลาปัจจุบัน และพจน์ค่าคาดเคลื่อน (Error Term) ในสี่ interval เวลาที่ผ่านมา ซึ่งสามารถเขียนเป็นสมการได้ดังนี้

$$\Delta_1 Z_t = (-0.713295) \Delta_1 Z_{t-4} + (0.723025) \varepsilon_{t-4} + \varepsilon_t$$

โดยที่  $\Delta_1 Z_t$  คือ ผลต่างลำดับที่หนึ่งของราคาน้ำมันดิบดูไบใน ณ เวลา  $t$

$\Delta_1 Z_{t-p}$  คือ ผลต่างลำดับที่หนึ่งของราคาน้ำมันดิบดูไบใน  $p$  ค่า interval ที่ผ่านมา

$\varepsilon_t$  คือ พจน์ค่าคาดเคลื่อน ณ เวลา  $t$

$\varepsilon_{t-q}$  คือ พจน์ค่าคาดเคลื่อนใน  $q$  ค่า interval ที่ผ่านมา

#### 5.1.3.4 การประมาณค่าพารามิเตอร์ของตัวแบบ $B_4$

เมื่อพิจารณาจากค่าความน่าจะเป็น (P-Value) ของค่าสถิติที่ ( $t$ -Statistic) !!แต่ละค่า พ布ว่ามีค่าน้อยกว่าระดับนัยสำคัญ 0.05 จึงปฏิเสธสมมติฐานว่าง (Null Hypothesis) และยอมรับว่าสัมประสิทธิ์ที่ประมาณค่าได้ของพารามิเตอร์แต่ละตัวแตกต่างจากศูนย์อย่างมีนัยสำคัญ โดยที่กระบวนการอัตโนมัติอยันดับที่หนึ่ง (AR(1)) กระบวนการค่าเฉลี่ยเคลื่อนที่อันดับที่หนึ่ง (MA(1)) และกระบวนการค่าเฉลี่ยเคลื่อนที่อันดับที่สาม (MA(3)) มีค่าสัมประสิทธิ์ (Coefficient) เท่ากับ 0.995553 -1.018636 และ 0.022357 ตามลำดับ ดังตารางที่ 5-7

ซึ่งสามารถอธิบายผลของตัวแบบ  $B_4$  ได้ว่า ราคาน้ำมันดิบดูไบที่ผ่านการหาผลต่างครั้งที่หนึ่ง (First Difference) ใน interval เวลาปัจจุบัน ขึ้นอยู่กับราคาน้ำมันดิบดูไบที่ผ่านการหาผลต่างครั้งที่หนึ่ง (First Difference) ในหนึ่ง interval เวลาที่ผ่านมา รวมทั้งพจน์ค่าคาดเคลื่อน (Error Term) ใน interval เวลาปัจจุบัน และพจน์ค่าคาดเคลื่อน (Error Term) ในหนึ่งและสาม interval เวลาที่ผ่านมา ซึ่งสามารถเขียนเป็นสมการได้ดังนี้

$$\Delta_1 Z_t = (0.995553) \Delta_1 Z_{t-1} + (-1.018636) \varepsilon_{t-1} + (0.022357) \varepsilon_{t-3} + \varepsilon_t$$

โดยที่  $\Delta_1 Z_t$  คือ ผลต่างลำดับที่หนึ่งของราคาน้ำมันดิบดูไบใน ณ เวลา  $t$

$\Delta_1 Z_{t-p}$  คือ ผลต่างลำดับที่หนึ่งของราคาน้ำมันดิบดูไบใน  $p$  ค่า interval ที่ผ่านมา

$\varepsilon_t$  คือ พจน์ค่าด้วยตัวต่อไปในเวลา  $t$   
 $\varepsilon_{t-q}$  คือ พจน์ค่าด้วยตัวต่อไปใน  $q$  คาบเวลาที่ผ่านมา

ตารางที่ 5-7 การประมาณค่าพารามิเตอร์ของตัวแบบ  $B_4$ 

| พารามิเตอร์ (Parameter) | ค่าสัมประสิทธิ์ (Coefficient) | ค่าสถิติที่ (t-Statistic)  | ค่าความน่าจะเป็น (P-Value) |
|-------------------------|-------------------------------|----------------------------|----------------------------|
| $\phi_1$                | 0.995553                      | 157.6942                   | 0.0000                     |
| $\theta_1$              | -1.018636                     | -86.23571                  | 0.0000                     |
| $\theta_3$              | 0.022357                      | 2.230668                   | 0.0257                     |
| ค่าสถิติที่สำคัญ        |                               |                            |                            |
| Adjusted R-Square       | 0.000810                      | Akaike Info Criterion      | -4.868235                  |
| Log Likelihood          | 11,774.39                     | Schwarz Bayesian Criterion | -4.864213                  |
| Durbin-Watson Statistic | 1.971409                      |                            |                            |

ที่มา : คำนวณได้จากโปรแกรม EViews 7.1

### 5.1.3.5 การประมาณค่าพารามิเตอร์ของตัวแบบ $B_5$

เมื่อพิจารณาจากค่าความน่าจะเป็น (P-Value) ของค่าสถิติที่ (t-Statistic) แต่ละค่า พบว่ามีค่าน้อยกว่าระดับนัยสำคัญ 0.05 จึงปฏิเสธสมมติฐานว่าง (Null Hypothesis) และยอมรับว่าสัมประสิทธิ์ที่ประมาณค่าได้ของพารามิเตอร์แต่ละตัวแตกต่างจากศูนย์อย่างมีนัยสำคัญ โดยที่กระบวนการอัตโนมัติของอันดับที่สอง (AR(2)) กระบวนการอัตโนมัติของอันดับที่สาม (AR(3)) และกระบวนการค่าเฉลี่ยเคลื่อนที่อันดับที่สาม (MA(3)) มีค่าสัมประสิทธิ์ (Coefficient) เท่ากับ -0.034935 0.626448 และ -0.615558 ตามลำดับ ดังตารางที่ 5-8

ซึ่งสามารถอธิบายผลของตัวแบบ  $B_5$  ได้ว่า ราคาน้ำมันดิบดูไบที่ผ่านการหาผลต่างครั้งที่หนึ่ง (First Difference) ในคาบเวลาปัจจุบัน ขึ้นอยู่กับราคาน้ำมันดิบดูไบที่ผ่านการหาผลต่างครั้งที่หนึ่ง (First Difference) ในสองและสามคาบเวลาที่ผ่านมา รวมทั้งพจน์ค่าด้วยตัวต่อไป (Error Term) ในคาบเวลาปัจจุบัน และพจน์ค่าด้วยตัวต่อไป (Error Term) ในสามคาบเวลาที่ผ่านมา ซึ่งสามารถเขียนเป็นสมการได้ดังนี้

$$\Delta_1 Z_t = (-0.034935) \Delta_1 Z_{t-2} + (0.626448) \Delta_1 Z_{t-3} + (-0.615558) \varepsilon_{t-3} + \varepsilon_t$$

โดยที่  $\Delta_1 Z_t$  คือ ผลต่างลำดับที่หนึ่งของราคาน้ำมันดิบดูไบ ณ เวลา t

$\Delta_1 Z_{t-p}$  คือ ผลต่างลำดับที่หนึ่งของราคาน้ำมันดิบดูไบใน p คาบเวลาที่ผ่านมา

$\varepsilon_t$  คือ พจน์ค่าดัชนีใน q คาบเวลาที่ t

$\varepsilon_{t-q}$  คือ พจน์ค่าดัชนีใน q คาบเวลาที่ผ่านมา

#### ตารางที่ 5-8 การประมาณค่าพารามิเตอร์ของตัวแบบ $B_5$

| พารามิเตอร์ (Parameter) | ค่าสัมประสิทธิ์ (Coefficient) | ค่าสถิติที่ (t-Statistic)  | ค่าความน่าจะเป็น (P-Value) |
|-------------------------|-------------------------------|----------------------------|----------------------------|
| $\phi_2$                | -0.034935                     | -2.725186                  | 0.0064                     |
| $\phi_3$                | 0.626448                      | 3.647542                   | 0.0003                     |
| $\theta_3$              | -0.615558                     | -3.539700                  | 0.0004                     |
| ค่าสถิติที่สำคัญ        |                               |                            |                            |
| Adjusted R-Square       | 0.001866                      | Akaike Info Criterion      | -4.868934                  |
| Log Likelihood          | 11,771.21                     | Schwarz Bayesian Criterion | -4.864910                  |
| Durbin-Watson Statistic | 2.015073                      |                            |                            |

ที่มา : คำนวณได้จากโปรแกรม EViews 7.1

#### 5.1.3.6 การประมาณค่าพารามิเตอร์ของตัวแบบ $B_6$

เมื่อพิจารณาจากค่าความน่าจะเป็น (P-Value) ของค่าสถิติที่ (t-Statistic) แล้ว ค่า พบว่ามีค่าน้อยกว่าระดับนัยสำคัญ 0.05 จึงปฏิเสธสมมติฐานว่าง (Null Hypothesis) และยอมรับ ว่าสัมประสิทธิ์ที่ประมาณค่าได้ของพารามิเตอร์แต่ละตัวแตกต่างจากศูนย์อย่างมีนัยสำคัญ โดยที่ กระบวนการอัดดดดอยันดับที่สาม (AR(3)) กระบวนการค่าเฉลี่ยเคลื่อนที่อันดับที่สอง (MA(2)) และกระบวนการค่าเฉลี่ยเคลื่อนที่อันดับที่สาม (MA(3)) มีค่าสัมประสิทธิ์ (Coefficient) เท่ากับ 0.644363 -0.034461 และ -0.633044 ตามลำดับ ดังตารางที่ 5-9

ซึ่งสามารถอธิบายผลของตัวแบบ  $B_6$  ได้ว่า ราคาน้ำมันดิบดูไบที่ผ่านการหา ผลต่างครั้งที่หนึ่ง (First Difference) ในคาบเวลาปัจจุบัน ขึ้นอยู่กับราคาน้ำมันดิบดูไบที่ผ่านการหา ผลต่างครั้งที่หนึ่ง (First Difference) ในสามคาบเวลาที่ผ่านมา รวมทั้งพจน์ค่าดัชนีใน q คาบเวลาที่ t คือ  $\Delta_1 Z_t = (0.644363) \Delta_1 Z_{t-2} + (-0.034461) \varepsilon_{t-2} + (-0.633044) \varepsilon_{t-3} \equiv \varepsilon_t$

โดยที่  $\Delta_1 Z_t$  คือ ผลต่างลำดับที่หนึ่งของราคาน้ำมันดิบดูไบ ณ เวลา  $t$

$\Delta_1 Z_{t-p}$  คือ ผลต่างลำดับที่หนึ่งของราคาน้ำมันดิบดูไบใน  $p$  คำนวณเวลาที่ผ่านมา

$\varepsilon_t$  คือ พจน์ค่าดัชนีเงิน ณ เวลา  $t$

$\varepsilon_{t-q}$  คือ พจน์ค่าดัชนีเงินใน  $q$  คำนวณเวลาที่ผ่านมา

ตารางที่ 5-9 การประมาณค่าพารามิเตอร์ของตัวแบบ  $B_6$

| พารามิเตอร์ (Parameter) | ค่าสัมประสิทธิ์ (Coefficient) | ค่าสถิติที่ (t-Statistic)  | ค่าความน่าจะเป็น (P-Value) |
|-------------------------|-------------------------------|----------------------------|----------------------------|
| $\phi_3$                | 0.644363                      | 3.870229                   | 0.0001                     |
| $\theta_2$              | -0.034461                     | -2.710087                  | 0.0068                     |
| $\theta_3$              | -0.633044                     | -3.763114                  | 0.0002                     |
| ค่าสถิติที่สำคัญ        |                               |                            |                            |
| Adjusted R-Square       | 0.001870                      | Akaike Info Criterion      | -4.868937                  |
| Log Likelihood          | 11,771.22                     | Schwarz Bayesian Criterion | -4.864913                  |
| Durbin-Watson Statistic | 2.015006                      |                            |                            |

ที่มา : คำนวณได้จากโปรแกรม EViews 7.1

### 5.1.3.7 การประมาณค่าพารามิเตอร์ของตัวแบบ $B_7$

เมื่อพิจารณาจากค่าความน่าจะเป็น (P-Value) ของค่าสถิติที่ (t-Statistic) แต่ละค่า พบว่ามีค่าน้อยกว่าระดับนัยสำคัญ 0.05 จึงปฏิเสธสมมติฐานว่าง (Null Hypothesis) และยอมรับว่าสัมประสิทธิ์ที่ประมาณค่าได้ของพารามิเตอร์แต่ละตัวแตกต่างจากศูนย์อย่างมีนัยสำคัญ โดยที่กระบวนการอัตโนมัติอย่อนดับที่หนึ่ง (AR(1)) กระบวนการอัตโนมัติอย่อนดับที่สอง (AR(2)) กระบวนการค่าเฉลี่ยเคลื่อนที่อย่อนดับที่หนึ่ง (MA(1)) และกระบวนการค่าเฉลี่ยเคลื่อนที่อย่อนดับที่สอง (MA(2)) มีค่าสัมประสิทธิ์ (Coefficient) เท่ากับ -0.815297 -0.742899 0.817620 และ 0.717781 ตามลำดับ ดังตารางที่ 5-10

ซึ่งสามารถอธิบายผลของตัวแบบ  $B_7$  ได้ว่า ราคาน้ำมันดิบดูไบที่ผ่านการหาผลต่างครั้งที่หนึ่ง (First Difference) ในคำนวณปัจจุบัน ขึ้นอยู่กับราคาน้ำมันดิบดูไบที่ผ่านการหาผลต่างครั้งที่หนึ่ง (First Difference) ในหนึ่งและสองคำนวณเวลาที่ผ่านมา รวมทั้งพจน์ค่าดัชนีเงิน (Error Term) ในคำนวณปัจจุบัน และพจน์ค่าดัชนีเงิน (Error Term) ในหนึ่งและสองคำนวณเวลาที่ผ่านมา ซึ่งสามารถเขียนเป็นสมการได้ดังนี้

$$\Delta_1 Z_t = (-0.815297) \Delta_1 Z_{t-1} + (-0.742899) \Delta_1 Z_{t-2} + (0.817620) \varepsilon_{t-1} + (0.717781) \varepsilon_{t-2} + \varepsilon_t$$

โดยที่  $\Delta_1 Z_t$  คือ ผลต่างลำดับที่หนึ่งของราคาน้ำมันดิบดูไบ ณ เวลา t

$\Delta_1 Z_{t-p}$  คือ ผลต่างลำดับที่หนึ่งของราคาน้ำมันดิบดูไบใน p สามเวลาที่ผ่านมา

$\varepsilon_t$  คือ พจน์ค่าดัชนีเงิน ณ เวลา t

$\varepsilon_{t-q}$  คือ พจน์ค่าดัชนีเงินใน q สามเวลาที่ผ่านมา

ตารางที่ 5-10 การประมาณค่าพารามิเตอร์ของตัวแบบ  $B_7$

| พารามิเตอร์ (Parameter) | ค่าสัมประสิทธิ์ (Coefficient) | ค่าสถิติที่ (t-Statistic)  | ค่าความน่าจะเป็น (P-Value) |
|-------------------------|-------------------------------|----------------------------|----------------------------|
| $\phi_1$                | -0.815297                     | -5.131906                  | 0.0000                     |
| $\phi_2$                | -0.742899                     | -5.555551                  | 0.0000                     |
| $\theta_1$              | 0.817620                      | 4.951766                   | 0.0000                     |
| $\theta_2$              | 0.717781                      | 5.118863                   | 0.0000                     |
| ค่าสถิติที่สำคัญ        |                               |                            |                            |
| Adjusted R-Square       | 0.001361                      | Akaike Info Criterion      | -4.868428                  |
| Log Likelihood          | 11,773.42                     | Schwarz Bayesian Criterion | -4.863064                  |
| Durbin-Watson Statistic | 2.019296                      |                            |                            |

ที่มา : คำนวณได้จากโปรแกรม EViews 7.1

### 5.1.3.8 การประมาณค่าพารามิเตอร์ของตัวแบบ $B_8$

เมื่อพิจารณาจากค่าความน่าจะเป็น (P-Value) ของค่าสถิติที่ (t-Statistic) แต่ละค่า พ布ว่ามีค่าน้อยกว่าระดับนัยสำคัญ 0.05 จึงปฏิเสธสมมติฐานว่าง (Null Hypothesis) และยอมรับว่าสัมประสิทธิ์ที่ประมาณค่าได้ของพารามิเตอร์แต่ละตัวแตกต่างจากศูนย์อย่างมีนัยสำคัญ โดยที่กระบวนการอัตโนมัติอยอันดับที่สาม (AR(3)) กระบวนการอัตโนมัติอยอันดับที่สี่ (AR(4)) กระบวนการค่าเฉลี่ยเคลื่อนที่อันดับที่สาม (MA(3)) และกระบวนการค่าเฉลี่ยเคลื่อนที่อันดับที่สี่ (MA(4)) มีค่าสัมประสิทธิ์ (Coefficient) เท่ากับ -0.152503 -0.873197 0.144617 และ 0.885114 ตามลำดับ ดังตารางที่ 5-11

ซึ่งสามารถอธิบายผลของตัวแบบ  $B_8$  ได้ว่า ราคาน้ำมันดิบดูไบที่ผ่านการหาผลต่างครั้งที่หนึ่ง (First Difference) ในความเวลาปัจจุบัน ขึ้นอยู่กับราคาน้ำมันดิบดูไบที่ผ่านการหาผลต่างครั้งที่หนึ่ง (First Difference) ในสามและสี่ความเวลาที่ผ่านมา รวมทั้งพจน์ค่าดัดแปลง (Error Term) ในความเวลาปัจจุบัน และพจน์ค่าดัดแปลง (Error Term) ในสามและสี่ความเวลาที่ผ่านมา ซึ่งสามารถเขียนเป็นสมการ ได้ดังนี้

$$\Delta_1 Z_t = (-0.152503) \Delta_1 Z_{t-3} + (-0.873197) \Delta_1 Z_{t-4} + (0.144617) \varepsilon_{t-3} + (0.885114) \varepsilon_{t-4} + \varepsilon_t$$

โดยที่  $\Delta_1 Z_t$  คือ ผลต่างลำดับที่หนึ่งของราคาน้ำมันดิบดูไบ ณ เวลา  $t$

$\Delta_1 Z_{t-p}$  คือ ผลต่างลำดับที่หนึ่งของราคาน้ำมันดิบดูไบใน  $p$  ความเวลาที่ผ่านมา

$\varepsilon_t$  คือ พจน์ค่าดัดแปลง ณ เวลา  $t$

$\varepsilon_{t-q}$  คือ พจน์ค่าดัดแปลงใน  $q$  ความเวลาที่ผ่านมา

ตารางที่ 5-11 การประมาณค่าพารามิเตอร์ของตัวแบบ  $B_8$

| พารามิเตอร์ (Parameter) | ค่าสัมประสิทธิ์ (Coefficient) | ค่าสถิติที่ (t-Statistic) | ค่าความน่าจะเป็น (P-Value) |
|-------------------------|-------------------------------|---------------------------|----------------------------|
| $\phi_3$                | -0.152503                     | -10.09423                 | 0.0000                     |
| $\phi_4$                | -0.873197                     | -63.99219                 | 0.0000                     |
| $\theta_3$              | 0.144617                      | 11.23222                  | 0.0000                     |
| $\theta_4$              | 0.885114                      | 69.29152                  | 0.0000                     |

#### ค่าสถิติที่สำคัญ

|                         |           |                            |           |
|-------------------------|-----------|----------------------------|-----------|
| Adjusted R-Square       | 0.000958  | Akaike Info Criterion      | -4.867610 |
| Log Likelihood          | 11,766.58 | Schwarz Bayesian Criterion | -4.862244 |
| Durbin-Watson Statistic |           |                            | 2.018032  |

ที่มา : คำนวนได้จากโปรแกรม EViews 7.1

#### 5.1.3.9 การประมาณค่าพารามิเตอร์ของตัวแบบ $B_9$

เมื่อพิจารณาจากค่าความน่าจะเป็น (P-Value) ของค่าสถิติที่ (t-Statistic) แต่ละค่า พนวณว่ามีค่าน้อยกว่าระดับนัยสำคัญ 0.05 จึงปฏิเสธสมมติฐานว่าง (Null Hypothesis) และยอมรับว่าสัมประสิทธิ์ที่ประมาณค่าได้ของพารามิเตอร์แต่ละตัวแตกต่างจากศูนย์อย่างมีนัยสำคัญ โดยที่กระบวนการอัตโนมัติอยันดับที่หนึ่ง (AR(1)) กระบวนการอัตโนมัติอยันดับที่สอง (AR(2))

กระบวนการอัตโนมัติอย่างอันดับที่สาม (AR(3)) กระบวนการค่าเฉลี่ยเคลื่อนที่อันดับที่หนึ่ง (MA(1)) และกระบวนการค่าเฉลี่ยเคลื่อนที่อันดับที่สาม (MA(3)) มีค่าสัมประสิทธิ์ (Coefficient) เท่ากับ -0.405842 -0.032640 0.681664 0.404571 และ -0.698931 ตามลำดับ ดังตารางที่ 5-12

ตารางที่ 5-12 การประมาณค่าพารามิเตอร์ของตัวแบบ  $B_9$

| พารามิเตอร์ (Parameter) | ค่าสัมประสิทธิ์ (Coefficient) | ค่าสถิติที่ (t-Statistic)  | ค่าความน่าจะเป็น (P-Value) |
|-------------------------|-------------------------------|----------------------------|----------------------------|
| $\phi_1$                | -0.405842                     | -5.119567                  | 0.0000                     |
| $\phi_2$                | -0.032640                     | -2.547925                  | 0.0109                     |
| $\phi_3$                | 0.681664                      | 9.457006                   | 0.0000                     |
| $\theta_1$              | 0.404571                      | 5.080501                   | 0.0000                     |
| $\theta_3$              | -0.698931                     | -10.29147                  | 0.0000                     |
| ค่าสถิติที่สำคัญ        |                               |                            |                            |
| Adjusted R-Square       | 0.001988                      | Akaike Info Criterion      | -4.868642                  |
| Log Likelihood          | 11,772.51                     | Schwarz Bayesian Criterion | -4.861936                  |
| Durbin-Watson Statistic | 2.011676                      |                            |                            |

ที่มา : คำนวณได้จากโปรแกรม EViews 7.1

ซึ่งสามารถอธิบายผลของตัวแบบ  $B_9$  ได้ว่า ราคาน้ำมันดิบดูไบที่ผ่านการหาผลต่างครั้งที่หนึ่ง (First Difference) ในความเวลาปัจจุบัน ขึ้นอยู่กับราคาน้ำมันดิบดูไบที่ผ่านการหาผลต่างครั้งที่หนึ่ง (First Difference) ในหนึ่ง สองและสามความเวลาที่ผ่านมา รวมทั้งพจน์คลาดเคลื่อน (Error Term) ในความเวลาปัจจุบัน และพจน์คลาดเคลื่อน (Error Term) ในหนึ่งและสามความเวลาที่ผ่านมา ซึ่งเป็นสมการ ได้ดังนี้

$$\Delta_1 Z_t = (-0.405842) \Delta_1 Z_{t-1} + (-0.032640) \Delta_1 Z_{t-2} + (0.681664) \Delta_1 Z_{t-3} + (0.404571) \varepsilon_{t-1} + (-0.698931) \varepsilon_{t-2} + \varepsilon_t$$

โดยที่  $\Delta_1 Z_t$  คือ ผลต่างลำดับที่หนึ่งของราคาน้ำมันดิบดูไบ ณ เวลา  $t$

$\Delta_1 Z_{t-p}$  คือ ผลต่างลำดับที่หนึ่งของราคาน้ำมันดิบดูไบใน  $p$  ความเวลาที่ผ่านมา

$\varepsilon_t$  คือ พจน์คลาดเคลื่อน ณ เวลา  $t$

$\varepsilon_{t-q}$  คือ พจน์คลาดเคลื่อนใน  $q$  ความเวลาที่ผ่านมา

### 5.1.3.10 การประมาณค่าพารามิเตอร์ของตัวแบบ $B_{10}$

เมื่อพิจารณาจากค่าความน่าจะเป็น (P-Value) ของค่าสถิติที (t-Statistic) แต่ละค่า พบว่ามีค่าน้อยกว่าระดับนัยสำคัญ 0.05 จึงปฏิเสธสมมติฐานว่าง (Null Hypothesis) และยอมรับว่าสัมประสิทธิ์ที่ประมาณค่าได้ของพารามิเตอร์แต่ละตัวแตกต่างจากศูนย์อย่างมีนัยสำคัญ โดยที่กระบวนการอัตโนมัติอยันดับที่สอง (AR(2)) กระบวนการอัตโนมัติอยันดับที่สาม (AR(3)) กระบวนการอัตโนมัติอยันดับที่สี่ (AR(4)) กระบวนการค่าเฉลี่ยเคลื่อนที่อยันดับที่สาม (MA(3)) และกระบวนการค่าเฉลี่ยเคลื่อนที่อยันดับที่สี่ (MA(4)) มีค่าสัมประสิทธิ์ (Coefficient) เท่ากับ -0.032853 0.493312 -0.429591 -0.494993 และ 0.438266 ตามลำดับ ดังตารางที่ 5-13

ตารางที่ 5-13 การประมาณค่าพารามิเตอร์ของตัวแบบ  $B_{10}$

| พารามิเตอร์ (Parameter) | ค่าสัมประสิทธิ์ (Coefficient) | ค่าสถิติที (t-Statistic) | ค่าความน่าจะเป็น (P-Value) |
|-------------------------|-------------------------------|--------------------------|----------------------------|
| $\phi_2$                | -0.032853                     | -2.830003                | 0.0047                     |
| $\phi_3$                | 0.493312                      | 4.523042                 | 0.0000                     |
| $\phi_4$                | -0.429591                     | -4.227705                | 0.0000                     |
| $\theta_3$              | -0.494993                     | -4.693648                | 0.0000                     |
| $\theta_4$              | 0.438266                      | 4.214606                 | 0.0000                     |

| ค่าสถิติที่สำคัญ        |           |                            |           |
|-------------------------|-----------|----------------------------|-----------|
| Adjusted R-Square       | 0.002138  | Akaike Info Criterion      | -4.868585 |
| Log Likelihood          | 11,769.94 | Schwarz Bayesian Criterion | -4.861878 |
| Durbin-Watson Statistic | 2.014291  |                            |           |

ที่มา : คำนวณได้จากโปรแกรม EViews 7.1

ซึ่งสามารถอธิบายผลของตัวแบบ  $B_{10}$  ได้ว่า ราคาน้ำมันดิบดูไบที่ผ่านการหาผลต่างครั้งที่หนึ่ง (First Difference) ในความเวลาปัจจุบัน ขึ้นอยู่กับราคาน้ำมันดิบดูไบที่ผ่านการหาผลต่างครั้งที่หนึ่ง (First Difference) ในสอง สามและสี่ความเวลาที่ผ่านมา รวมทั้งพจน์ค่าดเคลื่อน

(Error Term) ในความเวลาปัจจุบัน และพจน์คลาดเคลื่อน (Error Term) ในสามและสี่ความเวลาที่ผ่านมา ซึ่งสามารถเปลี่ยนเป็นสมการได้ดังนี้

$$\Delta_1 Z_t = (-0.032853) \Delta_1 Z_{t-2} + (0.493312) \Delta_1 Z_{t-3} + (-0.429591) \Delta_1 Z_{t-4} + (-0.494993) \varepsilon_{t-3} + (0.438266) \varepsilon_{t-4} + \varepsilon_t$$

โดยที่  $\Delta_1 Z_t$  คือ ผลต่างลำดับที่หนึ่งของราคาน้ำมันดิบดูไบ ณ เวลา  $t$

$\Delta_1 Z_{t-p}$  คือ ผลต่างลำดับที่หนึ่งของราคาน้ำมันดิบดูไบใน  $p$  ความเวลาที่ผ่านมา

$\varepsilon_t$  คือ พจน์คลาดเคลื่อน ณ เวลา  $t$

$\varepsilon_{t-q}$  คือ พจน์คลาดเคลื่อนใน  $q$  ความเวลาที่ผ่านมา

#### 5.1.3.11 สรุปผลการประมาณค่าพารามิเตอร์ของตัวแบบนือกซ์และเจนคินส์

มีค่าหนึ่งอยกว่าระดับนัยสำคัญ 0.05 ทุกตัวแบบ ดังนั้นจึงสรุปได้ว่าพารามิเตอร์แต่ละตัวของทุกตัวแบบ แตกต่างจากศูนย์อย่างมีนัยสำคัญ ดังตารางที่ 5-14 ซึ่งในขั้นตอนต่อไปจะนำตัวแบบทั้ง 10 ดังกล่าวนำไปตรวจสอบความถูกต้อง

ตารางที่ 5-14 ค่าความน่าจะเป็นของค่าสถิติที่ในการประมาณค่าพารามิเตอร์ของทุกตัวแบบ

| พารามิเตอร์ | ตัวแบบ<br><b>B<sub>1</sub></b> | ตัวแบบ<br><b>B<sub>2</sub></b> | ตัวแบบ<br><b>B<sub>3</sub></b> | ตัวแบบ<br><b>B<sub>4</sub></b> | ตัวแบบ<br><b>B<sub>5</sub></b> | ตัวแบบ<br><b>B<sub>6</sub></b> | ตัวแบบ<br><b>B<sub>7</sub></b> | ตัวแบบ<br><b>B<sub>8</sub></b> | ตัวแบบ<br><b>B<sub>9</sub></b> | ตัวแบบ<br><b>B<sub>10</sub></b> |
|-------------|--------------------------------|--------------------------------|--------------------------------|--------------------------------|--------------------------------|--------------------------------|--------------------------------|--------------------------------|--------------------------------|---------------------------------|
| $\phi_1$    | 0.0394                         | -                              | -                              | 0.0000                         | -                              | -                              | 0.0000                         | -                              | 0.0000                         | -                               |
| $\phi_2$    | -                              | -                              | -                              | -                              | 0.0064                         | -                              | 0.0000                         | -                              | 0.0109                         | 0.0047                          |
| $\phi_3$    | -                              | 0.0000                         | -                              | -                              | 0.0003                         | 0.0001                         | -                              | 0.0000                         | 0.0000                         | 0.0000                          |
| $\phi_4$    | -                              | -                              | 0.0327                         | -                              | -                              | -                              | -                              | 0.0000                         | -                              | 0.0000                          |
| $\theta_1$  | 0.0305                         | -                              | -                              | 0.0000                         | -                              | -                              | 0.0000                         | -                              | 0.0000                         | -                               |
| $\theta_2$  | -                              | -                              | -                              | -                              | -                              | 0.0068                         | 0.0000                         | -                              | -                              | -                               |
| $\theta_3$  | -                              | 0.0000                         | -                              | 0.0257                         | 0.0004                         | 0.0002                         | -                              | 0.0000                         | 0.0000                         | 0.0000                          |
| $\theta_4$  | -                              | -                              | -                              | 0.0282                         | -                              | -                              | -                              | 0.0000                         | -                              | 0.0000                          |

ที่มา : คำนวณได้จากโปรแกรม EViews 7.1

#### 5.1.4 การตรวจสอบความถูกต้อง (Model Checking)

เมื่อประมาณค่าพารามิเตอร์และทดสอบว่าสัมประสิทธิ์แต่ละตัวนั้น แตกต่างจากศูนย์อย่างมีนัยสำคัญเรียบร้อยแล้ว ขั้นตอนต่อไปคือการตรวจสอบความถูกต้องของตัวแบบ เพื่อการสนับสนุนว่าตัวแบบที่ได้มีความเหมาะสมสมสำหรับนำไปสร้างสมการพยากรณ์

ซึ่งความถูกต้องของตัวแบบนั้น มีขั้นตอนหลักๆ สองขั้นตอนคือ การตรวจสอบโครงสร้าง อาร์มา (ARMA Structure) และการทดสอบส่วนตกค้าง (Residual Test) โดยขั้นตอนต่างๆ สามารถแสดงได้ดังต่อไปนี้

#### 5.1.4.1 โครงสร้างอาร์มา (ARMA Structure)

ขั้นตอนนี้เป็นการตรวจสอบคุณสมบัติหยุดนิ่ง (Stationary) และพกผัน (Invertible) ของกระบวนการอัตโนมัติ (Autoregressive) และกระบวนการค่าเฉลี่ยเคลื่อนที่ (Moving Average) ซึ่งตัวแบบที่มีคุณสมบัติดังกล่าวจะนั้น จะต้องไม่มีรากพกผัน (Inverse Root) อยู่นอกวงกลมหนึ่งหน่วย (Unit Circle)

ตารางที่ 5-15 การทดสอบโครงสร้างอาร์มา

| ตัวแบบ | AR Root(s)                                            | Modulus        | MA Root(s)                                            | Modulus                 |
|--------|-------------------------------------------------------|----------------|-------------------------------------------------------|-------------------------|
| $B_1$  | 0.667188                                              | 0.667          | 0.685122                                              | 0.685                   |
| $B_2$  | -0.984466<br>$0.492233 \pm 0.852572i$                 | 0.984<br>0.984 | $0.493449 \pm 0.854678i$<br>-0.986897                 | 0.987<br>0.987          |
| $B_3$  | $-0.649834 \pm 0.649834i$<br>$0.649834 \pm 0.649834i$ | 0.919<br>0.919 | $-0.652039 \pm 0.652039i$<br>$0.652039 \pm 0.652039i$ | 0.922<br>0.922          |
| $B_4$  | 0.995553                                              | 0.996          | 0.996104<br>0.161504<br>-0.138972                     | 0.996<br>0.162<br>0.139 |
| $B_5$  | $-0.421020 \pm 0.752800i$<br>0.842039                 | 0.863<br>0.842 | 0.85066<br>$-0.425330 \pm 0.736694i$                  | 0.851<br>0.851          |
| $B_6$  | 0.863728<br>$-0.431864 \pm 0.748010i$                 | 0.864<br>0.864 | 0.872017<br>$-0.436009 \pm 0.732018i$                 | 0.872<br>0.852          |
| $B_7$  | $-0.407648 \pm 0.759422i$                             | 0.862          | $-0.408810 \pm 0.742062i$                             | 0.847                   |
| $B_8$  | $0.684146 \pm 0.723728i$<br>$-0.684146 \pm 0.642127i$ | 0.996<br>0.938 | $0.686396 \pm 0.723748i$<br>$-0.686396 \pm 0.646890i$ | 0.997<br>0.943          |
| $B_9$  | $-0.579424 \pm 0.754669i$<br>0.753005                 | 0.951<br>0.753 | $-0.587811 \pm 0.748961i$<br>0.771051                 | 0.952<br>0.771          |

|                       |                                               |                |                                               |                |
|-----------------------|-----------------------------------------------|----------------|-----------------------------------------------|----------------|
| <b>B<sub>10</sub></b> | -0.579932 ± 0.751936i<br>0.579932 ± 0.374283i | 0.950<br>0.690 | -0.589290 ± 0.746497i<br>0.589290 ± 0.370495i | 0.951<br>0.696 |
|-----------------------|-----------------------------------------------|----------------|-----------------------------------------------|----------------|

ที่มา : คำนวณได้จากโปรแกรม Eviews 7.1

จากตารางที่ 5-15 พบว่าค่าเกณฑ์วัด (Modulus) ทุกค่าของกระบวนการอัตโนมัติ (Autoregressive) และกระบวนการค่าเฉลี่ยเคลื่อนที่ (Moving Average) ของตัวแบบทั้ง 10 น้อยกว่าหนึ่ง จึงสรุปได้ว่าทุกตัวแบบไม่มีรากผกผัน (Inverse Root) ที่อยู่นอกวงกลมหนึ่งหน่วย (Unit Circle) ดังนั้นจึงสรุปได้ว่าทุกตัวแบบที่เลือกมา กระบวนการการอัตโนมัติ (Autoregressive) มีคุณสมบัติหยุดนิ่ง (Stationary) และกระบวนการค่าเฉลี่ยเคลื่อนที่ (Moving Average) มีคุณสมบัติผกผัน (Invertible)

#### 5.1.4.2 การทดสอบส่วนตกค้าง (Residual Test)

ตัวแบบที่มีความถูกต้องมีข้อกำหนดที่สำคัญว่าส่วนตกค้าง (Residual) หรือ พจน์คลาดเคลื่อน (Error Term) จะต้องมีลักษณะเช่นเดียวกับสัญญาณรบกวนสีขาว (White Noise) กล่าวคือ ไม่มีปัญหาอัตสาหสัมพันธ์ (Autocorrelation) และปัญหาความแปรปรวนของพจน์คลาดเคลื่อนไม่คงที่ (Heteroscedasticity) รวมทั้งมีการแจกแจงแบบปกติ (Normal Distribution) ด้วย ซึ่งขั้นตอนต่างๆ ในการทดสอบส่วนที่เหลือ (Residual Test) แสดงได้ดังนี้

##### 1) การทดสอบรูปแบบปกติ (Normality Test)

การทดสอบรูปแบบปกติ (Normality Test) เป็นการตรวจสอบว่าส่วนตกค้าง(Residual) มีการแจกแจงแบบปกติ (Normal Distribution) หรือไม่ ซึ่งคุณสมบัติดังกล่าวสามารถตรวจสอบได้โดยใช้ค่าสถิติจักร์-เบอร์รา (Jarque-Bera Statistic : JB)

ตารางที่ 5-16 การทดสอบรูปแบบปกติ

| ตัวแบบ               | ค่าเฉลี่ย<br>(Mean) | ส่วนเบี่ยงเบน<br>มาตรฐาน | ความเบี้ยว<br>(Skewness) | ภาวะยอดมนต์<br>(Kurtosis) | ค่าสถิติ<br>จักร์-เบอร์รา | ค่าความน่าจะเป็น<br>(Probability) |
|----------------------|---------------------|--------------------------|--------------------------|---------------------------|---------------------------|-----------------------------------|
| <b>B<sub>1</sub></b> | 0.000281            | 0.021210                 | -0.027248                | 9.790548                  | 9,292.075                 | 0.000000                          |
| <b>B<sub>2</sub></b> | 0.000266            | 0.021208                 | -0.015640                | 9.785175                  | 9,273.138                 | 0.000000                          |
| <b>B<sub>3</sub></b> | 0.000264            | 0.021217                 | -0.016826                | 9.791149                  | 9,287.584                 | 0.000000                          |
| <b>B<sub>4</sub></b> | 0.000441            | 0.021199                 | -0.037767                | 9.761551                  | 9,213.441                 | 0.000000                          |
| <b>B<sub>5</sub></b> | 0.000287            | 0.021194                 | -0.024699                | 9.845091                  | 9,437.925                 | 0.000000                          |
| <b>B<sub>6</sub></b> | 0.000290            | 0.021194                 | -0.025487                | 9.840700                  | 9,425.851                 | 0.000000                          |
| <b>B<sub>7</sub></b> | 0.000267            | 0.021195                 | -0.013024                | 9.850089                  | 9,453.312                 | 0.000000                          |

|                       |          |          |           |          |           |          |
|-----------------------|----------|----------|-----------|----------|-----------|----------|
| <b>B<sub>8</sub></b>  | 0.000262 | 0.021203 | -0.010505 | 9.750345 | 9,176.175 | 0.000000 |
| <b>B<sub>9</sub></b>  | 0.000283 | 0.021188 | -0.029461 | 9.821335 | 9,372.739 | 0.000000 |
| <b>B<sub>10</sub></b> | 0.000269 | 0.021189 | -0.020589 | 9.809190 | 9,337.106 | 0.000000 |

ที่มา : คำนวณได้จากโปรแกรม Eviews 7.1

จากตารางที่ 5-16 พบร่วมค่าความน่าจะเป็น(Probability-Value : Prob) ของค่าสถิติมัคก์-เบอรา (Jarque-Bera Statistic) ของทุกตัวแบบ มีค่าน้อยกว่าระดับนัยสำคัญ 0.05 จึงสรุปได้ว่าส่วนตกค้าง (Residual) ที่ประมาณค่าได้จากการถดถอยไม่ได้มีการแจกแจงแบบปกติ (Normal Distribution) โดยเมื่อพิจารณาจากค่าความเบี้ยว (Skewness) และภาวะยอดมน (Kurtosis) จะเห็นได้ว่าทุกตัวแบบมีลักษณะการกระจายของส่วนตกค้าง (Residual) ที่คล้ายกันกล่าวคือ มีลักษณะเบี้ยวซ้ายเล็กน้อยแต่ความโถงมาก ซึ่งการกระจายของข้อมูลในลักษณะดังกล่าวเรียกว่าหางอ้วน (Fat Tailed) หรือโถงของการแจกแจงมีลักษณะสูงแหลม (Leptokurtic)

## 2) การทดสอบอาร์ช-แอลเอ็ม (ARCH-LM Test)

สำหรับการตรวจสอบปัญหาความแปรปรวนของพจน์ค่าด้วยเครื่องไม่งงที่อย่างมีเงื่อนไข (Conditional Heteroscedasticity) จะใช้การทดสอบอาร์ช-แอลเอ็ม (ARCH-LM Test) ซึ่งการทดสอบดังกล่าวมีแนวคิดว่า หากมีกระบวนการอาร์ช (ARCH Process) หลงเหลืออยู่ในส่วนตกค้าง (Residual) จะทำให้ความแปรปรวน (Varince) ไม่เท่ากับค่าคงที่ (Constant) ค่าใดค่าหนึ่ง

ตารางที่ 5-17 การทดสอบอาร์ช-แอลเอ็ม

| ตัวแบบ               | ค่าสถิติทดสอบอาร์ช-แอลเอ็ม (ARCH-LM Test Statistic) | ค่าความน่าจะเป็น (Prob.) |
|----------------------|-----------------------------------------------------|--------------------------|
| <b>B<sub>1</sub></b> | 34.39314                                            | 0.0000                   |
| <b>B<sub>2</sub></b> | 34.64314                                            | 0.0000                   |
| <b>B<sub>3</sub></b> | 35.71868                                            | 0.0000                   |
| <b>B<sub>4</sub></b> | 34.57667                                            | 0.0000                   |
| <b>B<sub>5</sub></b> | 33.78766                                            | 0.0000                   |
| <b>B<sub>6</sub></b> | 33.93534                                            | 0.0000                   |
| <b>B<sub>7</sub></b> | 34.01415                                            | 0.0000                   |
| <b>B<sub>8</sub></b> | 35.26863                                            | 0.0000                   |

|          |          |        |
|----------|----------|--------|
| $B_9$    | 33.72426 | 0.0000 |
| $B_{10}$ | 33.79894 | 0.0000 |

ที่มา : คำนวนได้จากโปรแกรม EViews 7.1

สำหรับการทดสอบอาร์ช-แอลเอ็น (ARCH-LM Test) จะพิจารณาจากค่าความน่าจะเป็น (Probability-Value : Prob) ของค่าสถิติทดสอบอาร์ช-แอลเอ็น (ARCH-LM Test Statistic) ซึ่งจะเห็นได้ว่าทุกตัวแบบมีค่าความน่าจะเป็นน้อยกว่าระดับนัยสำคัญ 0.05 จึงปฏิเสธสมมติฐานว่าง (Null Hypothesis) และยอมรับว่ามีกระบวนการ/arช (ARCH Process) อยู่ในส่วนที่เหลือ (Residual) หรือกล่าวได้ว่าทุกตัวแบบมีปัญหาความแปรปรวนของพจน์คลาดเคลื่อนไม่คงที่ (Heteroscedasticity) ดังตารางที่ 5-17

### 3) การทดสอบค่าสถิติกิว (Q-Statistic Test)

การทดสอบค่าสถิติกิว (Q-Statistic Test) เป็นการตรวจสอบว่าพจน์รบกวน (Disturbance Term) หรือส่วนตกค้าง (Residual) ที่ได้จากการทดลองในห้วงเวลา (Period) ต่างกันไม่มีความสัมพันธ์กัน (Un-Correlated) หรือกล่าวได้ว่าอนุกรมเวลาที่พิจารณาไม่มีปัญหาอัตสหสัมพันธ์ (Autocorrelation)

ซึ่งอนุกรมเวลาที่ไม่มีปัญหาอัตสหสัมพันธ์ (Autocorrelation) จะต้องยอมรับสมมติฐานว่าง (Null Hypothesis) กล่าวคือค่าความน่าจะเป็น (Probability-Value : Prob) ของค่าสถิติกิว (Q-Statistic) ต้องมากกว่าระดับนัยสำคัญ 0.05

โดยการทดสอบมิได้พิจารณาที่ความล่าช้า (Lag) ใดๆ แต่จะพิจารณาจากภาพรวม เช่นการทดสอบค่าสถิติกิว (Q-Statistic) ของตัวแบบ  $B_1$  นั้น ณ ความล่าช้า (Lag) ที่ 30 จะยอมรับสมมติฐานว่าง (Null Hypothesis) ว่าอนุกรมเวลาที่พิจารณาไม่มีปัญหาอัตสหสัมพันธ์ (Autocorrelation) แต่หากมองในภาพรวมจะเห็นได้ว่า โดยส่วนใหญ่แล้วอนุกรมเวลาดังกล่าวปฏิเสธสมมติฐานว่าง (Null Hypothesis) ซึ่งจากการทดสอบค่าสถิติกิว (Q-Statistic) กับตัวแบบทั้ง 10 จึงสรุปได้ว่า มีตัวแบบที่ไม่มีปัญหาอัตสหสัมพันธ์ (Autocorrelation) ทั้งสิ้น 5 ตัวแบบคือ ตัวแบบ  $B_5$  ตัวแบบ  $B_6$  ตัวแบบ  $B_7$  ตัวแบบ  $B_9$  และตัวแบบ  $B_{10}$  ดังตารางที่ 5-18

ตารางที่ 5-18 ค่าความน่าจะเป็นของค่าสถิติคิว

| ความล่าช้า<br>(Lag) | <b>B<sub>1</sub></b> | <b>B<sub>2</sub></b> | <b>B<sub>3</sub></b> | <b>B<sub>4</sub></b> | <b>B<sub>5</sub></b> | <b>B<sub>6</sub></b> | <b>B<sub>7</sub></b> | <b>B<sub>8</sub></b> | <b>B<sub>9</sub></b> | <b>B<sub>10</sub></b> |
|---------------------|----------------------|----------------------|----------------------|----------------------|----------------------|----------------------|----------------------|----------------------|----------------------|-----------------------|
| 1                   | -                    | -                    | -                    | -                    | -                    | -                    | -                    | -                    | -                    | -                     |
| 2                   | -                    | -                    | -                    | -                    | -                    | -                    | -                    | -                    | -                    | -                     |
| 3                   | 0.038                | 0.007                | 0.007                | -                    | -                    | -                    | -                    | -                    | -                    | -                     |
| 4                   | 0.083                | 0.025                | 0.027                | 0.132                | 0.372                | 0.337                | -                    | -                    | -                    | -                     |
| 5                   | 0.112                | 0.030                | 0.031                | 0.148                | 0.648                | 0.609                | 0.121                | 0.002                | -                    | -                     |
| 6                   | 0.144                | 0.035                | 0.050                | 0.226                | 0.821                | 0.795                | 0.297                | 0.007                | 0.341                | 0.452                 |
| 7                   | 0.224                | 0.065                | 0.090                | 0.355                | 0.918                | 0.894                | 0.489                | 0.019                | 0.596                | 0.749                 |
| 8                   | 0.212                | 0.061                | 0.117                | 0.306                | 0.959                | 0.945                | 0.617                | 0.034                | 0.777                | 0.852                 |
| 9                   | 0.132                | 0.057                | 0.074                | 0.201                | 0.823                | 0.813                | 0.533                | 0.023                | 0.753                | 0.868                 |
| 10                  | 0.099                | 0.042                | 0.054                | 0.140                | 0.566                | 0.598                | 0.269                | 0.020                | 0.640                | 0.679                 |
| 11                  | 0.134                | 0.060                | 0.076                | 0.188                | 0.669                | 0.698                | 0.368                | 0.034                | 0.757                | 0.790                 |
| 12                  | 0.179                | 0.090                | 0.095                | 0.243                | 0.710                | 0.733                | 0.412                | 0.041                | 0.660                | 0.660                 |
| 13                  | 0.121                | 0.059                | 0.063                | 0.168                | 0.540                | 0.532                | 0.307                | 0.026                | 0.263                | 0.278                 |
| 14                  | 0.038                | 0.016                | 0.017                | 0.053                | 0.292                | 0.288                | 0.125                | 0.005                | 0.091                | 0.098                 |
| 15                  | 0.047                | 0.023                | 0.022                | 0.064                | 0.322                | 0.320                | 0.151                | 0.007                | 0.130                | 0.140                 |
| 16                  | 0.059                | 0.030                | 0.026                | 0.081                | 0.376                | 0.369                | 0.193                | 0.007                | 0.120                | 0.131                 |
| 17                  | 0.042                | 0.021                | 0.019                | 0.058                | 0.237                | 0.230                | 0.115                | 0.005                | 0.093                | 0.104                 |
| 18                  | 0.038                | 0.023                | 0.017                | 0.053                | 0.210                | 0.202                | 0.100                | 0.005                | 0.065                | 0.070                 |
| 19                  | 0.037                | 0.023                | 0.016                | 0.052                | 0.195                | 0.192                | 0.088                | 0.006                | 0.084                | 0.090                 |
| 20                  | 0.029                | 0.018                | 0.015                | 0.041                | 0.145                | 0.142                | 0.065                | 0.006                | 0.081                | 0.088                 |
| 21                  | 0.026                | 0.020                | 0.014                | 0.037                | 0.132                | 0.130                | 0.060                | 0.006                | 0.081                | 0.089                 |
| 22                  | 0.035                | 0.027                | 0.019                | 0.049                | 0.163                | 0.160                | 0.079                | 0.009                | 0.091                | 0.099                 |
| 23                  | 0.037                | 0.030                | 0.021                | 0.052                | 0.165                | 0.162                | 0.083                | 0.010                | 0.112                | 0.121                 |
| 24                  | 0.051                | 0.040                | 0.029                | 0.070                | 0.205                | 0.202                | 0.109                | 0.014                | 0.145                | 0.155                 |
| 25                  | 0.059                | 0.046                | 0.034                | 0.081                | 0.227                | 0.225                | 0.123                | 0.018                | 0.176                | 0.189                 |
| 26                  | 0.074                | 0.059                | 0.044                | 0.100                | 0.263                | 0.261                | 0.148                | 0.022                | 0.218                | 0.232                 |
| 27                  | 0.090                | 0.075                | 0.054                | 0.121                | 0.300                | 0.297                | 0.176                | 0.030                | 0.246                | 0.262                 |
| 28                  | 0.114                | 0.096                | 0.071                | 0.151                | 0.351                | 0.348                | 0.215                | 0.039                | 0.294                | 0.313                 |
| 29                  | 0.136                | 0.117                | 0.087                | 0.177                | 0.394                | 0.392                | 0.250                | 0.049                | 0.317                | 0.332                 |
| 30                  | 0.056                | 0.062                | 0.035                | 0.073                | 0.204                | 0.202                | 0.111                | 0.016                | 0.186                | 0.192                 |
| 31                  | 0.020                | 0.022                | 0.012                | 0.025                | 0.085                | 0.086                | 0.040                | 0.005                | 0.077                | 0.076                 |
| 32                  | 0.018                | 0.020                | 0.010                | 0.024                | 0.076                | 0.077                | 0.036                | 0.004                | 0.077                | 0.078                 |

|    |       |       |       |       |       |       |       |       |       |       |
|----|-------|-------|-------|-------|-------|-------|-------|-------|-------|-------|
| 33 | 0.024 | 0.026 | 0.014 | 0.031 | 0.096 | 0.096 | 0.047 | 0.005 | 0.096 | 0.097 |
| 34 | 0.021 | 0.023 | 0.012 | 0.026 | 0.080 | 0.080 | 0.039 | 0.005 | 0.086 | 0.086 |
| 35 | 0.024 | 0.026 | 0.014 | 0.029 | 0.090 | 0.090 | 0.046 | 0.006 | 0.099 | 0.099 |
| 36 | 0.020 | 0.020 | 0.013 | 0.024 | 0.079 | 0.079 | 0.040 | 0.006 | 0.077 | 0.075 |

ที่มา : คำนวณได้จากโปรแกรม EViews 7.1

#### 5.1.4.3 สรุปผลการตรวจสอบความถูกต้องของตัวแบบบือกซ์และเจนคินส์

การสรุปว่าตัวแบบที่พิจารณา มีความถูกต้อง จะต้องสามารถระบุได้ว่า โครงสร้างอาร์มา (ARMA Structure) ของตัวแบบนั้นๆ ประกอบด้วยกระบวนการอัตโนมัติ (Autoregressive : AR) และกระบวนการค่าเฉลี่ยเคลื่อนที่ (Moving Average : MA) ที่มีคุณสมบัติ หยุดนิ่ง (Stationary) และผกผัน (Invertible) ตามลำดับ นอกจากนี้ส่วนตกค้าง (Residual) ที่ประมาณค่าได้ จะต้องมีคุณสมบัติใกล้เคียงกับสัญญาณรบกวนขาว (White Noise) ซึ่งผลการตรวจสอบคุณสมบัติต่างๆ แสดงดังตารางที่ 5-19

ตารางที่ 5-19 ผลการตรวจสอบความถูกต้องของตัวแบบต่างๆ

| ตัวแบบ          | โครงสร้างอาร์มา (ARMA Structure) |                             | การทดสอบส่วนตกค้าง (Residual Test)  |                                      |                                        |
|-----------------|----------------------------------|-----------------------------|-------------------------------------|--------------------------------------|----------------------------------------|
|                 | คุณสมบัติหยุดนิ่ง (Stationary)   | คุณสมบัติผกผัน (Invertible) | การทดสอบรูปแบบปกติ (Normality Test) | การทดสอบอาร์ช-แอลเอ็ม (ARCH-LM Test) | การทดสอบค่าสถิติกิว (Q-Statistic Test) |
| B <sub>1</sub>  | ✓                                | ✓                           | ✗                                   | ✗                                    | ✗                                      |
| B <sub>2</sub>  | ✓                                | ✓                           | ✗                                   | ✗                                    | ✗                                      |
| B <sub>3</sub>  | ✓                                | ✓                           | ✗                                   | ✗                                    | ✗                                      |
| B <sub>4</sub>  | ✓                                | ✓                           | ✗                                   | ✗                                    | ✗                                      |
| B <sub>5</sub>  | ✓                                | ✓                           | ✗                                   | ✗                                    | ✓                                      |
| B <sub>6</sub>  | ✓                                | ✓                           | ✗                                   | ✗                                    | ✓                                      |
| B <sub>7</sub>  | ✓                                | ✓                           | ✗                                   | ✗                                    | ✓                                      |
| B <sub>8</sub>  | ✓                                | ✓                           | ✗                                   | ✗                                    | ✗                                      |
| B <sub>9</sub>  | ✓                                | ✓                           | ✗                                   | ✗                                    | ✓                                      |
| B <sub>10</sub> | ✓                                | ✓                           | ✗                                   | ✗                                    | ✓                                      |

จากตารางที่ 5-19 แสดงให้เห็นว่าในการทดสอบโครงสร้างอาร์มา (ARMA Structure) กระบวนการอัตโนมัติ (Autoregressive : AR) และกระบวนการค่าเฉลี่ยเคลื่อนที่

(Moving Average : MA) ของทุกตัวแบบมีคุณสมบัติหยุดนิ่ง (Stationary) และผกผัน (Invertible) อย่างไรก็ตามเมื่อทดสอบส่วนตกค้าง (Residual) พบร่วมตัวแบบทุกตัวมีปัญหาความแปรปรวนของพจน์ค่าด้วยเคลื่อนไม่คงที่ (Heteroscedasticity) และส่วนตกค้าง (Residual) ไม่ได้มีการแจกแจงแบบปกติ (Normal Distribution) ขณะที่การทดสอบปัญหาอัตสาหสัมพันธ์ (Autocorrelation) พบร่วมตัวแบบที่ไม่ได้มีปัญหาดังกล่าว 5 ตัวแบบคือ ตัวแบบ  $B_5$  ตัวแบบ  $B_6$  ตัวแบบ  $B_7$  ตัวแบบ  $B_9$  และตัวแบบ  $B_{10}$

ซึ่งการตรวจสอบความถูกต้องของร่วมตัวแบบบีโอดักซ์และเจนคินส์ (Box&Jenkins Model) แม้ว่าการที่ส่วนตกค้าง (Residual) มีปัญหาความแปรปรวนของพจน์ค่าด้วยเคลื่อนไม่คงที่ (Heteroscedasticity) และไม่ได้แจกแจงแบบปกติ (Non-Normal Distribution) อาจส่งผลให้ประสิทธิภาพ (Efficiency) ลดลง แต่ก็ไม่ได้ทำให้วิธีกำลังสองน้อยที่สุด (Least Square) เป็นโมฆะ (Invalidate) โดยส่วนตกค้าง (Residual) ที่มีคุณสมบัติใกล้เคียง (Nearly) กับสัญญาณรบกวนขาว (White Noise) ภายใต้วิธีการบีโอดักซ์และเจนคินส์ (Box&Jenkins Method) จะพิจารณาปัญหาอัตสาหสัมพันธ์ (Autocorrelation) เป็นหลัก กล่าวคือส่วนที่เหลือ (Residual) ในห่วงเวลา (Period) ที่แตกต่างกันต้องเป็นอิสระ (Independent) จากกัน หรือเป็นตัวแปรสุ่ม (Random Variables)

ดังนั้นตัวแบบที่ผ่านหลักเกณฑ์การตรวจสอบตามวิธีการบีโอดักซ์และเจนคินส์ (Box&Jenkins Method) นั่นคือ ตัวแบบ  $B_5$  ตัวแบบ  $B_6$  ตัวแบบ  $B_7$  ตัวแบบ  $B_9$  และตัวแบบ  $B_{10}$  โดยตัวแบบที่ 5 จะถูกนำไปใช้เพื่อการสร้างสมการพยากรณ์ในลำดับขั้นต่อไป

### 5.1.5 การพยากรณ์ (Forecasting)

การพยากรณ์ราคาน้ำมันดิบดูไบด้วยตัวแบบบีโอดักซ์และเจนคินส์ (Box&Jenkins Model) ในขั้นตอนนี้เหลือตัวแบบที่มีความเหมาะสมมากที่สุด 5 ตัวแบบคือ ตัวแบบ  $B_5$  ตัวแบบ  $B_6$  ตัวแบบ  $B_7$  ตัวแบบ  $B_9$  และตัวแบบ  $B_{10}$  ซึ่งการเลือกตัวแบบเพียงตัวแบบเดียว สำหรับนำไปสร้างสมการพยากรณ์ หากเป็นการพยากรณ์ค่าในช่วงที่ใช้จำลองแบบ (Historical Forecasting) จะเลือกตัวแบบโดยพิจารณาจากเงื่อนไขของอาคากิเกะ (Akaike's Information Criterion : AIC) หรือเงื่อนไขของชوار์ช (Schwarz's Bayesian Criterion : SBC)

อย่างไรก็ตามการศึกษาในครั้งนี้ มีวัตถุประสงค์หลักเพื่อการสร้างระบบพยากรณ์ที่มีประสิทธิภาพสำหรับการพยากรณ์ไปข้างหน้าเพื่อทดสอบผล (Ex-Post Forecasting) ดังนั้นการเลือกตัวแบบจึงพิจารณาว่าตัวแบบใดที่มีความสามารถในการพยากรณ์มากที่สุด กล่าวคือตัวแบบนั้นๆ จะต้องให้ค่าคาดคะเนที่ต้องระบุว่างค่าพยากรณ์กับค่าจริงน้อยที่สุด โดยพิจารณาจากค่าร้อยละสัมบูรณ์ความคลาดเคลื่อนเฉลี่ย (Mean Absolute Percentage Error : MAPE)

จากตารางที่ 5-20 ซึ่งเป็นการทดสอบประสิทธิภาพสำหรับการพยากรณ์ไปข้างหน้าเป็นระยะเวลาสั้นๆ ของตัวแบบบีอ็อกซ์และเจนคินส์ (Box&Jenkins Model) ที่ได้รับการตรวจสอบความถูกต้องแล้ว พบว่าเมื่อทำการพยากรณ์ไปข้างหน้า 10 วัน แล้วนำมาเปรียบเทียบกับค่าจริง (Actual Value) พบว่าตัวแบบที่มีค่าร้อยละสัมบูรณ์ความคลาดเคลื่อนเนลลี่ (Mean Absolute Percentage Error : MAPE) ต่ำที่สุดคือตัวแบบ B<sub>7</sub> ดังนั้น จึงเลือกตัวแบบ B<sub>7</sub> เป็นตัวแทนของตัวแบบบีอ็อกซ์และเจนคินส์ (Box&Jenkins Model) สำหรับนำไปเปรียบเทียบความแม่นยำของ การพยากรณ์ราคาหุ้นนั้นดีดูไป กับตัวแบบประเภทอื่น ๆ ในลำดับขั้นต่อ ๆ ไป

ตารางที่ 5-20 ผลการพยากรณ์ไปข้างหน้าช่วงสั้นๆ ด้วยตัวแบบบีอ็อกซ์และเจนคินส์

| วันที่    | ตัวแบบ<br>B <sub>5</sub> | ตัวแบบ<br>B <sub>6</sub> | ตัวแบบ<br>B <sub>7</sub> | ตัวแบบ<br>B <sub>9</sub> | ตัวแบบ<br>B <sub>10</sub> | ค่าจริง |
|-----------|--------------------------|--------------------------|--------------------------|--------------------------|---------------------------|---------|
| วันที่ 1  | 78.604                   | 78.603                   | 78.617                   | 78.554                   | 78.558                    | 79.532  |
| วันที่ 2  | 78.555                   | 78.550                   | 78.576                   | 78.506                   | 78.519                    | 80.520  |
| วันที่ 3  | 78.521                   | 78.521                   | 78.555                   | 78.487                   | 78.509                    | 80.520  |
| วันที่ 4  | 78.560                   | 78.560                   | 78.602                   | 78.503                   | 78.542                    | 80.520  |
| วันที่ 5  | 78.531                   | 78.525                   | 78.580                   | 78.465                   | 78.517                    | 81.323  |
| วันที่ 6  | 78.508                   | 78.507                   | 78.563                   | 78.467                   | 78.528                    | 82.878  |
| วันที่ 7  | 78.534                   | 78.531                   | 78.593                   | 78.478                   | 78.550                    | 81.333  |
| วันที่ 8  | 78.516                   | 78.509                   | 78.582                   | 78.447                   | 78.523                    | 80.520  |
| วันที่ 9  | 78.501                   | 78.497                   | 78.568                   | 78.461                   | 78.538                    | 80.657  |
| วันที่ 10 | 78.518                   | 78.513                   | 78.588                   | 78.464                   | 78.545                    | 80.657  |
| MAPE      | 2.460216                 | 2.463185                 | 2.412804                 | 2.508379                 | 2.457441                  |         |

ที่มา : คำนวณได้จากโปรแกรม EViews 7.1

หมายเหตุ : ค่า MAPE คำนวณได้จากการทดสอบพยากรณ์ไปข้างหน้า 10 วัน

## 5.2 การสร้างระบบพยากรณ์ด้วยตัวแบบการ์ช

จากการสร้างระบบพยากรณ์ด้วยตัวแบบบีอ็อกซ์และเจนคินส์ (Box&Jenkins Model) พบว่าข้อสมมติของส่วนตกค้าง (Residual) บางประการถูกละเมิด (Violate) เนื่องจากอนุกรมเวลาที่พิจารณา มีลักษณะของความผันผวนกระฉูดตัว (Volatility Clustering)

แม้ว่าปัญหาดังกล่าวจะไม่ได้ส่งผลให้วิธีกำลังสองน้อยที่สุด (Least Square) เป็นโมฆะ (Invalidate) แต่ก็ทำให้สูญเสียประสิทธิภาพเชิงกำกับ (Asymptotic Efficiency) ซึ่งการพยากรณ์อนุกรมเวลาที่มีปัญหาดังกล่าว ควรจะสร้างระบบพยากรณ์ที่มีการผ่อนปรนเงื่อนไขที่กำหนดให้ความแปรปรวนของพจน์ค่าคาดเดือนคงที่ (Homoscedasticity) โดยอนุญาต (Allow) ให้ความแปรปรวน (Variance) สามารถเปลี่ยนไปตามเวลา (Vary Over Time) ซึ่งตัวแบบที่มีลักษณะดังที่กล่าวมาคือตัวแบบการร์ช (Generalized Autoregressive Conditional Heteroscedasticity : GARCH Model) โดยการสร้างระบบพยากรณ์ด้วยตัวแบบการร์ช (GARCH Model) มี 4 ขั้นตอน ดังนี้ คือ การสร้างสมการค่าเฉลี่ย (Mean Equation) การสร้างสมการความแปรปรวน (Variance Equation) การทดสอบคุณสมบัติของส่วนตกค้าง (Residual Test) และการพยากรณ์ (Forecasting)

### 5.2.1 การสร้างสมการค่าเฉลี่ย (Mean Equation)

การสร้างสมการค่าเฉลี่ยของตัวแบบการร์ช (GARCH Model) ในครั้งนี้ จะเลือกใช้ตัวแบบบีอ็อกซ์และเจนคินส์ (Box&Jenkins Model) ทั้ง 5 ตัวแบบ ที่ได้รับการตรวจสอบความถูกต้องเรียบร้อยแล้วว่าส่วนตกค้าง (Residual) ใน interval (Period) ต่างกันเป็นอิสระจากกัน (Uncorrelated) หรือกล่าวได้ว่าไม่มีปัญหาอัตโนมัติพันธ์ (Autocorrelation) ซึ่งก็คือตัวแบบ  $B_5$  ตัวแบบ  $B_6$  ตัวแบบ  $B_7$  ตัวแบบ  $B_9$  และตัวแบบ  $B_{10}$  โดยรายละเอียดของตัวแบบดังกล่าวนั้นแสดงในตารางที่ 5-21

ตารางที่ 5-21 รายละเอียดของตัวแบบบีอ็อกซ์และเจนคินส์ที่นำมาสร้างสมการค่าเฉลี่ย

| Model    | AR & MA Process               | ARMA Structure | Residual Test |                |              |
|----------|-------------------------------|----------------|---------------|----------------|--------------|
|          |                               |                | Q-STAT Test   | Normality Test | ARCH-LM Test |
| $B_5$    | AR(2) AR(3) MA(3)             | ✓              | ✓             | ✗              | ✗            |
| $B_6$    | AR(3) MA(2) MA(3)             | ✓              | ✓             | ✗              | ✗            |
| $B_7$    | AR(1) AR(2) MA(1) MA(2)       | ✓              | ✓             | ✗              | ✗            |
| $B_9$    | AR(1) AR(2) AR(3) MA(1) MA(3) | ✓              | ✓             | ✗              | ✗            |
| $B_{10}$ | AR(2) AR(3) AR(4) MA(3) MA(4) | ✓              | ✓             | ✗              | ✗            |

### 5.2.2 การสร้างสมการความแปรปรวน (Variance Equation)

เมื่อเลือกตัวแบบบีอ็อกซ์และเจนคินส์ มาสร้างสมการค่าเฉลี่ยแล้ว ขั้นตอนนี้คือการสร้างสมการความแปรปรวน โดยเลือกพจน์อาร์ช (ARCH Term) และพจน์การ์ช (GARCH Term) ที่เหมาะสม ซึ่งจะได้ตัวแบบการ์ช (GARCH Model) ที่มีสมการค่าเฉลี่ย (Mean Equation) และสมการความแปรปรวน (Variance Equation) ดังตารางที่ 5-22

ตารางที่ 5-22 รายละเอียดของสมการค่าเฉลี่ยและสมการความแปรปรวน

| ตัวแบบ               | สมการค่าเฉลี่ย                | สมการความแปรปรวน |
|----------------------|-------------------------------|------------------|
| garch G <sub>1</sub> | AR(2) AR(3) MA(3)             | GARCH (1,2)      |
| garch G <sub>2</sub> | AR(3) MA(2) MA(3)             | GARCH (1,1)      |
| garch G <sub>3</sub> | AR(1) AR(2) MA(1) MA(2)       | ARCH (1)         |
| garch G <sub>4</sub> | AR(1) AR(2) AR(3) MA(1) MA(3) | EGARCH (1,1)     |
| garch G <sub>5</sub> | AR(2) AR(3) AR(4) MA(3) MA(4) | EGARCH (1,2)     |

จากนั้นจึงประมาณค่าพารามิเตอร์ของสมการค่าเฉลี่ย (Mean Equation) และสมการความแปรปรวน (Variance Equation) ด้วยวิธีความ praw ที่สูง (Maximum Likelihood Method : ML) โดยมีเงื่อนไขว่าความแปรปรวนของพจน์คลาดเคลื่อน (Error Term) แจกแจงแบบเกาส์เชียน (Gaussian Distribution)

#### 5.2.2.1 การประมาณค่าพารามิเตอร์ของตัวแบบ G<sub>1</sub>

เมื่อพิจารณาสมการค่าเฉลี่ย (Mean Equation) พบรากค่าน่าจะเป็น (P-Value) ของค่าสถิติแซด (Z-Statistic) แต่ละค่า มีค่าน้อยกว่าระดับนัยสำคัญ 0.05 จึงปฏิเสธสมมติฐานว่าง (Null Hypothesis) และยอมรับว่าสัมประสิทธิ์ (Coefficient) ที่ประมาณค่าได้ของพารามิเตอร์แต่ละตัวแตกต่างจากศูนย์อย่างมีนัยสำคัญ โดยกระบวนการอัตโนมัติโดยอันดับที่สอง (AR(2)) กระบวนการอัตโนมัติโดยอันดับที่สาม (AR(3)) และกระบวนการค่าเฉลี่ยเคลื่อนที่อันดับที่หนึ่ง (MA(1)) มีค่าสัมประสิทธิ์ (Coefficient) เท่ากับ -0.030544 -0.518488 และ 0.523843 ตามลำดับ ขณะที่สมการความแปรปรวน (Variance Equation) ประกอบด้วยพจน์คงตัว (Constant Term) กระบวนการอาร์ชอันดับที่หนึ่ง (ARCH(1)) รวมทั้งกระบวนการการร์ชอันดับที่หนึ่ง

(GARCH(1)) และกระบวนการการการซ้อนดับที่สอง (GARCH(2)) โดยมีค่าสัมประสิทธิ์ (Coefficient) เท่ากับ 0.0000112 0.051546 0.15961 และ 0.763798 ตามลำดับ ดังตารางที่ 5-23

ซึ่งสามารถอธิบายผลของตัวแบบ  $G_1$  ได้ว่า ราคาน้ำมันดิบดูไบที่ผ่านการหาผลต่างครั้งที่หนึ่ง (First Difference) ในความเวลาปัจจุบัน ขึ้นอยู่กับราคาน้ำมันดิบดูไบที่ผ่านการหาผลต่างครั้งที่หนึ่ง (First Difference) ในสองและสามความเวลาที่ผ่านมา รวมทั้งพจน์ค่าคลาดเคลื่อน (Error Term) ในสามความเวลาที่ผ่านมา โดยที่ความแปรปรวนอย่างมีเงื่อนไข (Conditional Variance) นอกจากจะขึ้นอยู่กับค่าคลาดเคลื่อนกำลังสอง (Squared Error) ในหนึ่งความเวลาที่ผ่านมาแล้ว ยังขึ้นอยู่กับความผันผวน (Volatility) ในหนึ่งและสองความเวลาที่ผ่านมาอีกด้วย ซึ่งสามารถเขียนเป็นสมการได้ดังนี้

$$\text{สมการค่าเฉลี่ย} : \Delta_1 Z_t = (-0.030544) \Delta_1 Z_{t-1} + (-0.518488) \Delta_1 Z_{t-2} + (0.523843) \varepsilon_{t-3} \\ + v_t \sigma_t$$

$$\text{สมการความแปรปรวน} : \sigma_t^2 = (0.0000112) + (0.15961) \sigma_{t-1}^2 + (0.763798) \sigma_{t-2}^2 + (0.051546) v_{t-1}^2$$

โดยที่  $\Delta_1 Z_t$  คือ ผลต่างลำดับที่หนึ่งของราคาน้ำมันดิบดูไบ ณ เวลา t

$\Delta_1 Z_{t-p}$  คือ ผลต่างลำดับที่หนึ่งของราคาน้ำมันดิบดูไบใน p ความเวลาที่ผ่านมา

$\varepsilon_{t-q}$  คือ พจน์ค่าคลาดเคลื่อนใน q ความเวลาที่ผ่านมา

$v_{t-p}^2$  คือ ค่าคลาดเคลื่อนกำลังสอง (Square Error) ใน p ความเวลาที่ผ่านมา

$\sigma_{t-q}^2$  คือ ความผันผวน (Volatility) ใน q ความเวลาที่ผ่านมา

ตารางที่ 5-23 การประมาณค่าพารามิเตอร์ของตัวแบบ  $G_1$

| สมการค่าเฉลี่ย (Mean Equation) |                               |                           |                            |
|--------------------------------|-------------------------------|---------------------------|----------------------------|
| พารามิเตอร์ (Parameter)        | ค่าสัมประสิทธิ์ (Coefficient) | ค่าสถิติแซด (Z-Statistic) | ค่าความน่าจะเป็น (P-Value) |
| $\phi_2$                       | -0.030544                     | -2.188654                 | 0.0286                     |
| $\phi_3$                       | -0.518488                     | -2.188326                 | 0.0286                     |
| $\theta_3$                     | 0.523843                      | 2.219661                  | 0.0264                     |

| สมการความแปรปรวน (Variance Equation) |          |          |        |
|--------------------------------------|----------|----------|--------|
|                                      |          |          |        |
| $\omega$                             | 1.12E-05 | 8.009592 | 0.0000 |
| $\alpha_1$                           | 0.051546 | 15.31879 | 0.0000 |

|                         |           |                       |           |
|-------------------------|-----------|-----------------------|-----------|
| $\beta_1$               | 0.15961   | 4.090569              | 0.0000    |
| $\beta_2$               | 0.763798  | 18.69252              | 0.0000    |
| ค่าสถิติที่สำคัญ        |           |                       |           |
| Adjusted R-Square       | -0.000309 | Akaike Info Criterion | -4.953312 |
| Log Likelihood          | 11,979.15 | Schwarz Bayesian      | -4.943923 |
| Durbin-Watson Statistic | 2.016498  |                       |           |

ที่มา : งานวิจัยได้จากการใช้โปรแกรม EViews 7.1

### 5.2.2.2 การประมาณค่าพารามิเตอร์ของตัวแบบ $G_2$

เมื่อพิจารณาสมการค่าเฉลี่ย (Mean Equation) พบว่าค่าความน่าจะเป็น (P-Value) ของค่าสถิติแซด (Z-Statistic) แต่ละค่า มีค่าน้อยกว่าระดับนัยสำคัญ 0.05 จึงปฏิเสธสมมติฐานว่าง (Null Hypothesis) และยอมรับว่าสัมประสิทธิ์ (Coefficient) ที่ประมาณค่าได้ของพารามิเตอร์แต่ละตัวแตกต่างจากศูนย์อย่างมีนัยสำคัญ โดยที่กระบวนการอัตโนมัติของ AR(3) กระบวนการค่าเฉลี่ยเคลื่อนที่อันดับที่สอง (MA(2)) และกระบวนการค่าเฉลี่ยเคลื่อนที่อันดับที่สาม (MA(3)) มีค่าสัมประสิทธิ์ (Coefficient) เท่ากับ 0.898111 -0.024190 และ -0.890715 ตามลำดับ โดยที่สมการความแปรปรวน (Variance Equation) ประกอบด้วยพจน์คงตัว (Constant Term) กระบวนการอาร์ชอันดับที่หนึ่ง (ARCH(1)) รวมทั้งกระบวนการการกรองอันดับที่หนึ่ง (GARCH(1)) โดยมีค่าสัมประสิทธิ์ (Coefficient) เท่ากับ 0.00000624 0.027736 และ 0.958305 ตามลำดับ ดังตารางที่ 5-24

ตารางที่ 5-24 การประมาณค่าพารามิเตอร์ของตัวแบบ  $G_2$

| สมการค่าเฉลี่ย (Mean Equation) |                               |                           |                            |
|--------------------------------|-------------------------------|---------------------------|----------------------------|
| พารามิเตอร์ (Parameter)        | ค่าสัมประสิทธิ์ (Coefficient) | ค่าสถิติแซด (Z-Statistic) | ค่าความน่าจะเป็น (P-Value) |
| $\phi_3$                       | 0.898111                      | 61.54336                  | 0.0000                     |
| $\theta_2$                     | -0.024190                     | -3.665030                 | 0.0002                     |
| $\theta_3$                     | -0.890715                     | -68.51220                 | 0.0000                     |

| สมการความแปรปรวน (Variance Equation) |          |          |        |
|--------------------------------------|----------|----------|--------|
|                                      |          |          |        |
| $\omega$                             | 6.24E-06 | 7.636169 | 0.0000 |
| $\alpha_1$                           | 0.027736 | 15.36431 | 0.0000 |

|                         |           |                       |           |
|-------------------------|-----------|-----------------------|-----------|
| $\beta_1$               | 0.958305  | 301.5023              | 0.0000    |
| ค่าสถิติที่สำคัญ        |           |                       |           |
| Adjusted R-Square       | -0.000753 | Akaike Info Criterion | -4.949787 |
| Log Likelihood          | 11,969.63 | Schwarz Bayesian      | -4.941739 |
| Durbin-Watson Statistic | 2.015847  |                       |           |

ที่มา : คำนวณได้จากโปรแกรม EViews 7.1

ซึ่งสามารถอธิบายผลของตัวแบบ  $G_2$  ได้ว่า ราคาน้ำมันดิบดูไบที่ผ่านการหาผลต่างครั้งที่หนึ่ง (First Difference) ในความเวลาปัจจุบัน ขึ้นอยู่กับราคาน้ำมันดิบดูไบที่ผ่านการหาผลต่างครั้งที่หนึ่ง (First Difference) ในสามความเวลาที่ผ่านมา รวมทั้งพจน์คลาดเคลื่อน (Error Term) ในสองและสามความเวลาที่ผ่านมา โดยที่ความแปรปรวนอย่างมีเงื่อนไข (Conditional Variance) ขึ้นอยู่กับความผันผวน (Volatility) และค่าคลาดเคลื่อนกำลังสอง (Squared Error) ในหนึ่งความเวลาที่ผ่านมา ซึ่งสามารถเขียนเป็นสมการได้ดังนี้

$$\begin{aligned} \text{สมการค่าเฉลี่ย } : \Delta_1 Z_t &= (0.898111) \Delta_1 Z_{t-3} + (-0.024190) \varepsilon_{t-2} + (-0.890715) \varepsilon_{t-3} \\ &\quad + v_t \sigma_t \end{aligned}$$

$$\text{สมการความแปรปรวน } : \sigma_t^2 = (0.00000624) + (0.958305) \sigma_{t-1}^2 + (0.027736) v_{t-1}^2$$

โดยที่  $\Delta_1 Z_t$  คือ ผลต่างลำดับที่หนึ่งของราคาน้ำมันดิบดูไบ ณ เวลา t

$\Delta_1 Z_{t-p}$  คือ ผลต่างลำดับที่หนึ่งของราคาน้ำมันดิบดูไบใน p ความเวลาที่ผ่านมา

$\varepsilon_{t-q}$  คือ พจน์คลาดเคลื่อนใน q ความเวลาที่ผ่านมา

$v_{t-p}^2$  คือ ค่าคลาดเคลื่อนกำลังสอง (Square Error) ใน p ความเวลาที่ผ่านมา

$\sigma_{t-q}^2$  คือ ความผันผวน (Volatility) ใน q ความเวลาที่ผ่านมา

### 5.2.2.3 การประมาณค่าพารามิเตอร์ของตัวแบบ $G_3$

เมื่อพิจารณาสมการค่าเฉลี่ย (Mean Equation) พบว่าค่าความน่าจะเป็น (P-Value) ของค่าสถิติแซด (Z-Statistic) แต่ละค่า มีค่าน้อยกว่าระดับนัยสำคัญ 0.05 จึงปฏิเสธสมมติฐานว่า (Null Hypothesis) และยอมรับว่าสัมประสิทธิ์ (Coefficient) ที่ประมาณค่าได้ของพารามิเตอร์แต่ละตัวแตกต่างจากศูนย์อย่างมีนัยสำคัญ โดยที่กระบวนการอัตโนมัติของ SPSS ได้ใช้ AR(1) กระบวนการอัตโนมัติของ Eviews ได้ใช้ AR(2) กระบวนการค่าเฉลี่ยเคลื่อนที่อันดับที่หนึ่ง

(MA(1)) และกระบวนการค่าเฉลี่ยเคลื่อนที่อันดับที่สอง (MA(2)) มีค่าสัมประสิทธิ์ (Coefficient) เท่ากับ  $-1.040148$   $-0.827816$   $1.053591$  และ  $0.819366$  ตามลำดับ โดยที่สมการความแปรปรวน (Variance Equation) ประกอบด้วยพจน์คงตัว (Constant Term) และกระบวนการอาร์ชอันดับที่หนึ่ง (ARCH(1)) โดยมีค่าสัมประสิทธิ์ (Coefficient) เท่ากับ  $0.000401$  และ  $0.107786$  ตามลำดับ ดังตารางที่ 5-25

ซึ่งสามารถอธิบายผลของตัวแบบ  $G_3$  ได้ว่า ราคาน้ำมันดิบดูไบที่ผ่านการหาผลต่างครั้งที่หนึ่ง (First Difference) ในความเวลาปัจจุบัน ขึ้นอยู่กับราคาน้ำมันดิบดูไบที่ผ่านการหาผลต่างครั้งที่หนึ่ง (First Difference) ในหนึ่งและสองความเวลาที่ผ่านมา รวมทั้งพจน์ค่าคลาดเคลื่อน (Error Term) ในหนึ่งและสองความเวลาที่ผ่านมา โดยที่ความแปรปรวนอย่างมีเงื่อนไข (Conditional Variance) ขึ้นอยู่กับค่าคลาดเคลื่อนกำลังสอง (Squared Error) ในหนึ่งความเวลาที่ผ่านมา ซึ่งสามารถเขียนเป็นสมการ ได้ดังนี้

$$\text{สมการค่าเฉลี่ย : } \Delta_1 Z_t = (-1.040148) \Delta_1 Z_{t-1} + (-0.827816) \Delta_1 Z_{t-2} + (1.053591) \varepsilon_{t-1} + (0.819366) \varepsilon_{t-2} + v_t \sigma_t$$

$$\text{สมการความแปรปรวน : } \sigma_t^2 = (0.000401) + (0.107786) v_{t-1}^2$$

โดยที่  $\Delta_1 Z_t$  คือ ผลต่างลำดับที่หนึ่งของราคาน้ำมันดิบดูไบ ณ เวลา  $t$

$\Delta_1 Z_{t-p}$  คือ ผลต่างลำดับที่หนึ่งของราคาน้ำมันดิบดูไบใน  $p$  ความเวลาที่ผ่านมา

$\varepsilon_{t-q}$  คือ พจน์ค่าคลาดเคลื่อนใน  $q$  ความเวลาที่ผ่านมา

$v_{t-p}^2$  คือ ค่าคลาดเคลื่อนกำลังสอง (Square Error) ใน  $p$  ความเวลาที่ผ่านมา

ตารางที่ 5-25 การประมาณค่าพารามิเตอร์ของตัวแบบ  $G_3$

#### สมการค่าเฉลี่ย (Mean Equation)

| พารามิเตอร์ (Parameter) | ค่าสัมประสิทธิ์ (Coefficient) | ค่าสถิติแซด (Z-Statistic) | ค่าความน่าจะเป็น (P-Value) |
|-------------------------|-------------------------------|---------------------------|----------------------------|
| $\phi_1$                | -1.040148                     | -9.253444                 | 0.0000                     |
| $\phi_2$                | -0.827816                     | -8.291914                 | 0.0000                     |
| $\theta_1$              | 1.053591                      | 9.118501                  | 0.0000                     |
| $\theta_2$              | 0.819366                      | 7.944879                  | 0.0000                     |

#### สมการความแปรปรวน (Variance Equation)

|                         |           |                            |           |
|-------------------------|-----------|----------------------------|-----------|
| $\omega$                | 0.000401  | 91.80532                   | 0.0000    |
| $\alpha_1$              | 0.107786  | 13.60332                   | 0.0000    |
| ค่าสถิติที่สำคัญ        |           |                            |           |
| Adjusted R-Square       | 0.000873  | Akaike Info Criterion      | -4.889768 |
| Log Likelihood          | 11,827.01 | Schwarz Bayesian Criterion | -4.881722 |
| Durbin-Watson Statistic | 2.041396  |                            |           |

ที่มา : งานวณได้จากโปรแกรม EViews 7.1

#### 5.2.2.4 การประมาณค่าพารามิเตอร์ของตัวแบบ $G_4$

เมื่อพิจารณาสมการค่าเฉลี่ย (Mean Equation) พบว่าค่าความน่าจะเป็น (P-Value) ของค่าสถิติแซด (Z-Statistic) แต่ละค่า มีค่าน้อยกว่าระดับนัยสำคัญ 0.05 จึงปฏิเสธสมมติฐานว่าง (Null Hypothesis) และยอมรับว่าสัมประสิทธิ์ที่ประมาณค่าได้ของพารามิเตอร์แต่ละตัวแตกต่างจากศูนย์อย่างมีนัยสำคัญ โดยที่กระบวนการอัตโนมัติอยันดับที่หนึ่ง (AR(1)) กระบวนการอัตโนมัติสอง (AR(2)) กระบวนการอัตโนมัติสาม (AR(3)) กระบวนการค่าเฉลี่ยเคลื่อนที่อันดับที่หนึ่ง (MA(1)) และกระบวนการค่าเฉลี่ยเคลื่อนที่อันดับที่สาม (MA(3)) มีค่าสัมประสิทธิ์ (Coefficient) เท่ากับ -0.372595 -0.037832 0.605511 0.374420 และ -0.621080 ตามลำดับ โดยที่สมการความแปรปรวน (Variance Equation) ประกอบด้วยพจน์คงตัว (Constant Term) กระบวนการอาร์ชอันดับที่หนึ่ง (ARCH(1)) กระบวนการกราร์ชอันดับที่หนึ่ง (GARCH(1)) และผลของความไม่สมมาตร (Asymmetric Effect) โดยมีค่าสัมประสิทธิ์ (Coefficient) เท่ากับ -11.33152 0.207497 -0.448653 และ -0.050080 ตามลำดับ ดังตารางที่ 5-26

ตารางที่ 5-26 การประมาณค่าพารามิเตอร์ของตัวแบบ  $G_4$

| สมการค่าเฉลี่ย (Mean Equation) |                               |                           |                            |
|--------------------------------|-------------------------------|---------------------------|----------------------------|
| พารามิเตอร์ (Parameter)        | ค่าสัมประสิทธิ์ (Coefficient) | ค่าสถิติแซด (Z-Statistic) | ค่าความน่าจะเป็น (P-Value) |
| $\phi_1$                       | -0.372595                     | -3.110829                 | 0.0019                     |
| $\phi_2$                       | -0.037832                     | -3.697749                 | 0.0002                     |
| $\phi_3$                       | 0.605511                      | 6.023118                  | 0.0000                     |
| $\theta_1$                     | 0.374420                      | 3.107605                  | 0.0019                     |
| $\theta_3$                     | -0.621080                     | -6.399983                 | 0.0000                     |

| สมการความแปรปรวน (Variance Equation) |  |  |  |
|--------------------------------------|--|--|--|
|--------------------------------------|--|--|--|

|            |           |           |        |
|------------|-----------|-----------|--------|
| $\omega$   | -11.33152 | -49.03328 | 0.0000 |
| $\alpha_1$ | 0.207497  | 16.77705  | 0.0000 |
| $\gamma_1$ | -0.050080 | -5.865418 | 0.0000 |
| $\beta_1$  | -0.448653 | -15.18048 | 0.0000 |

| ค่าสถิติที่สำคัญ        |           |                            |           |
|-------------------------|-----------|----------------------------|-----------|
| Adjusted R-Square       | 0.001009  | Akaike Info Criterion      | -4.889605 |
| Log Likelihood          | 11,827.18 | Schwarz Bayesian Criterion | -4.877534 |
| Durbin-Watson Statistic | 2.018648  |                            |           |

ที่มา : คำนวณได้จากโปรแกรม EViews 7.1

ซึ่งสามารถอธิบายผลของตัวแบบ  $G_4$  ได้ว่า ราคาน้ำมันดิบดูไบที่ผ่านการหาผลต่างครั้งที่หนึ่ง (First Difference) ในความเวลาปัจจุบัน ขึ้นอยู่กับราคาน้ำมันดิบดูไบที่ผ่านการหาผลต่างครั้งที่หนึ่ง (First Difference) ในหนึ่ง สองและสามความเวลาที่ผ่านมา รวมทั้งพจน์คลาดเคลื่อน (Error Term) ในหนึ่งและสามความเวลาที่ผ่านมา โดยที่ลอการิทึม (Logarithm) ของความแปรปรวนอย่างมีเงื่อนไข (Conditional Variance) ขึ้นอยู่กับลอการิทึม (Logarithm) ของความผันผวน (Volatility) และค่าคลาดเคลื่อนกำลังสอง (Squared Error) ในหนึ่งความเวลาที่ผ่านมา นอกจากนี้การที่สัมประสิทธิ์ (Coefficient) ของผลของความไม่สมมาตร ( $\gamma_1$ ) มีค่าเป็นลบ มีนัย (Imply) ว่าความแปรปรวนอย่างมีเงื่อนไข (Conditional Variance) มีผลของอัตราหด (Leverage Effect) อยู่ด้วย ก่อให้ความผิดปกติเชิงลบ (Negative Shock) ส่งผลกระทบต่อความผันผวน (Volatility) มากกว่าความผิดปกติเชิงบวก (Positive Shock) ซึ่งสามารถ解釋เป็นสมการได้ดังนี้

$$\text{สมการค่าเฉลี่ย} : \Delta_1 Z_t = (-0.372595) \Delta_1 Z_{t-1} + (-0.037832) \Delta_1 Z_{t-2} + (0.605511) \Delta_1 Z_{t-3} + (0.374420) \varepsilon_{t-1} + (-0.621080) \varepsilon_{t-3} + v_t \sigma_t$$

$$\text{สมการความแปรปรวน} : \log(\sigma_t^2) = (-11.33152) + (-0.448653) \log(\sigma_{t-1}^2) + (0.207497) \left| \frac{v_{t-1}}{\sigma_{t-1}} \right| + (-0.050080) \frac{v_{t-1}}{\sigma_{t-1}}$$

โดยที่  $\Delta_1 Z_t$  คือ ผลต่างลำดับที่หนึ่งของราคาน้ำมันดิบดูไบ ณ เวลา t

$\Delta_1 Z_{t-p}$  คือ ผลต่างลำดับที่หนึ่งของราคาน้ำมันดิบดูไบใน p ความเวลาที่ผ่านมา

$\varepsilon_{t-q}$  คือ พจน์คลาดเคลื่อนใน q ความเวลาที่ผ่านมา

$\sigma_{t-q}^2$  คือ ความผันผวน (Volatility) ใน q ความเวลาที่ผ่านมา

### 5.2.2.5 การประมาณค่าพารามิเตอร์ของตัวแบบ $G_5$

เมื่อพิจารณาสมการค่าเฉลี่ย (Mean Equation) พบว่าค่าความน่าจะเป็น (P-Value) ของค่าสถิติแซด (Z-Statistic) แต่ละค่า มีค่าน้อยกว่าระดับนัยสำคัญ 0.05 จึงปฏิเสธสมมติฐานว่าง (Null Hypothesis) และยอมรับว่าสัมประสิทธิ์ (Coefficient) ที่ประมาณค่าได้ของพารามิเตอร์แต่ละตัวแตกต่างจากศูนย์อย่างมีนัยสำคัญ โดยที่กระบวนการอัตโนมัติของตัวแบบ AR(2) กระบวนการอัตโนมัติของตัวแบบ AR(3) กระบวนการอัตโนมัติของตัวแบบ AR(4) กระบวนการค่าเฉลี่ยเคลื่อนที่อันดับที่สาม (MA(3)) และกระบวนการค่าเฉลี่ยเคลื่อนที่อันดับที่สี่ (MA(4)) มีค่าสัมประสิทธิ์ (Coefficient) เท่ากับ -0.024964 0.389270 -0.503871 -0.389222 และ 0.517811 ตามลำดับ โดยที่สมการความแปรปรวน (Variance Equation) ประกอบด้วยพจน์คงตัว (Constant Term) กระบวนการอาร์ชอันดับที่หนึ่ง (ARCH(1)) กระบวนการกราร์ชอันดับที่หนึ่ง (GARCH(1)) กระบวนการกราร์ชอันดับที่สอง (GARCH(2)) และผลของการไม่สมมาตร (Asymmetric Effect) โดยมีค่าสัมประสิทธิ์ (Coefficient) เท่ากับ -0.149427 0.066892 0.090154 0.896100 และ -0.077241 ตามลำดับ ดังตารางที่ 5-27

ตารางที่ 5-27 การประมาณค่าพารามิเตอร์ของตัวแบบ  $G_5$

| สมการค่าเฉลี่ย (Mean Equation) |                               |                           |                            |
|--------------------------------|-------------------------------|---------------------------|----------------------------|
| พารามิเตอร์ (Parameter)        | ค่าสัมประสิทธิ์ (Coefficient) | ค่าสถิติแซด (Z-Statistic) | ค่าความน่าจะเป็น (P-Value) |
| $\phi_2$                       | -0.024964                     | -2.110315                 | 0.0348                     |
| $\phi_3$                       | 0.389270                      | 3.467495                  | 0.0005                     |
| $\phi_4$                       | -0.503871                     | -5.076895                 | 0.0000                     |
| $\theta_3$                     | -0.389222                     | -3.536583                 | 0.0004                     |
| $\theta_4$                     | 0.517811                      | 5.207804                  | 0.0000                     |

| สมการความแปรปรวน (Variance Equation) |                   |                                |                            |
|--------------------------------------|-------------------|--------------------------------|----------------------------|
| พารามิเตอร์ (Parameter)              | ค่า (Coefficient) | ค่าสถิติที่สำคัญ (Z-Statistic) | ค่าความน่าจะเป็น (P-Value) |
| $\omega$                             | -0.149427         | -10.81159                      | 0.0000                     |
| $\alpha_1$                           | 0.066892          | 9.933566                       | 0.0000                     |
| $\gamma_1$                           | -0.077241         | -17.28454                      | 0.0000                     |
| $\beta_1$                            | 0.090154          | 5.528631                       | 0.0000                     |
| $\beta_2$                            | 0.896100          | 54.01728                       | 0.0000                     |

| ค่าสถิติที่สำคัญ  |          |                       |           |
|-------------------|----------|-----------------------|-----------|
| Adjusted R-Square | 0.000776 | Akaike Info Criterion | -4.964096 |

|                                |           |                                   |           |
|--------------------------------|-----------|-----------------------------------|-----------|
| <b>Log Likelihood</b>          | 12,005.74 | <b>Schwarz Bayesian Criterion</b> | -4.950682 |
| <b>Durbin-Watson Statistic</b> | 2.014960  |                                   |           |

ที่มา : คำนวณได้จากโปรแกรม EViews 7.1

ซึ่งสามารถอธิบายผลของตัวแบบ  $G_5$  ได้ว่า ราคาน้ำมันดิบดูไบที่ผ่านการหาผลต่างครั้งที่หนึ่ง (First Difference) ในคำาวาลาปัจจุบัน ขึ้นอยู่กับราคาน้ำมันดิบดูไบที่ผ่านการหาผลต่างครั้งที่หนึ่ง (First Difference) ในสอง สามและสี่คำาวาลาที่ผ่านมา รวมทั้งพจน์ค่าคาดเคลื่อน (Error Term) ในสามและสี่คำาวาลาที่ผ่านมา โดยที่ล็อการิทึม (Logarithm) ของความแปรปรวนอย่างมีเงื่อนไข (Conditional Variance) นอกจากจะขึ้นอยู่กับค่าคาดเคลื่อนกำลังสอง (Squared Error) ในหนึ่งคำาวาลาที่ผ่านมาแล้ว ยังขึ้นอยู่กับล็อการิทึม (Logarithm) ของความผันผวน (Volatility) ในหนึ่งและสองคำาวาลาที่ผ่านมาอีกด้วย ขณะที่สัมประสิทธิ์ (Coefficient) ของผลของความไม่สมมาตร ( $\gamma_1$ ) มีค่าเป็นลบ มีนัย (Imply) ว่าความแปรปรวนอย่างมีเงื่อนไข (Conditional Variance) มีผลของอัตราหด (Leverage Effect) อยู่ด้วย กล่าวคือความผิดปกติเชิงลบ (Negative Shock) ส่งผลกระทบต่อความผันผวน (Volatility) มากกว่าความผิดปกติเชิงบวก (Positive Shock) ซึ่งสามารถเขียนเป็นสมการได้ดังนี้

$$\text{สมการค่าเฉลี่ย} : \Delta_1 Z_t = (-0.024964) \Delta_1 Z_{t-2} + (0.389270) \Delta_1 Z_{t-3} + (-0.503871) \Delta_1 Z_{t-4} + (-0.389222) \varepsilon_{t-3} + (0.517811) \varepsilon_{t-4} \quad \boxed{\equiv} \quad v_t \sigma_t$$

$$\text{สมการความแปรปรวน} : \log(\sigma_t^2) = (-0.149427) + (0.090154) \log(\sigma_{t-1}^2) + (0.896100) \log(\sigma_{t-2}^2) + (0.066892) \left| \frac{v_{t-1}}{\sigma_{t-1}} \right| + (-0.077241) \frac{v_{t-1}}{\sigma_{t-1}}$$

โดยที่  $\Delta_1 Z_t$  คือ ผลต่างลำดับที่หนึ่งของราคาน้ำมันดิบดูไบ ณ เวลา  $t$  ใดๆ

$\Delta_1 Z_{t-p}$  คือ ผลต่างลำดับที่หนึ่งของราคาน้ำมันดิบดูไบใน  $p$  คำาวาลาที่ผ่านมา

$\varepsilon_{t-q}$  คือ พจน์ค่าคาดเคลื่อนใน  $q$  คำาวาลาที่ผ่านมา

$\sigma_{t-q}^2$  คือ ความผันผวน (Volatility) ใน  $q$  คำาวาลาที่ผ่านมา

### 5.2.3 การทดสอบคุณสมบัติของส่วนตกลัก (Residual)

สำหรับการทดสอบคุณสมบัติของส่วนตกลัก (Residual) ของตัวแบบการ์ช (GARCH Model) มีความคล้ายคลึงกับการตรวจสอบความถูกต้อง (Model Checking) ของตัวแบบนี้อ กซ์ และ

เจนคินส์ (Box&Jenkins Model) กล่าวคือเป็นการทดสอบเพื่อยืนยันคุณสมบัติสัญญาณรบกวนขาว (White Noise) ของส่วนตกค้าง (Residual) ซึ่งมีขั้นตอนต่าง ๆ ดังนี้

#### 5.2.3.1 การทดสอบอาร์ช-แอลเอ็ม (ARCH-LM Test)

การทดสอบอาร์ช-แอลเอ็ม (ARCH-LM Test) ของตัวแบบการ์ช (GARCH Model) มีแนวคิดว่าหากสมการความแปรปรวน (Variance) มีความถูกต้อง จะต้องไม่มีกระบวนการ/arช (ARCH Process) หลงเหลืออยู่ในส่วนตกค้าง (Residual) ที่ประมาณค่าได้จากตัวแบบการ์ช (GARCH Model) หรือส่วนตกค้างในรูปแบบมาตรฐาน (Standardized Residual)

ตารางที่ 5-28 การทดสอบอาร์ช-แอลเอ็มของส่วนตกค้างในรูปแบบมาตรฐาน

| ตัวแบบ         | ค่าทดสอบอาร์ช-แอลเอ็ม (ARCH-LM Test Statistic) | ค่าความน่าจะเป็น (Prob) |
|----------------|------------------------------------------------|-------------------------|
| G <sub>1</sub> | 0.001348                                       | 0.970710                |
| G <sub>2</sub> | 1.023914                                       | 0.311592                |
| G <sub>3</sub> | 0.007742                                       | 0.929885                |
| G <sub>4</sub> | 0.998847                                       | 0.317590                |
| G <sub>5</sub> | 1.720147                                       | 0.189674                |

ที่มา : ถ้าสนใจดูจากโปรแกรม EViews 7.1

สำหรับการทดสอบอาร์ช-แอลเอ็ม (ARCH-LM Test) จะพิจารณาจากค่าความน่าจะเป็น (Probability-Value : Prob) ของค่าสถิติทดสอบอาร์ช-แอลเอ็ม (ARCH-LM Test Statistic) ซึ่งจะเห็นได้ว่าทุกตัวแบบมีค่าความน่าจะเป็นมากกว่าระดับนัยสำคัญ 0.05 จึงยอมรับสมมติฐานว่าง (Null Hypothesis) และยอมรับว่าไม่มีกระบวนการ/arช (ARCH Process) อยู่ในส่วนตกค้างในรูปแบบมาตรฐาน (Standardized Residual) หรือกล่าวได้ว่าทุกตัวแบบไม่มีปัญหาความแปรปรวนของพจน์ค่าเดียวกันไม่คงที่ (Heteroscedasticity) ดังตารางที่ 5-28

#### 5.2.3.2 การทดสอบรูปแบบปกติ (Normality Test)

การทดสอบรูปแบบปกติ (Normality Test) เป็นการตรวจสอบว่าส่วนตกค้างในรูปแบบมาตรฐาน (Standardized Residual) มีการแจกแจงแบบปกติ (Normal Distribution)

หรือไม่ ซึ่งคุณสมบัติดังกล่าวสามารถตรวจสอบได้โดยใช้ค่าสถิติมัคค์-เบอรา (Jarque-Bera Statistic : JB)

จากตารางที่ 5-29 พบร่วมกับความน่าจะเป็น(Probability-Value : Prob) ของค่าสถิติมัคค์-เบอรา (Jarque-Bera Statistic) ของทุกตัวแบบ มีค่าน้อยกว่าระดับนัยสำคัญ 0.05 จึงสรุปได้ว่าส่วนตกล้างในรูปแบบนี้มาตรฐาน (Standardized Residual) ไม่ได้มีการแจกแจงแบบปกติ (Normal Distribution) โดยเมื่อพิจารณาจากค่าความเบี้ยว (Skewness) และภาวะยอดมน (Kurtosis) จะเห็นได้ว่าทุกตัวแบบมีลักษณะการกระจายของส่วนตกล้างในรูปแบบนี้มาตรฐาน (Standardized Residual) คล้ายกันกล่าวคือ มีลักษณะเบี้ยวซ้ายเล็กน้อยแต่ความโด่งมาก ซึ่งการกระจายของข้อมูลในลักษณะดังกล่าวเรียกว่าหางอ้วน (Fat Tailed) หรือ โค้งของการแจกแจงมีลักษณะสูงแหลม (Leptokurtic)

ตารางที่ 5-29 การทดสอบรูปแบบปกติของส่วนตกล้างในรูปแบบมาตรฐาน

| ตัวแบบ               | ค่าเฉลี่ย<br>(Mean) | ส่วนเบี่ยงเบน<br>มาตรฐาน | ความเบี้ยว<br>(Skewness) | ความโด่ง<br>(Kurtosis) | ค่าสถิติ<br>มัคค์-เบอรา | ค่าความน่าจะเป็น<br>(Probability) |
|----------------------|---------------------|--------------------------|--------------------------|------------------------|-------------------------|-----------------------------------|
| <b>G<sub>1</sub></b> | 0.016850            | 1.000080                 | -0.089515                | 7.113843               | 3,415.172               | 0.000000                          |
| <b>G<sub>2</sub></b> | 0.022317            | 0.998977                 | -0.104970                | 7.493501               | 4,075.793               | 0.000000                          |
| <b>G<sub>3</sub></b> | 0.016322            | 0.999981                 | -0.020432                | 9.530064               | 8,590.869               | 0.000000                          |
| <b>G<sub>4</sub></b> | 0.017088            | 1.000047                 | -0.005086                | 9.167197               | 7,660.767               | 0.000000                          |
| <b>G<sub>5</sub></b> | 0.013758            | 0.999852                 | -0.149981                | 7.000440               | 3,240.828               | 0.000000                          |

ที่มา : คำนวณได้จากโปรแกรม EViews 7.1

### 5.2.3.3 การทดสอบค่าสถิติกิว (Q-Statistic Test)

สำหรับการสร้างระบบพยากรณ์ด้วยตัวแบบการรช (GARCH Model) นั้น หากสมการค่าเฉลี่ย (Mean Equation) มีความถูกต้อง ส่วนตกล้าง (Residual) จะต้องไม่มีปัญหาสหสัมพันธ์เชิงอันดับ (Serial Correlation) หรืออัตสหสัมพันธ์ (Autocorrelation) ซึ่งการทดสอบปัญหาดังกล่าวจะพิจารณาจากค่าสถิติกิว (Q-Statistic)

สำหรับสมการค่าเฉลี่ย (Mean Equation) ที่ไม่มีปัญหาอัตสหสัมพันธ์ (Autocorrelation) จะต้องยอมรับสมมติฐานว่าง (Null Hypothesis) กล่าวคือค่าความน่าจะเป็น (Probability-Value : Prob) ของค่าสถิติกิว (Q-Statistic) ต้องมากกว่าระดับนัยสำคัญ 0.05 ซึ่งการทดสอบค่าสถิติกิว (Q-Statistic Test) ของตัวแบบการรช (GARCH Model) อาศัยหลักการเดียวกัน

กับตัวแบบบีอ็อกซ์และเจนคินส์ (Box&Jenkins Model) โดยพิจารณาจากภาพรวม ไม่ได้พิจารณา ณ ความล่าช้า (Lag) ใด ๆ

จากตารางที่ 5-30 จะเห็นได้ว่าค่าความน่าจะเป็น (Probability-Value : Prob) ของค่าสถิติคิว (Q-Statistic) ของทุกตัวแบบมากกว่าระดับนัยสำคัญ 0.05 จึงยอมรับสมมติฐานว่าง (Null Hypothesis) และสรุปได้ว่าสมการค่าเฉลี่ย (Mean Equation) ของตัวแบบแต่ละตัว มีความถูกต้องและไม่มีปัญหาอัตสาหสัมพันธ์ (Autocorrelation) หรือสาหสัมพันธ์เชิงอันดับ (Serial Correlation)

ตารางที่ 5-30 ค่าความน่าจะเป็นของค่าสถิติคิวสำหรับการตรวจสอบความถูกต้องของสมการค่าเฉลี่ย

| ความล่าช้า<br>(Lag) | ตัวแบบ G <sub>1</sub> | ตัวแบบ G <sub>2</sub> | ตัวแบบ G <sub>3</sub> | ตัวแบบ G <sub>4</sub> | ตัวแบบ G <sub>5</sub> |
|---------------------|-----------------------|-----------------------|-----------------------|-----------------------|-----------------------|
| 1                   | -                     | -                     | -                     | -                     | -                     |
| 2                   | -                     | -                     | -                     | -                     | -                     |
| 3                   | -                     | -                     | -                     | -                     | -                     |
| 4                   | 0.774                 | 0.482                 | -                     | -                     | -                     |
| 5                   | 0.540                 | 0.317                 | 0.120                 | -                     | -                     |
| 6                   | 0.564                 | 0.508                 | 0.298                 | 0.282                 | 0.271                 |
| 7                   | 0.674                 | 0.632                 | 0.487                 | 0.560                 | 0.545                 |
| 8                   | 0.776                 | 0.730                 | 0.491                 | 0.626                 | 0.703                 |
| 9                   | 0.694                 | 0.741                 | 0.448                 | 0.566                 | 0.820                 |
| 10                  | 0.575                 | 0.595                 | 0.396                 | 0.568                 | 0.760                 |
| 11                  | 0.587                 | 0.68                  | 0.512                 | 0.694                 | 0.847                 |
| 12                  | 0.644                 | 0.683                 | 0.498                 | 0.654                 | 0.769                 |
| 13                  | 0.546                 | 0.587                 | 0.226                 | 0.311                 | 0.436                 |
| 14                  | 0.356                 | 0.592                 | 0.066                 | 0.096                 | 0.246                 |
| 15                  | 0.437                 | 0.674                 | 0.097                 | 0.139                 | 0.311                 |
| 16                  | 0.517                 | 0.743                 | 0.114                 | 0.149                 | 0.359                 |
| 17                  | 0.561                 | 0.614                 | 0.108                 | 0.130                 | 0.401                 |
| 18                  | 0.633                 | 0.671                 | 0.100                 | 0.130                 | 0.480                 |
| 19                  | 0.586                 | 0.620                 | 0.094                 | 0.125                 | 0.507                 |
| 20                  | 0.588                 | 0.484                 | 0.093                 | 0.125                 | 0.556                 |
| 21                  | 0.524                 | 0.473                 | 0.087                 | 0.120                 | 0.505                 |
| 22                  | 0.585                 | 0.537                 | 0.111                 | 0.148                 | 0.572                 |
| 23                  | 0.562                 | 0.363                 | 0.117                 | 0.165                 | 0.596                 |

|    |       |       |       |       |       |
|----|-------|-------|-------|-------|-------|
| 24 | 0.619 | 0.398 | 0.149 | 0.207 | 0.660 |
| 25 | 0.662 | 0.444 | 0.185 | 0.250 | 0.703 |
| 26 | 0.694 | 0.503 | 0.225 | 0.300 | 0.718 |
| 27 | 0.735 | 0.561 | 0.257 | 0.323 | 0.744 |
| 28 | 0.779 | 0.614 | 0.303 | 0.374 | 0.787 |
| 29 | 0.789 | 0.664 | 0.338 | 0.422 | 0.758 |
| 30 | 0.674 | 0.485 | 0.156 | 0.200 | 0.688 |
| 31 | 0.391 | 0.270 | 0.046 | 0.064 | 0.341 |
| 32 | 0.367 | 0.192 | 0.042 | 0.058 | 0.326 |
| 33 | 0.404 | 0.213 | 0.054 | 0.075 | 0.360 |
| 34 | 0.413 | 0.221 | 0.052 | 0.067 | 0.383 |
| 35 | 0.453 | 0.234 | 0.063 | 0.080 | 0.420 |
| 36 | 0.414 | 0.236 | 0.047 | 0.064 | 0.345 |

ที่มา : คำนวณได้จากโปรแกรม EViews 7.1

#### 5.2.3.4 สรุปผลการทดสอบคุณสมบัติของส่วนตอค้าง

การสรุปว่าตัวแบบการ์ช (GARCH Model) ที่พิจารณา มีความถูกต้อง จะต้องสามารถระบุได้ว่าส่วนตอค้าง (Residual) ของสมการค่าเฉลี่ย (Mean Equation) ไม่มีปัญหาสหสัมพันธ์เชิงอันดับ (Serial Correlation) หรืออัตสหสัมพันธ์ (Autocorrelation) ขณะที่ส่วนตอค้างในรูปคะແນນมาตรฐาน (Standardized Residual) ของสมการความแปรปรวน (Variance Equation) จะต้องไม่มีปัญหาความแปรปรวนของพจน์คลาดเคลื่อนไม่คงที่ (Heteroscedasticity) กล่าวคือไม่มีกระบวนการกราร์ช (ARCH Process) หลงเหลืออยู่ในส่วนตอค้างในรูปคะແນນมาตรฐาน (Standardized Residual) ซึ่งการทดสอบคุณสมบัติของส่วนตอค้างสรุปได้ดังนี้

ตารางที่ 5-31 ผลการตรวจสอบความถูกต้องของตัวแบบการ์ช

| ตัวแบบ         | การทดสอบส่วนตอค้าง (Residual Test)      |                                        |                                         |
|----------------|-----------------------------------------|----------------------------------------|-----------------------------------------|
|                | การทดสอบอาร์ช-แอลเอ็ม<br>(ARCH-LM Test) | การทดสอบรูปแบบปกติ<br>(Normality Test) | การทดสอบอาร์ช-แอลเอ็ม<br>(ARCH-LM Test) |
| G <sub>1</sub> | ✓                                       | ✗                                      | ✓                                       |
| G <sub>2</sub> | ✓                                       | ✗                                      | ✓                                       |
| G <sub>3</sub> | ✓                                       | ✗                                      | ✓                                       |
| G <sub>4</sub> | ✓                                       | ✗                                      | ✓                                       |
| G <sub>5</sub> | ✓                                       | ✗                                      | ✓                                       |

จากตารางที่ 5-31 แสดงให้เห็นว่าทุกตัวแบบสามารถนำไปใช้สำหรับสร้างสมการพยากรณ์ได้ เนื่องจากส่วนตกค้าง (Residual) ของสมการค่าเฉลี่ย (Mean Equation) ไม่มีปัญหาอัตสาหสัมพันธ์ (Autocorrelation) และส่วนตกค้างในรูปค่าความแปรปรวนมาตรฐาน (Standardized Residual) ของสมการความแปรปรวน (Variance Equation) ไม่มีปัญหาความแปรปรวนของพจน์คลาดเคลื่อน ไม่คงที่ (Heteroscedasticity) อย่างไรก็ตามส่วนตกค้างในรูปค่าความแปรปรวนมาตรฐาน (Standardized Residual) ของทุกตัวแบบไม่ได้มีการแจกแจงแบบปกติ (Normal Distribution) หากแต่มีการกระจายแบบหางอ้วน (Fat Tailed Distribution)

#### 5.2.4 การพยากรณ์

สำหรับขั้นตอนนี้มีความคล้ายคลึงกับการพยากรณ์ด้วยตัวแบบบีอีซีและเจนคินส์ (Box&Jenkins Model) กล่าวคือพิจารณาจากค่าร้อยละสัมบูรณ์ความคลาดเคลื่อนเฉลี่ย (Mean Absolute Percentage Error : MAPE) ที่คำนวณได้จากการทดลองพยากรณ์ไปข้างหน้าช่วงสั้นๆ ซึ่งตัวแบบการ์ช (GARCH Model) ที่ได้รับการตรวจสอบความถูกต้อง และเหมาะสมในการนำไปใช้สร้างสมการพยากรณ์มีทั้งสิ้น 5 ตัวแบบคือ ตัวแบบ  $G_1$  ตัวแบบ  $G_2$  ตัวแบบ  $G_3$  ตัวแบบ  $G_4$  และตัวแบบ  $G_5$

ตารางที่ 5-32 ผลการพยากรณ์ไปข้างหน้าช่วงสั้นๆ ด้วยตัวแบบการ์ช

| วันที่      | ตัวแบบ $G_1$    | ตัวแบบ $G_2$    | ตัวแบบ $G_3$    | ตัวแบบ $G_4$    | ตัวแบบ $G_5$    | ค่าจริง |
|-------------|-----------------|-----------------|-----------------|-----------------|-----------------|---------|
| วันที่ 1    | 78.578          | 78.625          | 78.602          | 78.572          | 78.554          | 79.532  |
| วันที่ 2    | 78.548          | 78.543          | 78.559          | 78.517          | 78.542          | 80.520  |
| วันที่ 3    | 78.593          | 78.505          | 78.556          | 78.490          | 78.533          | 80.520  |
| วันที่ 4    | 78.577          | 78.577          | 78.595          | 78.520          | 78.568          | 80.520  |
| วันที่ 5    | 78.591          | 78.503          | 78.557          | 78.477          | 78.559          | 81.323  |
| วันที่ 6    | 78.568          | 78.469          | 78.564          | 78.475          | 78.560          | 82.878  |
| วันที่ 7    | 78.576          | 78.534          | 78.588          | 78.495          | 78.578          | 81.333  |
| วันที่ 8    | 78.569          | 78.468          | 78.557          | 78.462          | 78.557          | 80.520  |
| วันที่ 9    | 78.581          | 78.438          | 78.569          | 78.473          | 78.562          | 80.657  |
| วันที่ 10   | 78.577          | 78.496          | 78.582          | 78.482          | 78.569          | 80.657  |
| <b>MAPE</b> | <b>2.416152</b> | <b>2.481908</b> | <b>2.420629</b> | <b>2.496762</b> | <b>2.431147</b> |         |

ที่มา : คำนวณได้จากโปรแกรม EViews 7.1

หมายเหตุ : ค่า MAPE คำนวณได้จากการทดสอบพยากรณ์ไปข้างหน้า 10 วัน

จากตารางที่ 5-32 ซึ่งเป็นการทดสอบประสิทธิภาพสำหรับการพยากรณ์ไปข้างหน้าเป็นระยะเวลาสั้นๆ ของตัวแบบการรช (GARCH Model) พบว่าเมื่อทำการพยากรณ์ไปข้างหน้า 10 วัน ตั้งแต่วันที่ 1 เมษายน พ.ศ. 2553 ถึงวันที่ 10 เมษายน พ.ศ. 2553 แล้วนำมาเปรียบเทียบกับค่าจริง (Actual Value) พบว่าตัวแบบที่มีค่าร้อยละสัมบูรณ์ความคลาดเคลื่อนเฉลี่ย (Mean Absolute Percentage Error : MAPE) ต่ำที่สุดคือตัวแบบ  $G_1$  ดังนี้จึงเลือกตัวแบบ  $G_1$  เป็นตัวแทนของตัวแบบการรช (GARCH Model) สำหรับนำไปเปรียบเทียบความแม่นยำของการพยากรณ์ราคาหุ้นนั้นดีบดูไป กับตัวแบบประเภทอื่นๆ ในลำดับขั้นต่อไป

### 5.3 การสร้างระบบพยากรณ์ด้วยตัวแบบโครงข่ายประสาทประดิษฐ์

การพยากรณ์ด้วยตัวแบบโครงข่ายประสาทประดิษฐ์ (ANNs) แบ่งเป็นลำดับต่างๆ 5 ขั้นตอน คือการกำหนดข้อมูลนำเข้า (Input) การออกแบบชั้นซ่อนเร้น (Hidden Layer) การสร้างระบบการฝึกสอน (Training System) การกำหนดข้อมูลส่งออก (Output) และการพยากรณ์ (Forecasting)

#### 5.3.1 การกำหนดรูปแบบข้อมูลนำเข้า

ระบบโครงข่ายประสาทประดิษฐ์ (ANNs) ประกอบด้วยข้อมูลนำเข้า (Input) และผลลัพธ์ ซึ่งหลักการที่สำคัญในการเลือกตัวแปรที่เหมาะสมคือ ข้อมูลนำเข้า (Input) ต้องมีความสามารถในการอธิบายตัวแปรตามหรือผลลัพธ์ ดังนั้นในการศึกษาครั้งนี้จะอาศัยความล่าช้า (Lag) ของตัวแบบบ็อกซ์และเจนคินส์ (Box&Jenkins Model) ที่ได้รับการตรวจสอบความถูกต้อง และได้รับการรับรองแล้วว่าสามารถนำไปสร้างสมการพยากรณ์ได้ เนื่องจากความล่าช้า (Lag) ดังกล่าวผ่านการทดสอบทางสถิติแล้วว่าสามารถอธิบายอนุกรมเวลาได้อย่างมีนัยสำคัญ

ตารางที่ 5-33 ตัวแบบบ็อกซ์และเจนคินส์ที่ได้รับการตรวจสอบความถูกต้องแล้ว

| ลำดับที่ | ตัวแบบบ็อกซ์และเจนคินส์                                                                          | กระบวนการอัตโนมัติและการตรวจสอบความถูกต้องที่ |
|----------|--------------------------------------------------------------------------------------------------|-----------------------------------------------|
| 1        |  ตัวแบบ $B_5$ | AR(2) AR(3) MA(3)                             |
| 2        |  ตัวแบบ $B_6$ | AR(3) MA(2) MA(3)                             |
| 3        |  ตัวแบบ $B_7$ | AR(1) AR(2) MA(1) MA(2)                       |

|   |                                                                                                   |                               |
|---|---------------------------------------------------------------------------------------------------|-------------------------------|
| 4 |  ตัวแบบ $B_9$    | AR(1) AR(2) AR(3) MA(1) MA(3) |
| 5 |  ตัวแบบ $B_{10}$ | AR(2) AR(3) AR(4) MA(3) MA(4) |

จากความล่าช้า (Lag) ของตัวแบบบีอกซ์และเจนคินส์ (Box&Jenkins Model) ในตารางที่ 5-33 สามารถนำมาใช้สำหรับกำหนดข้อมูลนำเข้า (Input) ของตัวแบบโครงข่ายไปรษณีย์ ประดิษฐ์ (ANNs Model) ได้ดังตารางที่ 5-34

ตารางที่ 5-34 ข้อมูลนำเข้าของตัวแบบโครงข่ายไปรษณีย์ประดิษฐ์

| ลำดับที่ | ตัวแบบโครงข่ายไปรษณีย์ประดิษฐ์                                                                   | ลักษณะข้อมูลนำเข้า                        |
|----------|--------------------------------------------------------------------------------------------------|-------------------------------------------|
| 1        |  ตัวแบบ $A_1$ | หนึ่งและสองความเวลา (Period) ข้อนหลัง     |
| 2        |  ตัวแบบ $A_2$ | สองและสามความเวลา (Period) ข้อนหลัง       |
| 3        |  ตัวแบบ $A_3$ | หนึ่ง สองและสามความเวลา (Period) ข้อนหลัง |
| 4        |  ตัวแบบ $A_4$ | สอง สามและสี่ความเวลา (Period) ข้อนหลัง   |

หมายเหตุ : ตัวแบบ  $A_1$  สร้างได้จากการพิจารณาความล่าช้าของตัวแบบ  $B_9$ ,

ตัวแบบ  $A_2$  สร้างได้จากการพิจารณาความล่าช้าของตัวแบบ  $B_5$ ,

ตัวแบบ  $A_3$  สร้างได้จากการพิจารณาความล่าช้าของตัวแบบ  $B_9$ ,

ตัวแบบ  $A_4$  สร้างได้จากการพิจารณาความล่าช้าของตัวแบบ  $B_{10}$

### 5.3.2 การออกแบบชั้นช่องเรียน

สำหรับการออกแบบโครงข่ายจะกำหนดชั้นช่องเรียน (Hidden Layer) เพียงชั้นเดียว โดยเลือกฟังก์ชันแทนซิกมอยด์ (Hyperbolic Tangent Sigmoid : Tan-Sigmoid Function) เป็นฟังก์ชันการแปลงค่า (Transfer Function) เนื่องจากในชั้น (Layer) นี้ทำหน้าที่ในการรับค่าถ่วงน้ำหนัก (Weight) ที่ถูกส่งมาจากชั้นข้อมูลนำเข้า (Input Layer) ดังนั้นในการส่งผ่านข้อมูลไปยังชั้นต่อๆ ไป จึงไม่ควรมีช่วงกว้างมากเกินไปเพื่อรักษาเสถียรภาพของโครงข่าย (Network) โดยฟังก์ชันแทนซิกมอยด์ (Tan-Sigmoid Function) สามารถรับค่าที่เป็นจำนวนจริงได ๆ แต่จะส่งผ่านข้อมูลไปยังชั้นอื่นๆ อยู่ในช่วงตั้งแต่ -1 ถึง 1

ชั้นการกำหนดจำนวนนิวรอนในชั้นช่องเรียน (Hidden Layer) ไม่ได้มีหลักการที่แน่นอน ซึ่งการศึกษาในครั้งนี้จะใช้วิธีสุ่มเลือก (Arbitrary) โดยทดลองเพิ่มจำนวนนิวรอนเป็น 3 ช่วง ° คือ หนึ่ง เพิ่มจำนวนนิวรอนทีละหนึ่งนิวรอนจาก 1 นิวรอน ไปจนถึง 10 นิวรอน ส่อง เพิ่มนิวรอนทีละ ส่องนิวรอนจาก 12 นิวรอน ไปจนถึง 20 นิวรอน และ สาม เพิ่มนิวรอนทีละสิบนิวรอน จาก 30 นิวรอนจนถึง 100 นิวรอน ซึ่งจากขั้นตอนการกำหนดข้อมูลนำเข้า (Input) ที่มีตัวแบบหลักทั้งหมด 4 ตัวแบบคือ ตัวแบบ  $A_1$  ตัวแบบ  $A_2$  ตัวแบบ  $A_3$  และตัวแบบ  $A_4$  ในขั้นตอนนี้จะได้ตัวแบบย่อยอีก 23 ตัวแบบ สำหรับตัวแบบหลักแต่ละตัว ดังตารางที่ 5-35 ตารางที่ 5-36 ตารางที่ 5-37 และตารางที่ 5-38

ตารางที่ 5-35 ตัวแบบย่อยของตัวแบบ  $A_1$

| ลำดับที่ | ตัวแบบโครงข่ายประสาทประดิษฐ์                                                                          | จำนวนนิวรอนในชั้นช่องเรียน |
|----------|-------------------------------------------------------------------------------------------------------|----------------------------|
| 1        |  ตัวแบบ $A_{1-1}$    | 1                          |
| 2        |  ตัวแบบ $A_{1-2}$   | 2                          |
| 3        |  ตัวแบบ $A_{1-3}$  | 3                          |
| 4        |  ตัวแบบ $A_{1-4}$  | 4                          |
| 5        |  ตัวแบบ $A_{1-5}$  | 5                          |
| 6        |  ตัวแบบ $A_{1-6}$  | 6                          |
| 7        |  ตัวแบบ $A_{1-7}$  | 7                          |
| 8        |  ตัวแบบ $A_{1-8}$  | 8                          |
| 9        |  ตัวแบบ $A_{1-9}$  | 9                          |
| 10       |  ตัวแบบ $A_{1-10}$ | 10                         |
| 11       |  ตัวแบบ $A_{1-11}$ | 12                         |
| 12       |  ตัวแบบ $A_{1-12}$ | 14                         |
| 13       |  ตัวแบบ $A_{1-13}$ | 16                         |
| 14       |  ตัวแบบ $A_{1-14}$ | 18                         |

° การกำหนดจำนวนนิวรอน (Neuron) ในช่วงแรกและช่วงที่สองจะมีความถี่มากกว่าช่วงที่สาม เนื่องจากเมื่อพิจารณา จำกจำนวนข้อมูลนำเข้า (Input) และจำนวนนิวรอน (Neuron) ในชั้นช่องเรียน (Hidden Layer) ของงานวิจัยอื่น ๆ มาเปรียบเทียบอย่าง คร่าว ๆ จึงคาดว่าจำนวนนิวรอนที่เหมาะสมสำหรับโครงข่าย (Network) น่าจะอยู่ในช่วง 1 ถึง 20 นิวรอน

|    |                                                                                                            |     |
|----|------------------------------------------------------------------------------------------------------------|-----|
| 15 |  ตัวแบบ A <sub>1-15</sub> | 20  |
| 16 |  ตัวแบบ A <sub>1-16</sub> | 30  |
| 17 |  ตัวแบบ A <sub>1-17</sub> | 40  |
| 18 |  ตัวแบบ A <sub>1-18</sub> | 50  |
| 19 |  ตัวแบบ A <sub>1-19</sub> | 60  |
| 20 |  ตัวแบบ A <sub>1-20</sub> | 70  |
| 21 |  ตัวแบบ A <sub>1-21</sub> | 80  |
| 22 |  ตัวแบบ A <sub>1-22</sub> | 90  |
| 23 |  ตัวแบบ A <sub>1-23</sub> | 100 |

ตารางที่ 5-36 ตัวแบบย่อยของตัวแบบ A<sub>2</sub>

| ลำดับที่ | ตัวแบบโครงข่ายไบโ פרสาทประดิษฐ์                                                                              | จำนวนนิวรอนในชั้นช่องเรียน |
|----------|--------------------------------------------------------------------------------------------------------------|----------------------------|
| 1        |  ตัวแบบ A <sub>2-1</sub>  | 1                          |
| 2        |  ตัวแบบ A <sub>2-2</sub>  | 2                          |
| 3        |  ตัวแบบ A <sub>2-3</sub>  | 3                          |
| 4        |  ตัวแบบ A <sub>2-4</sub>  | 4                          |
| 5        |  ตัวแบบ A <sub>2-5</sub>  | 5                          |
| 6        |  ตัวแบบ A <sub>2-6</sub>  | 6                          |
| 7        |  ตัวแบบ A <sub>2-7</sub>  | 7                          |
| 8        |  ตัวแบบ A <sub>2-8</sub>  | 8                          |
| 9        |  ตัวแบบ A <sub>2-9</sub>  | 9                          |
| 10       |  ตัวแบบ A <sub>2-10</sub> | 10                         |
| 11       |  ตัวแบบ A <sub>2-11</sub> | 12                         |
| 12       |  ตัวแบบ A <sub>2-12</sub> | 14                         |
| 13       |  ตัวแบบ A <sub>2-13</sub> | 16                         |
| 14       |  ตัวแบบ A <sub>2-14</sub> | 18                         |

|    |                                                                                                            |     |
|----|------------------------------------------------------------------------------------------------------------|-----|
| 15 |  ตัวแบบ A <sub>2-15</sub> | 20  |
| 16 |  ตัวแบบ A <sub>2-16</sub> | 30  |
| 17 |  ตัวแบบ A <sub>2-17</sub> | 40  |
| 18 |  ตัวแบบ A <sub>2-18</sub> | 50  |
| 19 |  ตัวแบบ A <sub>2-19</sub> | 60  |
| 20 |  ตัวแบบ A <sub>2-20</sub> | 70  |
| 21 |  ตัวแบบ A <sub>2-21</sub> | 80  |
| 22 |  ตัวแบบ A <sub>2-22</sub> | 90  |
| 23 |  ตัวแบบ A <sub>2-23</sub> | 100 |

ตารางที่ 5-37 ตัวแบบย่อของตัวแบบ A<sub>3</sub>

| ลำดับที่ | ตัวแบบโครงข่ายไบโ פרสาทประดิษฐ์                                                                              | จำนวนนิวรอนในชั้นช่องเรียน |
|----------|--------------------------------------------------------------------------------------------------------------|----------------------------|
| 1        |  ตัวแบบ A <sub>3-1</sub>  | 1                          |
| 2        |  ตัวแบบ A <sub>3-2</sub>  | 2                          |
| 3        |  ตัวแบบ A <sub>3-3</sub>  | 3                          |
| 4        |  ตัวแบบ A <sub>3-4</sub>  | 4                          |
| 5        |  ตัวแบบ A <sub>3-5</sub>  | 5                          |
| 6        |  ตัวแบบ A <sub>3-6</sub>  | 6                          |
| 7        |  ตัวแบบ A <sub>3-7</sub>  | 7                          |
| 8        |  ตัวแบบ A <sub>3-8</sub>  | 8                          |
| 9        |  ตัวแบบ A <sub>3-9</sub>  | 9                          |
| 10       |  ตัวแบบ A <sub>3-10</sub> | 10                         |
| 11       |  ตัวแบบ A <sub>3-11</sub> | 12                         |
| 12       |  ตัวแบบ A <sub>3-12</sub> | 14                         |
| 13       |  ตัวแบบ A <sub>3-13</sub> | 16                         |
| 14       |  ตัวแบบ A <sub>3-14</sub> | 18                         |

|    |                                                                                                            |     |
|----|------------------------------------------------------------------------------------------------------------|-----|
| 15 |  ตัวแบบ A <sub>3-15</sub> | 20  |
| 16 |  ตัวแบบ A <sub>3-16</sub> | 30  |
| 17 |  ตัวแบบ A <sub>3-17</sub> | 40  |
| 18 |  ตัวแบบ A <sub>3-18</sub> | 50  |
| 19 |  ตัวแบบ A <sub>3-19</sub> | 60  |
| 20 |  ตัวแบบ A <sub>3-20</sub> | 70  |
| 21 |  ตัวแบบ A <sub>3-21</sub> | 80  |
| 22 |  ตัวแบบ A <sub>3-22</sub> | 90  |
| 23 |  ตัวแบบ A <sub>3-23</sub> | 100 |

ตารางที่ 5-38 ตัวแบบย่อของตัวแบบ A<sub>4</sub>

| ลำดับที่ | ตัวแบบโครงข่ายไบโ פרสาทประดิษฐ์                                                                              | จำนวนนิวรอนในชั้นช่องเรียน |
|----------|--------------------------------------------------------------------------------------------------------------|----------------------------|
| 1        |  ตัวแบบ A <sub>4-1</sub>  | 1                          |
| 2        |  ตัวแบบ A <sub>4-2</sub>  | 2                          |
| 3        |  ตัวแบบ A <sub>4-3</sub>  | 3                          |
| 4        |  ตัวแบบ A <sub>4-4</sub>  | 4                          |
| 5        |  ตัวแบบ A <sub>4-5</sub>  | 5                          |
| 6        |  ตัวแบบ A <sub>4-6</sub>  | 6                          |
| 7        |  ตัวแบบ A <sub>4-7</sub>  | 7                          |
| 8        |  ตัวแบบ A <sub>4-8</sub>  | 8                          |
| 9        |  ตัวแบบ A <sub>4-9</sub>  | 9                          |
| 10       |  ตัวแบบ A <sub>4-10</sub> | 10                         |
| 11       |  ตัวแบบ A <sub>4-11</sub> | 12                         |
| 12       |  ตัวแบบ A <sub>4-12</sub> | 14                         |
| 13       |  ตัวแบบ A <sub>4-13</sub> | 16                         |
| 14       |  ตัวแบบ A <sub>4-14</sub> | 18                         |

|    |                                                                                                            |     |
|----|------------------------------------------------------------------------------------------------------------|-----|
| 15 |  ตัวแบบ A <sub>4-15</sub> | 20  |
| 16 |  ตัวแบบ A <sub>4-16</sub> | 30  |
| 17 |  ตัวแบบ A <sub>4-17</sub> | 40  |
| 18 |  ตัวแบบ A <sub>4-18</sub> | 50  |
| 19 |  ตัวแบบ A <sub>4-19</sub> | 60  |
| 20 |  ตัวแบบ A <sub>4-20</sub> | 70  |
| 21 |  ตัวแบบ A <sub>4-21</sub> | 80  |
| 22 |  ตัวแบบ A <sub>4-22</sub> | 90  |
| 23 |  ตัวแบบ A <sub>4-23</sub> | 100 |

### 5.3.3 การสร้างระบบฝึกสอน (Training)

รูปแบบการฝึกสอนสำหรับการค้นคว้าแบบอิสระ (Independent Study) ในครั้งนี้จะใช้ระบบการเชื่อมโยงโครงข่ายแบบส่งผ่านข้อมูลไปข้างหน้าหลายชั้น (Multilayer Feed Forward) กล่าวคือเมื่อโครงข่ายเริ่มทำงาน ข้อมูลจากชั้นข้อมูลนำเข้า (Input Layer) จะถูกนำไปข้างหน้าเพียงอย่างเดียว ซึ่งภายในโครงข่ายจะออกแบบเป็นการเรียนรู้แบบมีผู้สอน (Supervised Learning) นั่นคือมีชุดการเรียนรู้หรือค่าเป้าหมาย (Target Response) ให้ระบบได้ทำการปรีวิยนเทิร์บ

อย่างไรก็ตามคำตอบที่โครงข่ายคำนวณออกมาได้อาจจะยังไม่ถูกต้อง เนื่องจากค่าคลื่นนำหนัก (Weight) ที่ให้กับโครงข่ายในตอนแรกนั้น ระบุให้โครงข่ายทดลองสุ่มขึ้นมาเอง ดังนั้นจึงต้องมีการกำหนดฟังก์ชันการฝึกสอน (Training Function) เพื่อปรับแก้ค่าคลื่นนำหนัก (Weight) ที่ถูกส่งมาจากชั้น (Layer) ก่อนหน้า ให้มีความเหมาะสมมากที่สุด โดยการศึกษาในครั้งนี้จะใช้วิธีแพร่ย้อนกลับแบบแอลเอ็ม (LM Backpropagation) เนื่องจากเป็นวิธีแพร่ย้อนกลับที่สามารถปรับแก้ค่าคลื่นนำหนัก (Weight) ให้ถูกเข้าสู่เป้าหมายได้เร็วที่สุดและผิดพลาดน้อยที่สุด โดยวงรอบการเรียนรู้ (Epochs) ของทุกตัวแบบจะกำหนดไว้ที่ 500 vòngรอบ

### 5.3.4 การกำหนดรูปแบบข้อมูลส่งออก (Output)

ข้อมูลที่ได้จากชั้นข้อมูลส่งออก (Output Layer) นั่นคือค่าพยากรณ์ ดังนั้นเพื่อให้ค่าที่ได้มีความเหมาะสม จึงต้องมีการกำหนดฟังก์ชันการแปลงค่า (Transfer Function) ให้สอดคล้องกับข้อมูล ดังนั้นในชั้น (Layer) นี้ โดยเลือกใช้ฟังก์ชันโพลลิน (Positive Linear Transfer Function : Poslin) สำหรับแปลงค่าข้อมูลที่ได้รับจากชั้นซ่อนเร้น (Hidden Layer) โดยการประมวลผลของระบบปัญญาประดิษฐ์ (Artificial Intelligence : AI) เป็นอัลกอริทึมเพื่อสุ่ม (Stochastic Algorithm) กล่าวคือ แม้จะกำหนดโครงสร้างต่างๆ เมื่อเดิม แต่ถ้าทำการพยากรณ์ซ้ำอีกรอบ คำตอบที่ได้จะไม่เท่าเดิม

เนื่องจากการประมวลผลของโครงข่าย ไม่ได้มีสูตรการคำนวณตายตัว หากแต่เป็นการสร้างระบบสมการที่สามารถหาคำตอบที่ดีที่สุดจากการปรับแก้ค่าอั่งหนัก (Adjusted Weight) ดังนี้เพื่อให้ค่าพยากรณ์ที่คำนวณได้มีความน่าเชื่อถือ จึงกำหนดวงวนการพยากรณ์ (Prediction Loop) ไว้ 10 รอบ โดยเมื่อคำนวณค่าพยากรณ์ครบทั้ง 10 รอบแล้ว หากตรวจสอบพบว่าวน (Loop) ใดที่มีข้อผิดพลาด เช่น ให้ค่าพยากรณ์ออกมากเป็นศูนย์ทั้งหมด จะแก้ปัญหาโดยกำจัดค่าผิด格ลุ่ม (Eliminated Outlier) ดังกล่าวทีละไป และไม่นำมาคิดเป็นค่าเฉลี่ยของการพยากรณ์

### 5.3.5 การพยากรณ์ (Forecasting)

สำหรับขั้นตอนนี้เป็นการหาตัวแทนของตัวแบบโครงข่ายไปรัฐประดิษฐ์ (ANNs) โดยพิจารณาจากค่าร้อยละสัมบูรณ์ความคลาดเคลื่อนเฉลี่ย (Mean Absolute Percentage Error : MAPE) ของการพยากรณ์ไปข้างหน้า 10 วัน

#### 5.3.5.1 ผลการพยากรณ์ของตัวแบบ A<sub>1</sub>

ผลการพยากรณ์ไปข้างหน้าในระยะสั้น ๆ เป็นจำนวนทั้งสิ้น 10 วัน ของตัวแบบ A<sub>1</sub> ซึ่งสร้างชุดการเรียนรู้โดยใช้ข้อมูลนำเข้า (Input) หนึ่งและสองวันย้อนหลัง พ布ว่าตัวแบบย่อย A<sub>1-9</sub> ซึ่งมีจำนวนนิวรอน (Neuron) ในชั้นช่องเรียน (Hidden Layer) เท่ากับ 9 นิวรอน มีประสิทธิภาพมากที่สุดสำหรับการพยากรณ์ กล่าวคือเป็นตัวแบบที่ให้ค่าร้อยละสัมบูรณ์ความคลาดเคลื่อนเฉลี่ย (Mean Absolute Percentage Error : MAPE) น้อยที่สุดเมื่อเทียบกับตัวแบบย่อยอื่น ๆ โดยมีค่าเท่ากับ 2.167 ดังตารางที่ 5-39

ตารางที่ 5-39 ผลการพยากรณ์ราคาห้ามันคิบคูใบของตัวแบบ A<sub>1</sub>

| ตัวแบบ            | วันที่ 1 | วันที่ 2 | วันที่ 3 | วันที่ 4 | วันที่ 5 | วันที่ 6 | วันที่ 7 | วันที่ 8 | วันที่ 9 | วันที่ 10 | MAPE  |
|-------------------|----------|----------|----------|----------|----------|----------|----------|----------|----------|-----------|-------|
| A <sub>1-1</sub>  | 78.514   | 78.501   | 78.487   | 78.473   | 78.459   | 78.445   | 78.431   | 78.417   | 78.403   | 78.389    | 2.951 |
| A <sub>1-2</sub>  | 78.567   | 78.584   | 78.602   | 78.620   | 78.638   | 78.656   | 78.674   | 78.691   | 78.709   | 78.727    | 2.710 |
| A <sub>1-3</sub>  | 78.564   | 78.576   | 78.587   | 78.598   | 78.609   | 78.620   | 78.632   | 78.643   | 78.654   | 78.665    | 2.750 |
| A <sub>1-4</sub>  | 78.571   | 78.585   | 78.598   | 78.612   | 78.626   | 78.639   | 78.653   | 78.666   | 78.680   | 78.694    | 2.728 |
| A <sub>1-5</sub>  | 78.594   | 78.642   | 78.690   | 78.739   | 78.788   | 78.837   | 78.887   | 78.937   | 78.987   | 79.038    | 2.504 |
| A <sub>1-6</sub>  | 78.547   | 78.538   | 78.529   | 78.520   | 78.511   | 78.502   | 78.493   | 78.484   | 78.476   | 78.467    | 2.884 |
| A <sub>1-7</sub>  | 78.473   | 78.409   | 78.345   | 78.281   | 78.218   | 78.156   | 78.094   | 78.034   | 77.974   | 77.916    | 3.275 |
| A <sub>1-8</sub>  | 78.530   | 78.500   | 78.470   | 78.440   | 78.411   | 78.383   | 78.356   | 78.329   | 78.302   | 78.276    | 3.016 |
| A <sub>1-9</sub>  | 78.612   | 78.701   | 78.794   | 78.893   | 79.000   | 79.113   | 79.235   | 79.365   | 79.504   | 79.652    | 2.167 |
| A <sub>1-10</sub> | 78.525   | 78.499   | 78.472   | 78.446   | 78.419   | 78.393   | 78.367   | 78.341   | 78.315   | 78.289    | 3.007 |
| A <sub>1-11</sub> | 78.488   | 78.469   | 78.452   | 78.436   | 78.420   | 78.404   | 78.388   | 78.372   | 78.356   | 78.340    | 3.000 |
| A <sub>1-12</sub> | 78.499   | 78.456   | 78.413   | 78.371   | 78.330   | 78.289   | 78.249   | 78.210   | 78.172   | 78.134    | 3.124 |
| A <sub>1-13</sub> | 78.539   | 78.527   | 78.513   | 78.499   | 78.484   | 78.468   | 78.451   | 78.434   | 78.415   | 78.396    | 2.926 |

|                   |        |        |        |        |        |        |        |        |        |        |       |
|-------------------|--------|--------|--------|--------|--------|--------|--------|--------|--------|--------|-------|
| A <sub>1-14</sub> | 78.488 | 78.467 | 78.441 | 78.414 | 78.387 | 78.359 | 78.331 | 78.302 | 78.273 | 78.242 | 3.052 |
| A <sub>1-15</sub> | 78.557 | 78.557 | 78.550 | 78.550 | 78.544 | 78.544 | 78.538 | 78.539 | 78.534 | 78.535 | 2.836 |
| A <sub>1-16</sub> | 78.507 | 78.489 | 78.468 | 78.448 | 78.429 | 78.410 | 78.391 | 78.373 | 78.355 | 78.339 | 2.989 |
| A <sub>1-17</sub> | 78.482 | 78.487 | 78.474 | 78.465 | 78.456 | 78.446 | 78.437 | 78.427 | 78.417 | 78.407 | 2.954 |
| A <sub>1-18</sub> | 78.461 | 78.453 | 78.425 | 78.430 | 78.420 | 78.439 | 78.445 | 78.475 | 78.496 | 78.531 | 2.945 |
| A <sub>1-19</sub> | 78.440 | 78.414 | 78.359 | 78.330 | 78.276 | 78.246 | 78.196 | 78.166 | 78.118 | 78.089 | 3.184 |
| A <sub>1-20</sub> | 78.427 | 78.375 | 78.368 | 78.303 | 78.310 | 78.248 | 78.263 | 78.204 | 78.224 | 78.168 | 3.153 |
| A <sub>1-21</sub> | 78.327 | 78.342 | 78.297 | 78.282 | 78.255 | 78.233 | 78.210 | 78.189 | 78.168 | 78.148 | 3.207 |
| A <sub>1-22</sub> | 78.226 | 78.193 | 78.103 | 77.989 | 77.925 | 77.857 | 77.791 | 77.703 | 77.548 | 77.444 | 3.660 |
| A <sub>1-23</sub> | 78.398 | 78.482 | 78.513 | 78.567 | 78.614 | 78.666 | 78.717 | 78.769 | 78.823 | 78.877 | 2.716 |
| ค่าจริง           | 79.532 | 80.520 | 80.520 | 80.520 | 81.323 | 82.878 | 81.333 | 80.520 | 80.657 | 80.657 |       |

ที่มา : คำนวณได้จากโปรแกรม MATLAB 7.0.1

หมายเหตุ : ค่า MAPE คำนวณได้จากการทดสอบพยากรณ์ไปข้างหน้า 10 วัน

### 5.3.5.2 ผลการพยากรณ์ของตัวแบบ A<sub>2</sub>

ผลการพยากรณ์ไปข้างหน้าในระยะสั้น ๆ เป็นจำนวนทั้งสิ้น 10 วัน ของตัวแบบ A<sub>2</sub> ซึ่งสร้างชุดการเรียนรู้โดยใช้ข้อมูลนำเข้า (Input) สองและสามวันข้อนหลัง พบร่วมตัวแบบย่ออย่าง A<sub>2-11</sub> ซึ่งมีจำนวนนิวรอน (Neuron) ในชั้นซ่อนเร้น (Hidden Layer) เท่ากับ 12 นิวรอน มีประสิทธิภาพมากที่สุดสำหรับการพยากรณ์ กล่าวคือเป็นตัวแบบที่ให้ค่า誤ละเมี้ยนบูรณาความคลาดเคลื่อนเฉลี่ย (Mean Absolute Percentage Error : MAPE) น้อยที่สุดเมื่อเทียบกับตัวแบบย่ออย่างอื่น ๆ โดยมีค่าเท่ากับ 2.489 ดังตารางที่ 5-40

ตารางที่ 5-40 ผลการพยากรณ์ราคาห้ามเดินดูไปของตัวแบบ A<sub>2</sub>

| ตัวแบบ            | วันที่ 1 | วันที่ 2 | วันที่ 3 | วันที่ 4 | วันที่ 5 | วันที่ 6 | วันที่ 7 | วันที่ 8 | วันที่ 9 | วันที่ 10 | MAPE  |
|-------------------|----------|----------|----------|----------|----------|----------|----------|----------|----------|-----------|-------|
| A <sub>2-1</sub>  | 77.650   | 78.489   | 77.622   | 78.438   | 77.593   | 78.389   | 77.565   | 78.340   | 77.536   | 78.294    | 3.522 |
| A <sub>2-2</sub>  | 77.699   | 78.541   | 77.758   | 78.540   | 77.814   | 78.541   | 77.869   | 78.544   | 77.921   | 78.549    | 3.292 |
| A <sub>2-3</sub>  | 77.716   | 78.559   | 77.791   | 78.576   | 77.864   | 78.594   | 77.935   | 78.614   | 78.004   | 78.636    | 3.229 |
| A <sub>2-4</sub>  | 77.678   | 78.532   | 77.713   | 78.520   | 77.747   | 78.510   | 77.778   | 78.501   | 77.809   | 78.493    | 3.353 |
| A <sub>2-5</sub>  | 77.711   | 78.563   | 77.776   | 78.583   | 77.840   | 78.605   | 77.901   | 78.627   | 77.961   | 78.651    | 3.237 |
| A <sub>2-6</sub>  | 77.678   | 78.527   | 77.713   | 78.511   | 77.746   | 78.498   | 77.777   | 78.487   | 77.806   | 78.477    | 3.361 |
| A <sub>2-7</sub>  | 77.657   | 78.505   | 77.671   | 78.468   | 77.684   | 78.433   | 77.695   | 78.399   | 77.705   | 78.367    | 3.439 |
| A <sub>2-8</sub>  | 77.654   | 78.510   | 77.661   | 78.477   | 77.666   | 78.446   | 77.669   | 78.416   | 77.672   | 78.388    | 3.443 |
| A <sub>2-9</sub>  | 77.598   | 78.420   | 77.554   | 78.303   | 77.510   | 78.193   | 77.465   | 78.090   | 77.420   | 77.993    | 3.691 |
| A <sub>2-10</sub> | 77.715   | 78.600   | 77.726   | 78.658   | 77.738   | 78.713   | 77.752   | 78.765   | 77.766   | 78.815    | 3.234 |
| A <sub>2-11</sub> | 77.930   | 78.630   | 78.278   | 78.886   | 78.520   | 79.135   | 78.850   | 79.355   | 79.153   | 79.537    | 2.489 |
| A <sub>2-12</sub> | 77.583   | 78.417   | 77.529   | 78.295   | 77.472   | 78.178   | 77.415   | 78.068   | 77.356   | 77.963    | 3.725 |
| A <sub>2-13</sub> | 77.627   | 78.485   | 77.570   | 78.445   | 77.518   | 78.410   | 77.450   | 78.380   | 77.387   | 78.329    | 3.561 |

|                   |        |        |        |        |        |        |        |        |        |        |       |
|-------------------|--------|--------|--------|--------|--------|--------|--------|--------|--------|--------|-------|
| A <sub>2-14</sub> | 77.538 | 78.377 | 77.421 | 78.213 | 77.296 | 78.057 | 77.169 | 77.908 | 77.040 | 77.765 | 3.909 |
| A <sub>2-15</sub> | 77.681 | 78.551 | 77.713 | 78.562 | 77.747 | 78.578 | 77.780 | 78.598 | 77.814 | 78.623 | 3.308 |
| A <sub>2-16</sub> | 77.601 | 78.472 | 77.550 | 78.421 | 77.500 | 78.372 | 77.451 | 78.321 | 77.405 | 78.269 | 3.590 |
| A <sub>2-17</sub> | 77.596 | 78.519 | 77.461 | 78.507 | 77.319 | 78.487 | 77.165 | 78.459 | 76.960 | 78.413 | 3.649 |
| A <sub>2-18</sub> | 77.655 | 78.439 | 77.672 | 78.344 | 77.675 | 78.260 | 77.666 | 78.185 | 77.647 | 78.117 | 3.553 |
| A <sub>2-19</sub> | 77.546 | 78.517 | 77.398 | 78.430 | 77.213 | 78.329 | 77.010 | 78.219 | 76.896 | 78.101 | 3.801 |
| A <sub>2-20</sub> | 77.687 | 78.407 | 77.647 | 78.281 | 77.586 | 78.184 | 77.543 | 78.152 | 77.448 | 78.142 | 3.625 |
| A <sub>2-21</sub> | 77.494 | 78.292 | 77.399 | 78.135 | 77.327 | 78.045 | 77.130 | 77.923 | 76.950 | 77.889 | 3.934 |
| A <sub>2-22</sub> | 77.580 | 78.386 | 77.593 | 78.283 | 77.566 | 78.169 | 77.467 | 78.045 | 77.382 | 77.925 | 3.709 |
| A <sub>2-23</sub> | 77.612 | 78.267 | 77.505 | 78.142 | 77.272 | 78.017 | 77.153 | 77.825 | 77.025 | 77.686 | 3.943 |
| ค่าจริง           | 79.532 | 80.520 | 80.520 | 80.520 | 81.323 | 82.878 | 81.333 | 80.520 | 80.657 | 80.657 |       |

ที่มา : คำนวณได้จากโปรแกรม MATLAB 7.0.1

หมายเหตุ : ค่า MAPE คำนวณได้จากการทดสอบพยากรณ์ไปข้างหน้า 10 วัน

### 5.3.5.3 ผลการพยากรณ์ของตัวแบบ A<sub>3</sub>

ผลการพยากรณ์ไปข้างหน้าในระยะสั้น ๆ เป็นจำนวนทั้งสิ้น 10 วัน ของตัวแบบ A<sub>3</sub> ซึ่งสร้างชุดการเรียนรู้โดยใช้ข้อมูลนำเข้า (Input) หนึ่ง สองและสามวันย้อนหลัง พ布ว่าตัวแบบย่อ A<sub>3-9</sub> ซึ่งมีจำนวนนิวรอน (Neuron) ในชั้นซ่อนเร้น (Hidden Layer) เท่ากับ 9 นิวรอน มีประสิทธิภาพมากที่สุดสำหรับการพยากรณ์ กล่าวคือเป็นตัวแบบที่ให้ค่า誤ละเมิดสัมบูรณ์ความคลาดเคลื่อนเฉลี่ย (Mean Absolute Percentage Error : MAPE) น้อยที่สุดเมื่อเทียบกับตัวแบบย่ออื่น ๆ โดยมีค่าเท่ากับ 1.176 ดังตารางที่ 5-41

ตารางที่ 5-41 ผลการพยากรณ์ราคาห้ามันดินดูไปของตัวแบบ A<sub>3</sub>

| ตัวแบบ            | วันที่ 1 | วันที่ 2 | วันที่ 3 | วันที่ 4 | วันที่ 5 | วันที่ 6 | วันที่ 7 | วันที่ 8 | วันที่ 9 | วันที่ 10 | MAPE  |
|-------------------|----------|----------|----------|----------|----------|----------|----------|----------|----------|-----------|-------|
| A <sub>3-1</sub>  | 78.608   | 78.598   | 78.619   | 78.643   | 78.665   | 78.687   | 78.709   | 78.732   | 78.754   | 78.777    | 2.670 |
| A <sub>3-2</sub>  | 78.582   | 78.564   | 78.579   | 78.596   | 78.612   | 78.628   | 78.644   | 78.660   | 78.676   | 78.692    | 2.740 |
| A <sub>3-3</sub>  | 78.574   | 78.538   | 78.536   | 78.538   | 78.538   | 78.537   | 78.537   | 78.537   | 78.536   | 78.536    | 2.842 |
| A <sub>3-4</sub>  | 78.597   | 78.586   | 78.609   | 78.635   | 78.660   | 78.685   | 78.710   | 78.735   | 78.760   | 78.785    | 2.674 |
| A <sub>3-5</sub>  | 78.573   | 78.545   | 78.547   | 78.552   | 78.556   | 78.560   | 78.564   | 78.567   | 78.572   | 78.576    | 2.816 |
| A <sub>3-6</sub>  | 78.320   | 78.193   | 78.159   | 78.147   | 78.143   | 78.143   | 78.146   | 78.150   | 78.155   | 78.159    | 3.298 |
| A <sub>3-7</sub>  | 78.610   | 78.621   | 78.656   | 78.687   | 78.718   | 78.748   | 78.779   | 78.810   | 78.841   | 78.872    | 2.603 |
| A <sub>3-8</sub>  | 78.529   | 78.473   | 78.428   | 78.385   | 78.342   | 78.299   | 78.256   | 78.214   | 78.172   | 78.130    | 3.111 |
| A <sub>3-9</sub>  | 78.796   | 79.048   | 79.531   | 79.795   | 79.889   | 80.277   | 80.443   | 80.565   | 80.914   | 81.062    | 1.176 |
| A <sub>3-10</sub> | 78.829   | 79.082   | 79.372   | 79.676   | 79.983   | 80.291   | 80.594   | 80.887   | 81.166   | 81.425    | 1.286 |
| A <sub>3-11</sub> | 78.590   | 78.596   | 78.614   | 78.634   | 78.655   | 78.676   | 78.697   | 78.718   | 78.740   | 78.762    | 2.684 |
| A <sub>3-12</sub> | 78.523   | 78.472   | 78.412   | 78.353   | 78.294   | 78.235   | 78.175   | 78.114   | 78.053   | 77.991    | 3.185 |
| A <sub>3-13</sub> | 78.554   | 78.542   | 78.537   | 78.535   | 78.532   | 78.529   | 78.526   | 78.523   | 78.520   | 78.518    | 2.853 |

|                   |        |        |        |        |        |        |        |        |        |        |       |
|-------------------|--------|--------|--------|--------|--------|--------|--------|--------|--------|--------|-------|
| A <sub>3-14</sub> | 78.572 | 78.531 | 78.516 | 78.505 | 78.493 | 78.481 | 78.468 | 78.456 | 78.444 | 78.432 | 2.904 |
| A <sub>3-15</sub> | 78.603 | 78.567 | 78.526 | 78.490 | 78.455 | 78.420 | 78.385 | 78.350 | 78.316 | 78.283 | 2.966 |
| A <sub>3-16</sub> | 78.583 | 78.529 | 78.497 | 78.467 | 78.440 | 78.412 | 78.385 | 78.358 | 78.331 | 78.305 | 2.977 |
| A <sub>3-17</sub> | 78.534 | 78.454 | 78.410 | 78.367 | 78.324 | 78.282 | 78.242 | 78.201 | 78.161 | 78.121 | 3.127 |
| A <sub>3-18</sub> | 78.460 | 78.490 | 78.465 | 78.429 | 78.398 | 78.366 | 78.331 | 78.296 | 78.260 | 78.223 | 3.051 |
| A <sub>3-19</sub> | 78.559 | 78.621 | 78.557 | 78.516 | 78.454 | 78.395 | 78.339 | 78.285 | 78.233 | 78.182 | 2.998 |
| A <sub>3-20</sub> | 78.672 | 78.836 | 78.904 | 78.971 | 79.033 | 79.082 | 79.120 | 79.153 | 79.179 | 79.197 | 2.256 |
| A <sub>3-21</sub> | 78.471 | 78.479 | 78.413 | 78.384 | 78.333 | 78.302 | 78.252 | 78.220 | 78.171 | 78.137 | 3.119 |
| A <sub>3-22</sub> | 78.620 | 78.644 | 78.687 | 78.732 | 78.774 | 78.816 | 78.858 | 78.901 | 78.944 | 78.987 | 2.526 |
| A <sub>3-23</sub> | 78.490 | 78.458 | 78.373 | 78.297 | 78.233 | 78.150 | 78.053 | 77.978 | 77.900 | 77.811 | 3.294 |
| ค่าจริง           | 79.532 | 80.520 | 80.520 | 80.520 | 81.323 | 82.878 | 81.333 | 80.520 | 80.657 | 80.657 |       |

ที่มา : คำนวณได้จากโปรแกรม MATLAB 7.0.1

หมายเหตุ : ค่า MAPE คำนวณได้จากการทดสอบพยากรณ์ไปข้างหน้า 10 วัน

### 5.3.5.4 ผลการพยากรณ์ของตัวแบบ A<sub>4</sub>

ผลการพยากรณ์ไปข้างหน้าในระยะสั้น ๆ เป็นจำนวนทั้งสิ้น 10 วัน ของตัวแบบ A<sub>4</sub> ซึ่งสร้างชุดการเรียนรู้โดยใช้ข้อมูลนำเข้า (Input) สอง สามและสี่วันข้อนหลัง พบว่าตัวแบบย่อย A<sub>4-8</sub> ซึ่งมีจำนวนนิวรอน (Neuron) ในชั้นซ่อนเร้น (Hidden Layer) เท่ากับ 8 นิวรอน มีประสิทธิภาพมากที่สุดสำหรับการพยากรณ์ กล่าวคือเป็นตัวแบบที่ให้ค่าร้อยละสัมบูรณ์ความคลาดเคลื่อนเฉลี่ย (Mean Absolute Percentage Error : MAPE) น้อยที่สุดเมื่อเทียบกับตัวแบบย่อยอื่น ๆ โดยมีค่าเท่ากับ 2.633 ดังตารางที่ 5-42

ตารางที่ 5-42 ผลการพยากรณ์ราคาน้ำมันดินถูกไปของตัวแบบ A<sub>4</sub>

| ตัวแบบ            | วันที่ 1 | วันที่ 2 | วันที่ 3 | วันที่ 4 | วันที่ 5 | วันที่ 6 | วันที่ 7 | วันที่ 8 | วันที่ 9 | วันที่ 10 | MAPE  |
|-------------------|----------|----------|----------|----------|----------|----------|----------|----------|----------|-----------|-------|
| A <sub>4-1</sub>  | 77.587   | 78.502   | 77.562   | 78.459   | 77.536   | 78.415   | 77.510   | 78.371   | 77.483   | 78.327    | 3.542 |
| A <sub>4-2</sub>  | 77.642   | 78.527   | 77.663   | 78.520   | 77.683   | 78.513   | 77.703   | 78.506   | 77.723   | 78.501    | 3.390 |
| A <sub>4-3</sub>  | 77.668   | 78.570   | 77.713   | 78.605   | 77.756   | 78.640   | 77.799   | 78.677   | 77.842   | 78.713    | 3.267 |
| A <sub>4-4</sub>  | 77.669   | 78.547   | 77.708   | 78.557   | 77.747   | 78.568   | 77.786   | 78.579   | 77.824   | 78.591    | 3.317 |
| A <sub>4-5</sub>  | 77.656   | 78.560   | 77.686   | 78.583   | 77.714   | 78.606   | 77.741   | 78.630   | 77.768   | 78.653    | 3.314 |
| A <sub>4-6</sub>  | 77.665   | 78.569   | 77.700   | 78.603   | 77.734   | 78.637   | 77.768   | 78.672   | 77.801   | 78.708    | 3.282 |
| A <sub>4-7</sub>  | 77.707   | 78.620   | 77.779   | 78.716   | 77.829   | 78.818   | 77.881   | 78.922   | 77.937   | 79.025    | 3.112 |
| A <sub>4-8</sub>  | 77.731   | 78.594   | 77.776   | 78.581   | 77.798   | 78.583   | 77.796   | 78.557   | 77.785   | 78.533    | 2.633 |
| A <sub>4-9</sub>  | 77.568   | 78.539   | 77.551   | 78.521   | 77.532   | 78.505   | 77.509   | 78.491   | 77.482   | 78.487    | 3.489 |
| A <sub>4-10</sub> | 77.625   | 78.492   | 77.596   | 78.442   | 77.567   | 78.393   | 77.538   | 78.345   | 77.508   | 78.297    | 3.536 |
| A <sub>4-11</sub> | 77.624   | 78.511   | 77.643   | 78.515   | 77.634   | 78.489   | 77.656   | 78.495   | 77.646   | 78.470    | 3.427 |
| A <sub>4-12</sub> | 77.669   | 78.552   | 77.646   | 78.497   | 77.624   | 78.441   | 77.599   | 78.389   | 77.567   | 78.394    | 3.465 |
| A <sub>4-13</sub> | 77.649   | 78.577   | 77.760   | 78.606   | 77.833   | 78.649   | 77.947   | 78.701   | 78.072   | 78.769    | 3.195 |

|                   |        |        |        |        |        |        |        |        |        |        |       |
|-------------------|--------|--------|--------|--------|--------|--------|--------|--------|--------|--------|-------|
| A <sub>4-14</sub> | 77.592 | 78.493 | 77.564 | 78.449 | 77.532 | 78.406 | 77.500 | 78.364 | 77.468 | 78.322 | 3.788 |
| A <sub>4-15</sub> | 77.501 | 78.351 | 77.514 | 78.350 | 77.586 | 78.404 | 77.653 | 78.461 | 77.712 | 78.523 | 3.505 |
| A <sub>4-16</sub> | 77.637 | 78.542 | 77.616 | 78.591 | 77.605 | 78.613 | 77.595 | 78.655 | 77.591 | 78.679 | 3.373 |
| A <sub>4-17</sub> | 77.659 | 78.494 | 77.545 | 78.418 | 77.433 | 78.346 | 77.371 | 78.275 | 77.308 | 78.205 | 3.628 |
| A <sub>4-18</sub> | 77.627 | 78.510 | 77.588 | 78.449 | 77.551 | 78.397 | 77.513 | 78.352 | 77.476 | 78.310 | 3.539 |
| A <sub>4-19</sub> | 77.478 | 78.498 | 77.243 | 78.490 | 77.257 | 78.560 | 77.317 | 78.526 | 77.485 | 78.533 | 3.588 |
| A <sub>4-20</sub> | 77.400 | 78.496 | 77.398 | 78.514 | 77.270 | 78.537 | 77.082 | 78.425 | 76.985 | 78.333 | 3.705 |
| A <sub>4-21</sub> | 77.643 | 78.432 | 77.537 | 78.302 | 77.416 | 78.198 | 77.302 | 78.060 | 77.212 | 77.926 | 3.755 |
| A <sub>4-22</sub> | 77.579 | 78.471 | 77.490 | 78.330 | 77.407 | 78.201 | 77.305 | 78.101 | 77.170 | 78.010 | 3.751 |
| A <sub>4-23</sub> | 77.590 | 78.458 | 77.615 | 78.418 | 77.557 | 78.410 | 77.495 | 78.392 | 77.444 | 78.368 | 3.543 |
| ค่าจริง           | 79.532 | 80.520 | 80.520 | 80.520 | 81.323 | 82.878 | 81.333 | 80.520 | 80.657 | 80.657 |       |

ที่มา : คำนวณได้จากโปรแกรม MATLAB 7.0.1

หมายเหตุ : ค่า MAPE คำนวณได้จากการทดสอบพยากรณ์ไปข้างหน้า 10 วัน

### 5.3.5.5 สรุปผลการพยากรณ์ของตัวแบบโครงข่ายไปร่วมกับโครงข่ายไปร่วมแบบประดิษฐ์

จากการพยากรณ์ไปข้างหน้าในระดับสั้น ๆ เป็นจำนวน 10 วัน ของตัวแบบโครงข่ายไปร่วมแบบประดิษฐ์ (ANNs Model) ทั้ง 4 ตัวแบบอันได้แก่ ตัวแบบ A<sub>1</sub> ตัวแบบ A<sub>2</sub> ตัวแบบ A<sub>3</sub> และตัวแบบ A<sub>4</sub> พบร่วมกันว่าตัวแบบที่มีประสิทธิภาพในการพยากรณ์คือตัวแบบย่ออย่าง A<sub>3-9</sub> โดยให้ค่าร้อยละสัมบูรณ์ความคลาดเคลื่อนเฉลี่ย (Mean Absolute Percentage Error : MAPE) น้อยที่สุดคือ 1.1759 ดังตารางที่ 5-43

ตารางที่ 5-43 สรุปผลการพยากรณ์ของตัวแบบโครงข่ายไปร่วมแบบประดิษฐ์

| อันดับที่ | ตัวแบบโครงข่ายไปร่วมแบบประดิษฐ์ |                          | MAPE  |
|-----------|---------------------------------|--------------------------|-------|
| 1         |                                 | ตัวแบบ A <sub>3-9</sub>  | 1.176 |
| 2         |                                 | ตัวแบบ A <sub>1-9</sub>  | 2.167 |
| 3         |                                 | ตัวแบบ A <sub>2-11</sub> | 2.489 |
| 4         |                                 | ตัวแบบ A <sub>4-8</sub>  | 2.633 |

ที่มา : คำนวณได้จากโปรแกรม MATLAB 7.0.1

หมายเหตุ : ค่า MAPE คำนวณได้จากการทดสอบพยากรณ์ไปข้างหน้า 10 วัน

สำหรับตัวแบบ A<sub>3-9</sub> นั้น สร้างชุดการเรียนรู้ (Learning Set) จากข้อมูลนำเข้า (Input) หนึ่ง สองและสามวันข้อนหลัง โดยมีจำนวนนิวรอน (Neuron) ในชั้นซ่อนเร้น (Hidden

Layer) เท่ากับ 9 นิวรอน ซึ่งตัวแบบดังกล่าวถือเป็นตัวแทนของตัวแบบโครงข่ายไบปรัศท์ประดิษฐ์ (ANNs Model) สำหรับนำໄไปเปรียบเทียบความแม่นยำของการพยากรณ์ราคาน้ำมันดิบดูใน กับตัวแบบประเภทอื่น ๆ ในลำดับขั้นต่อไป

#### 5.4 การเปรียบเทียบความแม่นยำของตัวแบบแต่ละประเภท

หลังจากสร้างระบบพยากรณ์ของตัวแบบแต่ละประเภทพบว่า ตัวแทนของตัวแบบบีโอกซ์และเจนคินส์ (Box&Jenkins Model) คือตัวแบบ  $B_7$  ซึ่งประกอบด้วยกระบวนการอัตโนมัติอย่างอันดับที่หนึ่ง (AR(1)) กระบวนการอัตโนมัติอย่างอันดับที่สอง (AR(2)) กระบวนการเฉลี่ยเคลื่อนที่อันดับที่หนึ่ง (MA(1)) และกระบวนการเฉลี่ยเคลื่อนที่อันดับที่สอง (MA(2)) ขณะที่ตัวแทนของตัวแบบการชี้ (GARCH Model) คือตัวแบบ  $G_1$  ที่สมการค่าเฉลี่ย (Mean Equation) ประกอบด้วยกระบวนการอัตโนมัติอย่างอันดับที่สอง (AR(2)) กระบวนการอัตโนมัติอย่างอันดับที่สาม (AR(3)) และกระบวนการเฉลี่ยเคลื่อนที่อันดับที่สาม (MA(3)) รวมทั้งมีสมการความแปรปรวน (Variance Equation) ที่ประกอบด้วยพจน์คงที่ (Constant Term) กระบวนการอาร์ชอันดับที่หนึ่ง (ARCH(1)) กระบวนการการอาร์ชอันดับที่หนึ่ง (GARCH(1)) และกระบวนการการอาร์ชอันดับที่สอง (GARCH(2)) โดยที่ตัวแทนของตัวแบบโครงข่ายไบปรัศท์ประดิษฐ์ (ANNs Model) คือ ตัวแบบ  $A_{3,9}$  ซึ่งสร้างชุดการเรียนรู้โดยใช้ข้อมูลย้อนหลังหนึ่ง สองและสามวันข้างหน้าเป็นข้อมูลนำเข้า (Input) โดยมีจำนวนนิวรอน (Neuron) ในชั้นซ่อนเร้น (Hidden Layer) เท่ากับ 9 นิวรอน ซึ่งรายละเอียดของตัวแบบประเภทต่าง ๆ แสดงดังตารางที่ 5-44

ตารางที่ 5-44 รายละเอียดตัวแทนของตัวแบบประเภทต่าง ๆ

| ตัวแบบ                                                                                               | โครงสร้าง                                                                       |
|------------------------------------------------------------------------------------------------------|---------------------------------------------------------------------------------|
|  ตัวแบบ $B_7$     | ความล่าช้า : AR(1) AR(2) MA(1) MA(2)                                            |
|  ตัวแบบ $G_1$     | สมการค่าเฉลี่ย : AR(2) AR(3) MA(3)<br>สมการความแปรปรวน : GARCH (1,2)            |
|  ตัวแบบ $A_{3,9}$ | ชุดการเรียนรู้ : หนึ่ง สอง และสามวันข้างหน้า<br>นิวรอนในชั้นซ่อนเร้น : 9 นิวรอน |

สำหรับการเปรียบเทียบความแม่นยำในการพยากรณ์ของตัวแบบประเภทต่างๆ จะแบ่งออกเป็น 3 ระยะดังนี้

#### 5.4.1 การเปรียบเทียบความแม่นยำในการพยากรณ์ไปข้างหน้า 15 วัน

ขั้นตอนนี้เป็นการพิจารณาประสิทธิภาพสำหรับการพยากรณ์ของตัวแบบทั้งสามในระยะ 15 วัน โดยจะใช้การพยากรณ์ไปข้างหน้าเพื่อเปรียบเทียบ (Ex-Post Forecasting) และวัดค่านิยมค่าร้อยละสัมบูรณ์ความคลาดเคลื่อนเฉลี่ย (Mean Absolute Percentage Error : MAPE)

ซึ่งการจะสรุปว่าตัวแบบที่มีประสิทธิภาพมากที่สุดนั้น จะพิจารณาว่าตัวแบบประเภทใดที่ให้ค่าร้อยละสัมบูรณ์ความคลาดเคลื่อนเฉลี่ย (Mean Absolute Percentage Error : MAPE) น้อยที่สุด ดังนั้นจากตารางที่ 5-45 จึงสามารถสรุปได้ว่าตัวแบบโครงข่ายไประสาทประดิษฐ์ (ANNs Model) เป็นตัวแบบที่มีความแม่นยำมากที่สุดสำหรับการพยากรณ์ราคาน้ำมันดิบดูไบ ในระยะ 15 วัน รองลงมาคือตัวแบบบ็อกซ์และเจนกินส์ (Box&Jenkins Model) และตัวแบบที่มีความแม่นยำน้อยที่สุดคือ ตัวแบบการช (GARCH Model) โดยตัวแบบแต่ละประเภทสามารถคำนวณค่าร้อยละสัมบูรณ์ความคลาดเคลื่อนเฉลี่ย (Mean Absolute Percentage Error : MAPE) ได้ดังนี้คือ 1.121 3.269 และ 3.275 ตามลำดับ

ตารางที่ 5-45 การเปรียบเทียบความแม่นยำในการพยากรณ์ไปข้างหน้าระยะ 15 วัน

| วันที่    |  ตัวแบบ B <sub>7</sub> |  ตัวแบบ G <sub>1</sub> |  ตัวแบบ A <sub>3-9</sub> | ค่าจริง |
|-----------|-----------------------------------------------------------------------------------------------------------|-----------------------------------------------------------------------------------------------------------|--------------------------------------------------------------------------------------------------------------|---------|
| วันที่ 1  | 78.617                                                                                                    | 78.578                                                                                                    | 78.796                                                                                                       | 79.532  |
| วันที่ 2  | 78.576                                                                                                    | 78.548                                                                                                    | 79.048                                                                                                       | 80.520  |
| วันที่ 3  | 78.555                                                                                                    | 78.593                                                                                                    | 79.531                                                                                                       | 80.520  |
| วันที่ 4  | 78.602                                                                                                    | 78.577                                                                                                    | 79.795                                                                                                       | 80.520  |
| วันที่ 5  | 78.580                                                                                                    | 78.591                                                                                                    | 79.889                                                                                                       | 81.323  |
| วันที่ 6  | 78.563                                                                                                    | 78.568                                                                                                    | 80.277                                                                                                       | 82.878  |
| วันที่ 7  | 78.593                                                                                                    | 78.576                                                                                                    | 80.443                                                                                                       | 81.333  |
| วันที่ 8  | 78.582                                                                                                    | 78.569                                                                                                    | 80.565                                                                                                       | 80.520  |
| วันที่ 9  | 78.568                                                                                                    | 78.581                                                                                                    | 80.914                                                                                                       | 80.657  |
| วันที่ 10 | 78.588                                                                                                    | 78.577                                                                                                    | 81.062                                                                                                       | 80.657  |
| วันที่ 11 | 78.582                                                                                                    | 78.580                                                                                                    | 81.147                                                                                                       | 80.657  |
| วันที่ 12 | 78.572                                                                                                    | 78.574                                                                                                    | 81.327                                                                                                       | 82.034  |
| วันที่ 13 | 78.584                                                                                                    | 78.576                                                                                                    | 81.384                                                                                                       | 81.310  |
| วันที่ 14 | 78.582                                                                                                    | 78.575                                                                                                    | 81.705                                                                                                       | 82.619  |
| วันที่ 15 | 78.575                                                                                                    | 78.578                                                                                                    | 81.682                                                                                                       | 83.681  |
| MAPE      | 3.268872                                                                                                  | 3.275316                                                                                                  | 1.121091                                                                                                     |         |

หมายเหตุ : ค่า MAPE คำนวณได้จากการพยากรณ์ไปข้างหน้า 15 วัน

#### 5.4.2 การเปรียบเทียบความแม่นยำในการพยากรณ์ไปข้างหน้า 30 วัน

ขั้นตอนนี้ เป็นการพิจารณาประสิทธิภาพสำหรับการพยากรณ์ของตัวแบบทั่วสามในระยะ 30 วัน โดยจะใช้การพยากรณ์ไปข้างหน้าเพื่อเปรียบเทียบ (Ex-Post Forecasting) และวัด คำนวณค่าร้อยละสัมบูรณ์ความคลาดเคลื่อนเฉลี่ย (Mean Absolute Percentage Error : MAPE)

ช่วงการจะสรุปว่าตัวแบบที่มีประสิทธิภาพมากที่สุดนั้น จะพิจารณาว่าตัวแบบประเภทใด ที่ให้ค่าร้อยละสัมบูรณ์ความคลาดเคลื่อนเฉลี่ย (Mean Absolute Percentage Error : MAPE) น้อยที่สุด ดังนั้นจากตารางที่ 5-46 จึงสามารถสรุปได้ว่าตัวแบบโครงข่ายประสาทประดิษฐ์ (ANNs Model) เป็นตัวแบบที่มีความแม่นยำมากที่สุดสำหรับการพยากรณ์ราคาน้ำมันดิบดูไบ ในระยะ 30 วัน รองลงมาคือตัวแบบบ็อกซ์แอนด์เจนกินส์ (Box&Jenkins Model) และตัวแบบที่มีความแม่นยำ น้อยที่สุดคือ ตัวแบบการร์ช (GARCH Model) โดยตัวแบบแต่ละประเภทสามารถคำนวณค่าร้อยละสัมบูรณ์ความคลาดเคลื่อนเฉลี่ย (Mean Absolute Percentage Error : MAPE) ได้ดังนี้คือ 1.593 4.326 และ 4.331 ตามลำดับ

ตารางที่ 5-46 การเปรียบเทียบความแม่นยำในการพยากรณ์ไปข้างหน้าระยะ 30 วัน

| วันที่    |  ตัวแบบ B <sub>7</sub> |  ตัวแบบ G <sub>1</sub> |  ตัวแบบ A <sub>3-9</sub> | ค่าจริง |
|-----------|-----------------------------------------------------------------------------------------------------------|-----------------------------------------------------------------------------------------------------------|--------------------------------------------------------------------------------------------------------------|---------|
| วันที่ 1  | 78.617                                                                                                    | 78.578                                                                                                    | 78.796                                                                                                       | 79.532  |
| วันที่ 2  | 78.576                                                                                                    | 78.548                                                                                                    | 79.048                                                                                                       | 80.520  |
| วันที่ 3  | 78.555                                                                                                    | 78.593                                                                                                    | 79.531                                                                                                       | 80.520  |
| วันที่ 4  | 78.602                                                                                                    | 78.577                                                                                                    | 79.795                                                                                                       | 80.520  |
| วันที่ 5  | 78.580                                                                                                    | 78.591                                                                                                    | 79.889                                                                                                       | 81.323  |
| วันที่ 6  | 78.563                                                                                                    | 78.568                                                                                                    | 80.277                                                                                                       | 82.878  |
| วันที่ 7  | 78.593                                                                                                    | 78.576                                                                                                    | 80.443                                                                                                       | 81.333  |
| วันที่ 8  | 78.582                                                                                                    | 78.569                                                                                                    | 80.565                                                                                                       | 80.520  |
| วันที่ 9  | 78.568                                                                                                    | 78.581                                                                                                    | 80.914                                                                                                       | 80.657  |
| วันที่ 10 | 78.588                                                                                                    | 78.577                                                                                                    | 81.062                                                                                                       | 80.657  |
| วันที่ 11 | 78.582                                                                                                    | 78.580                                                                                                    | 81.147                                                                                                       | 80.657  |
| วันที่ 12 | 78.572                                                                                                    | 78.574                                                                                                    | 81.327                                                                                                       | 82.034  |
| วันที่ 13 | 78.584                                                                                                    | 78.576                                                                                                    | 81.384                                                                                                       | 81.310  |
| วันที่ 14 | 78.582                                                                                                    | 78.575                                                                                                    | 81.705                                                                                                       | 82.619  |
| วันที่ 15 | 78.575                                                                                                    | 78.578                                                                                                    | 81.682                                                                                                       | 83.681  |
| วันที่ 16 | 78.582                                                                                                    | 78.577                                                                                                    | 81.732                                                                                                       | 82.645  |
| วันที่ 17 | 78.581                                                                                                    | 78.577                                                                                                    | 81.672                                                                                                       | 82.645  |

|             |          |          |          |        |
|-------------|----------|----------|----------|--------|
| วันที่ 18   | 78.577   | 78.576   | 81.609   | 82.645 |
| วันที่ 19   | 78.581   | 78.576   | 81.559   | 80.969 |
| วันที่ 20   | 78.581   | 78.576   | 81.513   | 82.567 |
| วันที่ 21   | 78.578   | 78.577   | 81.469   | 82.391 |
| วันที่ 22   | 78.580   | 78.577   | 81.429   | 82.420 |
| วันที่ 23   | 78.581   | 78.577   | 81.392   | 83.892 |
| วันที่ 24   | 78.578   | 78.576   | 81.356   | 83.892 |
| วันที่ 25   | 78.580   | 78.576   | 81.323   | 83.892 |
| วันที่ 26   | 78.580   | 78.576   | 81.292   | 84.506 |
| วันที่ 27   | 78.579   | 78.577   | 81.262   | 83.405 |
| วันที่ 28   | 78.580   | 78.577   | 81.234   | 82.430 |
| วันที่ 29   | 78.580   | 78.577   | 81.207   | 83.603 |
| วันที่ 30   | 78.579   | 78.576   | 81.180   | 84.665 |
| <b>MAPE</b> | 4.325557 | 4.330784 | 1.592504 |        |

หมายเหตุ : ค่า MAPE คำนวณได้จากการพยากรณ์ไปข้างหน้า 30 วัน

#### 5.4.3 การเปรียบเทียบความแม่นยำในการพยากรณ์ไปข้างหน้า 45 วัน

ขั้นตอนนี้เป็นการพิจารณาประสิทธิภาพสำหรับการพยากรณ์ของตัวแบบทั้งสามในระยะ 45 วัน โดยจะใช้การพยากรณ์ไปข้างหน้าเพื่อเปรียบเทียบ (Ex-Post Forecasting) และวัดค่าความคลาดเคลื่อนเฉลี่ย (Mean Absolute Percentage Error : MAPE)

ตารางที่ 5-47 การเปรียบเทียบความแม่นยำในการพยากรณ์ไปข้างหน้าระยะ 45 วัน

| วันที่    |  <b>BOX &amp; JENKINS</b><br>STATISTICAL METHODS | ตัวแบบ B <sub>7</sub> |  <b>garch</b> | ตัวแบบ G <sub>1</sub> |  <b>AN NETWORKS</b><br>ARTIFICIAL - NEURAL - NETWORKS | ตัวแบบ A <sub>3-9</sub> | ค่าจริง |
|-----------|-------------------------------------------------------------------------------------------------------------------------------------|-----------------------|--------------------------------------------------------------------------------------------------|-----------------------|-------------------------------------------------------------------------------------------------------------------------------------------|-------------------------|---------|
| วันที่ 1  |                                                                                                                                     | 78.617                |                                                                                                  | 78.578                |                                                                                                                                           | 78.796                  | 79.532  |
| วันที่ 2  |                                                                                                                                     | 78.576                |                                                                                                  | 78.548                |                                                                                                                                           | 79.048                  | 80.520  |
| วันที่ 3  |                                                                                                                                     | 78.555                |                                                                                                  | 78.593                |                                                                                                                                           | 79.531                  | 80.520  |
| วันที่ 4  |                                                                                                                                     | 78.602                |                                                                                                  | 78.577                |                                                                                                                                           | 79.795                  | 80.520  |
| วันที่ 5  |                                                                                                                                     | 78.580                |                                                                                                  | 78.591                |                                                                                                                                           | 79.889                  | 81.323  |
| วันที่ 6  |                                                                                                                                     | 78.563                |                                                                                                  | 78.568                |                                                                                                                                           | 80.277                  | 82.878  |
| วันที่ 7  |                                                                                                                                     | 78.593                |                                                                                                  | 78.576                |                                                                                                                                           | 80.443                  | 81.333  |
| วันที่ 8  |                                                                                                                                     | 78.582                |                                                                                                  | 78.569                |                                                                                                                                           | 80.565                  | 80.520  |
| วันที่ 9  |                                                                                                                                     | 78.568                |                                                                                                  | 78.581                |                                                                                                                                           | 80.914                  | 80.657  |
| วันที่ 10 |                                                                                                                                     | 78.588                |                                                                                                  | 78.577                |                                                                                                                                           | 81.062                  | 80.657  |
| วันที่ 11 |                                                                                                                                     | 78.582                |                                                                                                  | 78.580                |                                                                                                                                           | 81.147                  | 80.657  |
| วันที่ 12 |                                                                                                                                     | 78.572                |                                                                                                  | 78.574                |                                                                                                                                           | 81.327                  | 82.034  |
| วันที่ 13 |                                                                                                                                     | 78.584                |                                                                                                  | 78.576                |                                                                                                                                           | 81.384                  | 81.310  |
| วันที่ 14 |                                                                                                                                     | 78.582                |                                                                                                  | 78.575                |                                                                                                                                           | 81.705                  | 82.619  |
| วันที่ 15 |                                                                                                                                     | 78.575                |                                                                                                  | 78.578                |                                                                                                                                           | 81.682                  | 83.681  |

|           |                                                                                                         |                                                                                                         |                                                                                                            |         |
|-----------|---------------------------------------------------------------------------------------------------------|---------------------------------------------------------------------------------------------------------|------------------------------------------------------------------------------------------------------------|---------|
| วันที่ 16 | 78.582                                                                                                  | 78.577                                                                                                  | 81.732                                                                                                     | 82.645  |
| วันที่ 17 | 78.581                                                                                                  | 78.577                                                                                                  | 81.672                                                                                                     | 82.645  |
| วันที่ 18 | 78.577                                                                                                  | 78.576                                                                                                  | 81.609                                                                                                     | 82.645  |
| วันที่ 19 | 78.581                                                                                                  | 78.576                                                                                                  | 81.559                                                                                                     | 80.969  |
| วันที่ 20 | 78.581                                                                                                  | 78.576                                                                                                  | 81.513                                                                                                     | 82.567  |
| วันที่ 21 | 78.578                                                                                                  | 78.577                                                                                                  | 81.469                                                                                                     | 82.391  |
| วันที่ 22 | 78.580                                                                                                  | 78.577                                                                                                  | 81.429                                                                                                     | 82.420  |
| วันที่ 23 | 78.581                                                                                                  | 78.577                                                                                                  | 81.392                                                                                                     | 83.892  |
| วันที่ 24 | 78.578                                                                                                  | 78.576                                                                                                  | 81.356                                                                                                     | 83.892  |
| วันที่ 25 | 78.580                                                                                                  | 78.576                                                                                                  | 81.323                                                                                                     | 83.892  |
| วันที่ 26 | 78.580                                                                                                  | 78.576                                                                                                  | 81.292                                                                                                     | 84.506  |
| วันที่ 27 | 78.579                                                                                                  | 78.577                                                                                                  | 81.262                                                                                                     | 83.405  |
| วันที่ 28 | 78.580                                                                                                  | 78.577                                                                                                  | 81.234                                                                                                     | 82.430  |
| วันที่ 29 | 78.580                                                                                                  | 78.577                                                                                                  | 81.207                                                                                                     | 83.603  |
| วันที่ 30 | 78.579                                                                                                  | 78.576                                                                                                  | 81.180                                                                                                     | 84.665  |
| วันที่    |  ตัวแบบ B <sub>7</sub> |  ตัวแบบ G <sub>1</sub> |  ตัวแบบ A <sub>3-9</sub> | ค่าจริง |
| วันที่ 31 | 78.580                                                                                                  | 78.576                                                                                                  | 81.155                                                                                                     | 84.665  |
| วันที่ 32 | 78.580                                                                                                  | 78.576                                                                                                  | 81.130                                                                                                     | 84.665  |
| วันที่ 33 | 78.579                                                                                                  | 78.577                                                                                                  | 81.106                                                                                                     | 85.531  |
| วันที่ 34 | 78.580                                                                                                  | 78.577                                                                                                  | 81.083                                                                                                     | 83.879  |
| วันที่ 35 | 78.580                                                                                                  | 78.577                                                                                                  | 81.061                                                                                                     | 80.853  |
| วันที่ 36 | 78.580                                                                                                  | 78.576                                                                                                  | 81.039                                                                                                     | 78.790  |
| วันที่ 37 | 78.580                                                                                                  | 78.576                                                                                                  | 81.017                                                                                                     | 75.126  |
| วันที่ 38 | 78.580                                                                                                  | 78.576                                                                                                  | 80.996                                                                                                     | 75.126  |
| วันที่ 39 | 78.580                                                                                                  | 78.577                                                                                                  | 80.975                                                                                                     | 75.126  |
| วันที่ 40 | 78.580                                                                                                  | 78.576                                                                                                  | 80.955                                                                                                     | 76.698  |
| วันที่ 41 | 78.580                                                                                                  | 78.576                                                                                                  | 80.935                                                                                                     | 77.602  |
| วันที่ 42 | 78.580                                                                                                  | 78.576                                                                                                  | 80.915                                                                                                     | 77.307  |
| วันที่ 43 | 78.580                                                                                                  | 78.576                                                                                                  | 80.896                                                                                                     | 78.005  |
| วันที่ 44 | 78.580                                                                                                  | 78.576                                                                                                  | 80.877                                                                                                     | 75.077  |
| วันที่ 45 | 78.580                                                                                                  | 78.576                                                                                                  | 80.858                                                                                                     | 75.077  |
| MAPE      | 4.241811                                                                                                | 4.244971                                                                                                | 2.773198                                                                                                   |         |

หมายเหตุ : ค่า MAPE คำนวณได้จากการพยากรณ์ไปข้างหน้า 45 วัน

ซึ่งการจะสรุปว่าตัวแบบที่มีประสิทธิภาพมากที่สุดนั้น จะพิจารณาว่าตัวแบบประเภทใดที่ให้ค่าร้อยละสัมบูรณ์ความคลาดเคลื่อนเฉลี่ย (Mean Absolute Percentage Error : MAPE) น้อยที่สุด ดังนั้นจากตารางที่ 5-47 จึงสามารถสรุปได้ว่าตัวแบบโครงข่ายไประสาทประดิษฐ์ (ANNs Model) เป็นตัวแบบที่มีความแม่นยำมากที่สุดสำหรับการพยากรณ์ราคาน้ำมันดิบดูใน ในระยะ 45

วัน รองลงมาคือตัวแบบบีอกซ์และเจนคินส์ (Box&Jenkins Model) และตัวแบบที่มีความแม่นยำ  
น้อยที่สุดคือ ตัวแบบการ์ช (GARCH Model) โดยตัวแบบแต่ละประเภทสามารถคำนวณค่าร้อยละ<sup>2</sup>  
สัมบูรณ์ความคลาดเคลื่อนเฉลี่ย (Mean Absolute Percentage Error : MAPE) ได้ดังนี้คือ 2.773  
4.242 และ 4.245 ตามลำดับ



ลิขสิทธิ์มหาวิทยาลัยเชียงใหม่  
Copyright<sup>©</sup> by Chiang Mai University  
All rights reserved